

ДВНЗ “Донецький національний технічний університет ”
Факультет Комп’ютерно-інтегрованих технологій, автоматизації,
електроінженерії та радіоелектроніки
Кафедра Електричної інженерії

«До захисту допущено»

Завідувач кафедри

к.т.н. Колларов О.Ю.

(підпис)

(ініціали, прізвище)

“ ____ ”

2020 р

ПОЯСНИОВАЛЬНА ЗАПИСКА
до дипломного проекту (роботи)

Магістр

(освітньо-кваліфікаційний рівень)

на тему « Модернізація ділянки мережі 330/110»

Виконав: студент 2 курсу, групи ЕЛКм-19
(шифр групи)

напрям підготовки (спеціальності) 141 «Електроенергетика, електротехніка
та електромеханіка»
(шифр і назва напрямку підготовки, спеціальності)

Чижиков Артем Юрійович

(прізвище та ініціали) (підпис)

Керівник доцент кафедри, к.т.н. Шеїна Г. О.

(посада, науковий ступінь, вчене звання, прізвище та ініціали) (підпис)

Рецензент

(посада, науковий ступінь, вчене звання, прізвище та ініціали) (підпис)

Засвідчує що у цьому дипломному проекті немає запозичень з
праць інших авторів без відповідних посилань

Студент _____

(підпис)

Покровськ – 2020 р.

**МІНІСТЕРСТВО ОСВІТИ І НАУКИ УКРАЇНИ
ДЕРЖАВНИЙ ВИЩИЙ НАВЧАЛЬНИЙ ЗАКЛАД
«ДОНЕЦЬКИЙ НАЦІОНАЛЬНИЙ ТЕХНІЧНИЙ УНІВЕРСИТЕТ»**

Факультет комп'ютерно- інтегрованих технологій, автоматизації, електроінженерії та радіоелектроніки

Кафедра електричної інженерії

Освітній ступінь: магістр

Спеціальність: (141) електроенергетика, електротехніка та електромеханіка

**ЗАТВЕРДЖУЮ:
Завідувач кафедри**

(Колларов О. Ю.)

« » _____ 2020 р.

**ЗАВДАННЯ
НА ДИПЛОМНУ РОБОТУ СТУДЕНТУ
Чижиков Артем Юрійович**

(прізвище, ім'я, по батькові)

1. Тема роботи:

керівник роботи

Шеїна Г. О., к. т. н.

(прізвище, ім'я, по батькові, науковий ступінь, вчене звання)

затверджені наказом вищого навчального закладу від № _____

2. Срок подання студентом роботи 21 грудня 2020 року.

3. Вихідні дані до роботи:

оперативна схема мережі 330/110/35 кВ

тип обладнання підстанцій

тип ліній електропередачі, марка проводу, довжина

навантаження споживачів і категорія надійності

4. Зміст розрахунково-пояснювальної записки (перелік питань, які потрібно розробити)

1. Моделі комутаційних апаратів

2. Аналіз комутаційних апаратів

3. Дослідження мережі 330/110 кВ

4. Охорона праці

5. Перелік графічного матеріалу (з точним зазначенням обов'язкових креслень, якщо передбачається)

Вісім слайдів презентаційного матеріалу

6. Консультанти розділів роботи

Розділ	Прізвище, ініціали та посада консультанта	Підпис, дата	
		завдання видав	завдання прийняв
Охорона праці	Біла Н. С.		
Пункти 4.1 – 4.3	Шеїна Г.О.		

7. Дата видачі завдання 01 жовтня 2020 р.
КАЛЕНДАРНИЙ ПЛАН

№ з/п	Назва етапів дипломного роботи	Срок виконання етапів роботи	Примітка
1.	Пункт 4.1	2.10 – 31.10.20	
2.	Пункт 4.2	01.11–19.11.20	
3.	Пункт 4.3	20.11–10.12.20	
4.	Охорона праці	11.12–21.12.20	
5.			
6.			

Студент Чижиков А. Ю.
(підпись) (прізвище та ініціали)

Керівник роботи Шеїна Г. О.
(підпись) (прізвище та ініціали)

АНОТАЦІЯ

Чижиков А. Ю. Модернізація ділянки мережі 330/110/ Випускна кваліфікаційна робота на здобуття освітнього ступеня «магістр» за спеціальністю 141 «Електроенергетика, електротехніка та електромеханіка». – ДВНЗ ДонНТУ, Покровськ, 2020.

Дипломна робота складається зі вступу, основної частини, яка включає чотири розділи, висновків та списку використаних джерел.

У першому розділі розглянуті фізичні процеси, які виникають в електричних мережах при комутаціях аварійних струмів. Наведені умови стійкого та нестійкого горіння дуги змінного струму. Визначені показники, які впливають на успішність процесу гасіння дуги.

У другому розділі розглянуті комутаційні апарати, які використовуються в електричних мережах, приведені їх конструктивні схеми, визначені переваги та недоліки.

У третьому розділі приведено моделювання і дослідження режимів ділянки електричної мережі 330/110/35 кВ.

У четвертому розділі розглянуті питання охорони праці.

Ключові слова: комутація, аварійні струми, гасіння дуги, комутаційні апарати, моделювання, дослідження режимів, електрична мережа.

Список публікацій здобувача:

1. Дослідження режимів роботи ділянки електричної мережі 110/35 кВ / Чижиков А.Ю, Тютюнник Н.Л., Шеїна Г.О// Тези студентської конференції форму «ТАК», м. Покровськ, 2020.
2. Дослідження пристроїв регулювання напруги підстанції 330/110 кВ / Чижиков А.Ю, Шеїна Г.О// Тези студентської конференції форму «ТАК», м. Покровськ, 2020.

ANNOTATION

Chyzykov Artem Yuriiovich. Modernization of the 330/110 network section / Graduation qualifying work for obtaining an educational degree "Master" in specialty 141 "Electricity, electrical engineering and electromechanics". – DonNTU, Pokrovsk, 2020.

The thesis consists of an introduction, the main part, which includes four sections, conclusions and a list of sources used.

The first section considers the physical processes that occur in electrical networks during switching of emergency currents. The conditions of stable and unstable combustion of an alternating current arc are given. Indicators that affect the success of the arc quenching process are identified.

In the second section the switching devices used in electric networks are considered, their constructive schemes are resulted, advantages and lacks are defined.

The third section presents modeling and research of 330/110/35 kV electrical network sections.

The fourth section deals with issues of labor protection.

Keywords: mathematical model, transformer, systematic overloads, emergency overloads, electrical network, electrical installations.

List of applicant publications:

1. Research of operation modes of the 110/35 kV electric network section / Chizhikov A.Yu., Tyutyunnyk NL, Sheina G.O. // Abstracts of the student conference form "TAK", Pokrovsk, 2020.
2. Research of voltage regulation devices of 330/110 kV substation / Chizhikov A.Yu., Sheina G.O/ // Abstracts of the student conference form "TAK", Pokrovsk, 2020.

ЗМІСТ

Вступ	7
Розділ 1. Моделі комутаційних апаратів	8
1.1 Фізичні процеси при горінні дуги	9
1.2 Енергетичні процеси при горінні дуги	16
1.3 Аналіз коливальних процесів при відключені мережі	24
1.4 Висновки за першим розділом	29
Розділ 2 Аналіз комутаційних апаратів	30
2.1 Основні вимоги до комутаційних апаратів	30
2.2 Конструкція вимикачів	31
2.3 Висновки за другим розділом	34
Розділ 3. Дослідження мережі 330/110 кВ	35
3.1 Моделювання ділянки електричної мережі двох рівнів номінальної напруги	35
3.2 Аналіз отриманих результатів	58
3.3 Генерації реактивної потужності в мережі	61
3.4 Розрахунок струмів КЗ	81
Розділ 4 Охорона праці	90
Висновки	96
Список використаної літератури	97

ВСТУП

Згідно діючого в Україні стандарту, ПУЕ, розділ 1.2.11, під час виконання проектів систем електропостачання (СЕП) або, що також є актуальним для нашого регіону, реконструкції електроустановок, необхідно розглядати такі питання:

1) можливі перспективи розвитку енергосистеми та СЕП з обов'язковим урахуванням раціонального поєднання електричних мереж, як новозбудованих, так і діючих, різних класів напруги;

2) забезпечення обов'язкового надійного електропостачання для всіх споживачів електричних мереж, з урахуванням їх категорії надійності;

3) звичайно ж, обмеження струмів аварійних режимів (струми К3), рівнями, що визначаються можливим граничним збільшеннями при розвитку регіону;

4) звичайно ж, можливість зменшення втрат електричної енергії, з урахуванням обмеженості енергоресурсів та їх впливом на розвиток промисловості;

5) обов'язкове прийняття до уваги, що прийняті рішення впливають на умови безпеки навколошнього природного середовища;

6) обов'язкове прийняття до уваги електромагнітної сумісності спроектованих автоматизованих систем керування; пристрій релейного захисту, диспетчерського контролю, технологічного зв'язку та інших технічних засобів.

Під час проєктування чи реконструкції СЕП, звичайно ж, враховуються наступні фактори:

- по-перше, перевантажувальна здатність елементів СЕП,
- наступне, наявність можливості обов'язкового резервування технологічного обладнання, з урахуванням ремонтних, аварійних чи, так званих, післяаварійних режимах. Тому робота присвячена розробці технічних засобів реконструкції електричної мережі 330/110/35 кВ.

РОЗДІЛ 1. МОДЕЛІ КОМУТАЦІЙНИХ АПАРАТІВ

Автоматичний вимикач (circuit breakers) – це комутаційний механічний пристрій.

Він здатний витримувати і розривати струми в звичайних умовах.

Крім того, він також здатний витримувати протягом визначеного й обмеженого часу струми, в так званих, аномальних умовах, таких як коротке замикання, і розривати їх.

У нормальних робочих умовах вимикач знаходиться в замкнутому положенні, струм протікає через замкнені контакти. Вимикач розмикає свої контакти при надходженні сигналу спрацьовування.

Характеристики автоматичних вимикачів узагальнюють наступним чином [1]:

1. У замкненому стані він повинен бути хорошим провідником: повинен термічно та механічно витримувати будь-який струм, менший або рівний номінальному струму короткого замикання

$$I_{\text{прн}} \leq I_{\text{ном.КЗ}}$$

2. При розмиканні він повинен бути хорошим ізолятором: повинен витримувати напругу між контактами, напругу до землі або до інших фаз

$$U \leq U_{\text{перен}}$$

3. При відключенні він повинен швидко та безпечно перервати будь-який струм, менший або рівний номінальному струму короткого замикання

$$I_{\text{відкл}} \leq I_{\text{ном.КЗ}}$$

1.1 Фізичні процеси при горінні дуги

За визначенням, електрична дуга – це сильно іонізований стовп газу, який, звичайно ж, стає провідним під дією високої температури. Отже, дуга поєднує електричні та теплові явища.

У вимикачі електрична дуга утворюється лише після того, як контакти починають відокремлюватися. Вона змінюється від провідного до непровідного стану за дуже короткий проміжок часу.

Дуга гасне, зазвичай, при виконанні наступних умов:

- по-перше, коли струм досягає нуля для змінного струму;
- по-друге, коли дуга витягується на максимальну довжину, збільшується її опір;
- і, останнє, коли обмежується струм.

Для розширення дуги застосовуються різні техніки; вони відрізняються залежно від потужності і класу напруги вимикача.

При горінні дуги у вимикачі в ній одночасно протікають два протилежні процеси – іонізація і деіонізація.

Іонізація – процес відділення з нейтральної молекули одного або декількох іонів і утворення вільних електронів і позитивних іонів.

Іонізація проходить у дуговому проміжку. Вона включає термічну й ударну іонізацію.

Термічна іонізація – це її основний вид, виникає під дією високої температури. Вона спричиняє збільшення кількості частинок і їх швидкості.

Ступень іонізації – відношення кількості іонізованих атомів до загальної кількості атомів в дуговому проміжку.

Ударна іонізація є наслідком руху вільних електронів, які на своєму шляху іонізують наступні нейтральні частинки.

Потенціал іонізації – це мінімальне значення різниці потенціалів на довжині вільного руху електрону, щоб він до кінця шляху набув необхідну швидкість для іонізації наступної частинки.

Деіонізація включає рекомбінацію і дифузію.

Процес рекомбінації – нейтралізація іонів й електронів, які взаємно притягуються.

Процес дифузії – процес переміщення іонів й електронів зі ствола дуги в навколошнє середовище. Завдяки цьому процесу зменшується провідність дуги.

Переривання струму слід розглядати у тісному зв'язку з робочою напругою системи U_{rob} , її структурою та складом елементів системи.

Робоча напруга U_{rob} впливає на тип обраного автоматичного вимикача, а елементи, компоненти та структура енергосистеми визначають конструкцію блоку автоматичного вимикача через перехідні напруги, які виникають в процесі комутацій.

Стандарти [2–3] також визначають перенапруги, які повинні витримувати вимикачі. Крім того, автоматичний вимикач повинен забезпечити достатню ізоляційну відстань, щоб персонал міг безпечно працювати на тій частині системи, яка була відключена.

Бажані номінали, параметри продуктивності та вимоги до випробувань автоматичних вимикачів регулюються стандартами [2–3].

Крім того, необхідно враховувати такі явища як термоелектронна емісія й автоелектронна емісія, які відбуваються паралельно з основними процесами.

Термоелектронна емісія – це, як відомо, випуск електронів з поверхні контактів через їх високу температуру. На негативному електроді утворюється, так зване, «катодна пляма», яка є основою дуги й осередком випромінювання електронів у перший момент розходження контактів. На цей

процес впливають матеріал електродів та їх температура. Його вплив істотний лише в початковий момент горіння дуги.

Автоелектронна емісія – це, як відомо, випуск електронів з поверхні негативного електрода через значну електричну напруженість. Напруженість між контактами може досягати 100 МВ/см.

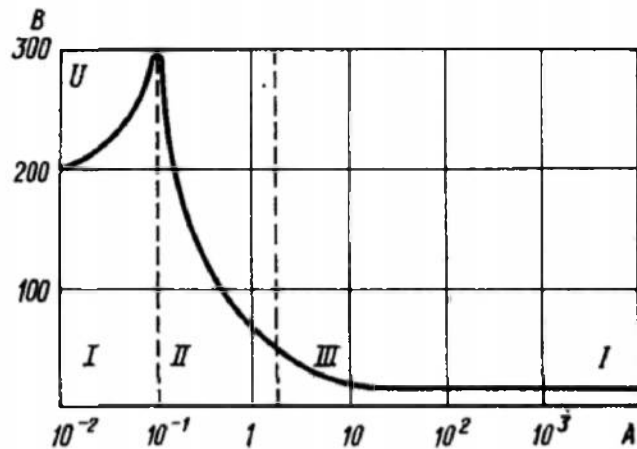


Рисунок 1.1 – Вольт-амперна характеристика електричного розряду в газах

Отже необхідно розглянути умови гасіння дуги для постійного струму.

Потужність дуги:

$$P_d = u_d \cdot i_d \quad (1.1)$$

Напруга прикладена до дуги:

$$u = u_d + \Delta u_r + \Delta u_L \quad (1.2)$$

або:

$$u = u_d + r \cdot i + L \cdot \frac{di}{dt} \quad (1.3)$$

Для дуги, яка горить стало:

$$\begin{cases} i = \text{const} \\ L \cdot \frac{di}{dt} = 0 \\ u = u_\delta + \Delta u_r \end{cases} \quad (1.4)$$

Для згасання дуги необхідно виконання умов:

$$\begin{cases} i \rightarrow \min \\ L \cdot \frac{di}{dt} < 0 \end{cases} \quad (1.5)$$

Рішенню рівняння (1.2) і умові (1.5) відповідає графічне рішення (рис.1.2).

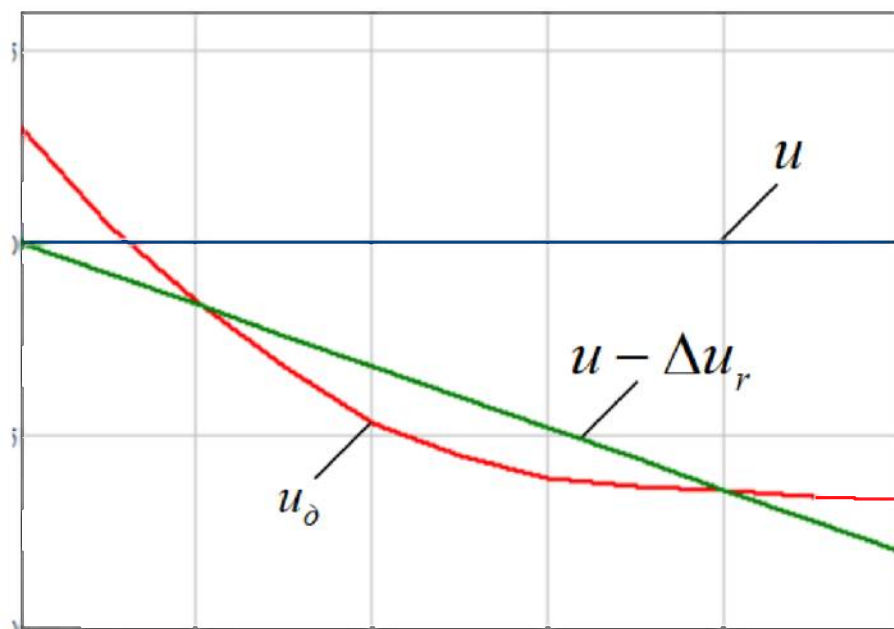


Рисунок 1.2 – Падіння напруги на дугі

Перша крива (синього кольору) – крива напруги, прикладеної до дуги u . Друга крива (зеленого кольору) – крива напруги з урахуванням падіння

напруги в активному опорі дуги: $u - \Delta u_r$. Третя крива (червоного кольору) – крива напруги на дугі Δu_L .

Зміна активного опору відповідно до зміни температури дуги зі значення t_1 до значення t_2 відбувається за законом:

$$r_2 = r_1 \left(\frac{T + t_2}{T + t_1} \right) = r_1 \left(\frac{T + t_1 + \Delta t}{T + t_1} \right) = r_1 \left(1 + \frac{t_2 - t_1}{T + t_1} \right) = r_1 \left(1 + \alpha (t_2 - t_1) \right)$$

$$\alpha = \frac{1}{T + t_1}$$

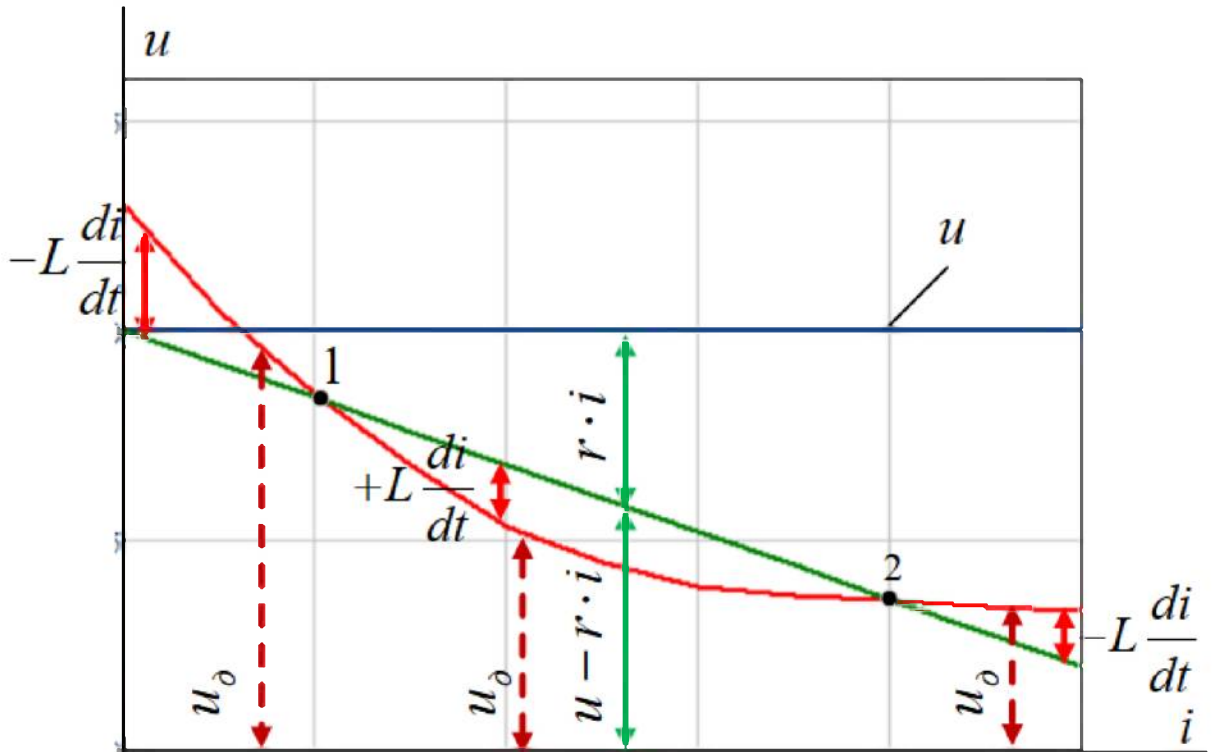


Рисунок 1.3 – Напруга дуги

Напруга дуги:

$$u_\delta = u - r \cdot i - L \cdot \frac{di}{dt} \quad (1.6)$$

геометрично визначається відрізками кривих, де спочатку від напруги прикладеної до дуги, віднімається падіння напруги в активному опорі (лінійна залежність), а потім – в індуктивному опорі (нелінійна залежність).

Вони перетинаються в двох точках – це точки рівноваги:

$$\begin{cases} L \cdot \frac{di}{dt} = 0 \\ u = u_\delta - r \cdot i \end{cases} \quad (1.7)$$

Але точки 1 і 2 рівноваги – це точки різного стану: 1 – несталої рівноваги, 2 – сталої рівноваги.

В точці 1, дуга гасне, якщо:

$$\begin{cases} i < I_1 \\ L \frac{di}{dt} < 0 \\ u_\delta > u - i \cdot r \end{cases} \quad (1.8)$$

В точці 1, струм дуги зростає, якщо:

$$\begin{cases} i > I_1 \\ L \frac{di}{dt} > 0 \\ u_\delta < u - i \cdot r \end{cases} \quad (1.9)$$

Виникає надмірне напруження, яке призводить до збільшення струму до значення в точці 2. В колі накопичується електромагнітна енергія.

В точці 2, струм дуги зростає, якщо:

$$\begin{cases} i > I_2 \\ L \frac{di}{dt} < 0 \\ u_\delta > u - i \cdot r \end{cases} \quad (1.10)$$

Таким чином, з останнього рівняння системи (1.10), бачимо, що напруга u є недостатньою для підтримки більшого значення струму $i > I_2$.

Тому струм зменшується до значення I_2 , дуга горить стало.

Висновок: точка 1 – точка нестійкого горіння дуги, точка 2 – точка стійкого горіння дуги.

Справедливо твердження, що для гасіння дуги необхідно аби при будь-якому значенні струму виконувалася умова (рис. 1.4):

$$u_\delta > u - i \cdot r$$

Іншими словами, динамічні вольт-амперні характеристики дуги повинні бути вище характеристики $u - r \cdot i$ і не мати точок дотику, як показано на рис. 1.4.

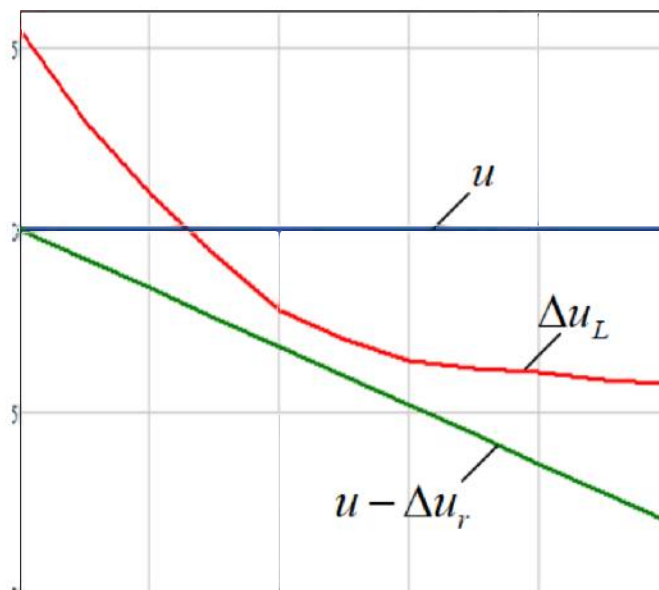


Рисунок 1.4 – Умова гасіння дуги

На практиці для забезпечення умови, показаної на рис. 1.4, використовують спеціальні засоби аби довжина дуги постійного струму була така, щоб її існування стало неможливим:

$$l_d \geq l_{d_{\max}}$$

В апаратах низької напруги використовують, як відомо наступні типи дугогасних пристройів:

- відкритий розрив – рубильники ($U \leq 500 \text{ В}$, $I \leq 5 \text{ кA}$);
- щілинні дугогасні камери (з однією вузькою чи однією лабіринтовою щілиною) – автоматичні повітряні вимикачі ($I_{\text{c}} \leq 50 - 90 \text{ кA}$, $I_{\text{c}} \leq 30 - 40 \text{ кA}$);
- деіоні чи дугогасні решітки – вимикачі ($I \leq 200 \text{ кA}$)

1.2 Енергетичні процеси при горінні дуги

Еквівалентна електрична потужність дуги:

$$P_d = u_d \cdot i_d$$

Для постійного струму вона складає:

$$u_d \cdot i_d = \text{const}$$

Енергія, яка виділяється в дугі за час її горіння t_d :

$$W_d = \int_0^{t_d} u_d \cdot i \cdot dt \quad (1.11)$$

Для апаратів комутації за час одного відключення, з урахуванням (1.2) і (1.11):

$$W_{\partial} = \int_0^{t_z} u_{\partial} \cdot i \cdot dt = \int_0^{t_z} \left(u - r \cdot i - L \cdot \frac{di}{dt} \right) \cdot i \cdot dt$$

Енергія магнітного поля мережі, що відключається:

$$W_M = L \cdot \frac{i_0^2}{2} \quad (1.12)$$

Енергія, яка надходить в дугу під час її горіння від генератора:

$$W_e = \int_0^{t_z} r \cdot (i_0 - i) \cdot dt \quad (1.13)$$

Початкове значення струму:

$$i_0 = \frac{u}{r}$$

Таким чином, незалежно від способу гасіння дуги, в ній виділяється енергія магнітного поля мережі, яка відключається, й енергія, яка надходить в дугу від генератора:

$$W_{\partial} = W_M + W_e = \int_0^{t_z} r \cdot (i_0 - i) \cdot dt + \int_{i_0}^0 L \cdot i \cdot dt = L \cdot \frac{i_0^2}{2} + \int_0^{t_z} r \cdot (i_0 - i) \cdot dt \quad (1.14)$$

Для струму в дугі є справедливим наступне рівняння:

$$i = i_0 \cdot \left[1 - \left(\frac{t}{t_e} \right)^n \right] \quad (1.15)$$

де t – поточний час; t_e – час гасіння дуги; n – постійна, яка залежить від початкових умов.

Постійна n залежить від типу пристройів гасіння дуги:

- $n > 1$ ($n = 2 - 4$) – закриті дугогасні пристрої, дугогасні пристрої з вузькими щілинами при значній індуктивності;
- $n \leq 1$ – відкриті дугогасні пристрої при активному навантаженні.

За рівнянням (1.15) будується сімейство кривих – рис.1.5.

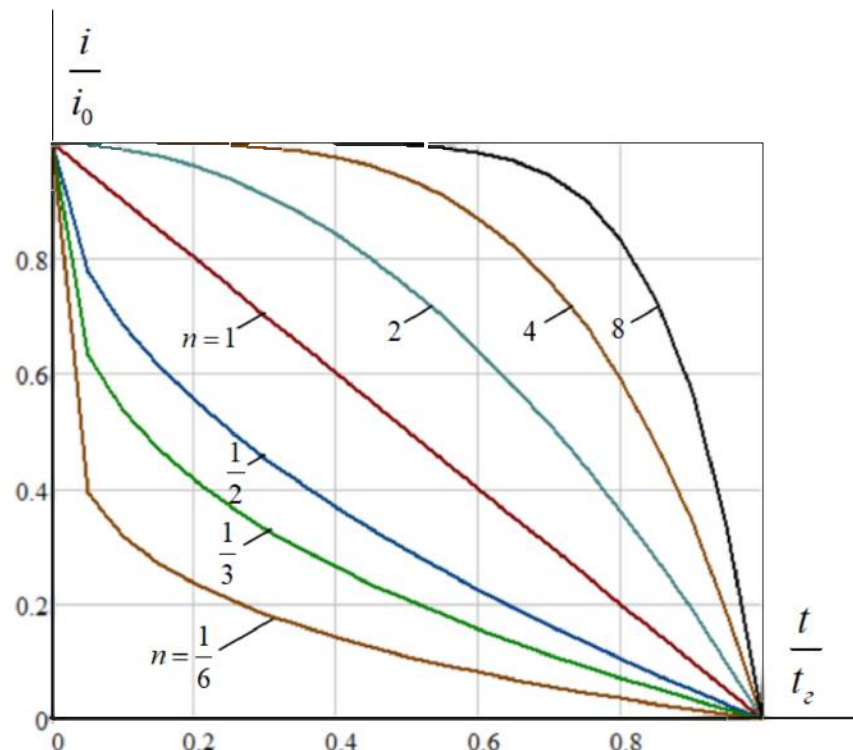


Рисунок 1.5 – Залежності струму

Підставив (1.15) в (1.13):

$$W_e = k \cdot r \cdot i_0^2 \cdot t_e = L \cdot i_0^2 \cdot k \cdot \frac{t_e}{T}$$

$$k = \frac{n}{2 \cdot n^2 + 3 \cdot n + 1} \quad (1.16)$$

$$T = \frac{L}{r}$$

За виразом (1.16), так само, розраховується залежність $k(n)$ – рис. 1.6.

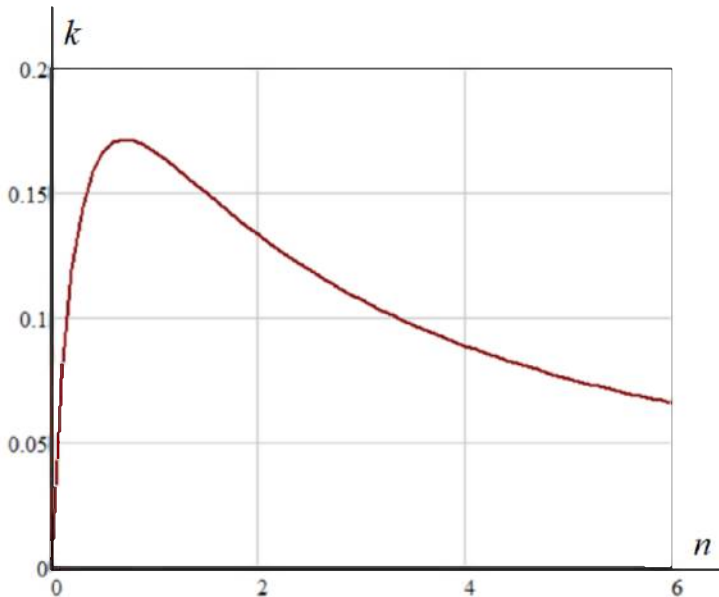


Рисунок 1.6 – Залежність $k(n)$

Характеристика $k(n)$ впливає на кількість енергії, що надходить від генератора в дугу. Її максимальне значення (рис. 1.7) відповідає значенню $n=1$, коли $k(n)=0,167$.

Таким чином, для дуги постійного струму:

$$W_d = W_M + W_e = L \cdot \frac{i_0^2}{2} + L \cdot i_0^2 \cdot k \cdot \frac{t_e}{T} = L \cdot \frac{i_0^2}{2} \cdot \left(1 + 2 \cdot k \cdot \frac{t_e}{T} \right)$$

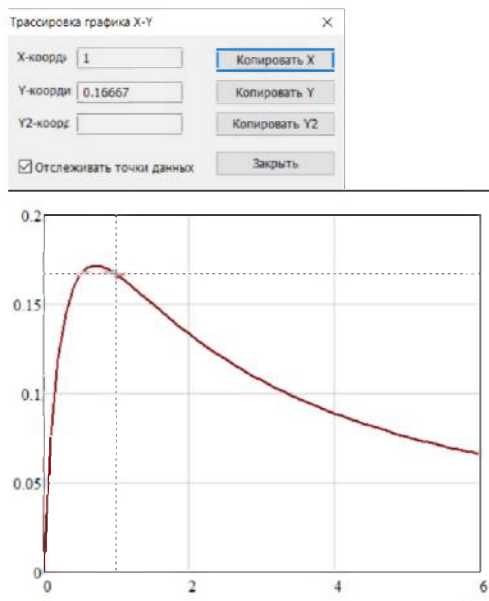


Рисунок 1.7 – Визначення максимального значення $k(n)$

Для дуги змінного струму:

$$W_e = \left(\frac{1}{\pi f} \cdot I_m \cdot U_\delta \right) \cdot m$$

де f – частота струму I_m , який створює падіння напруги на дугі U_δ за умови, що дуга горить m півперіодів.

В генератор повертається енергія, яка була запасена в магнітному полі $L \cdot \frac{i_0^2}{2}$. Мінімальна кількість енергії виділяється, коли дуга гасне при першому проходженні струму через нуль ($m=1$). Якщо ж дуга згасне раніше природного проходження через нуль, то частина енергії $L \cdot \frac{i_0^2}{2}$ не буде мати часу повернутися в генератор і виділиться у дугі.

На відміну від дуги постійного струму, коли створюються умови сприятливі для гасіння дуги, в дузі змінного струму його зниження й перехід через нуль виникає кожні півперіоду, що полегшує задачу гасіння дуги.

Для дуги змінного струму необхідно створити умови, коли струм не зможе відновитися після проходження через нуль.

На рис. 1.8. показана зміна напруги u_d і струму i_d в дуговому проміжку. Як видно з рис. 1.8, при виникненні (час t_1) і збільшенні (проміжок часу $t_1 - t_2$) струму дуги i_d відбувається падіння напруги на дугі u_d від значення в точці 1 до значення в точці 2.

Максимальному значенню струму i_d , як бачимо, відповідає мінімальне значенню напруги u_d . Потім воно знову зростає й досягає значення напруги загасання дуги – точка 3, при зникненні струму.

Проте навіть при переході струму через нуль, температура дуги не встигне впасти до нуля і залишається досить високою, через значну теплову інерцію газу. Тому струм i_d в другий півперіод з'явиться знову.

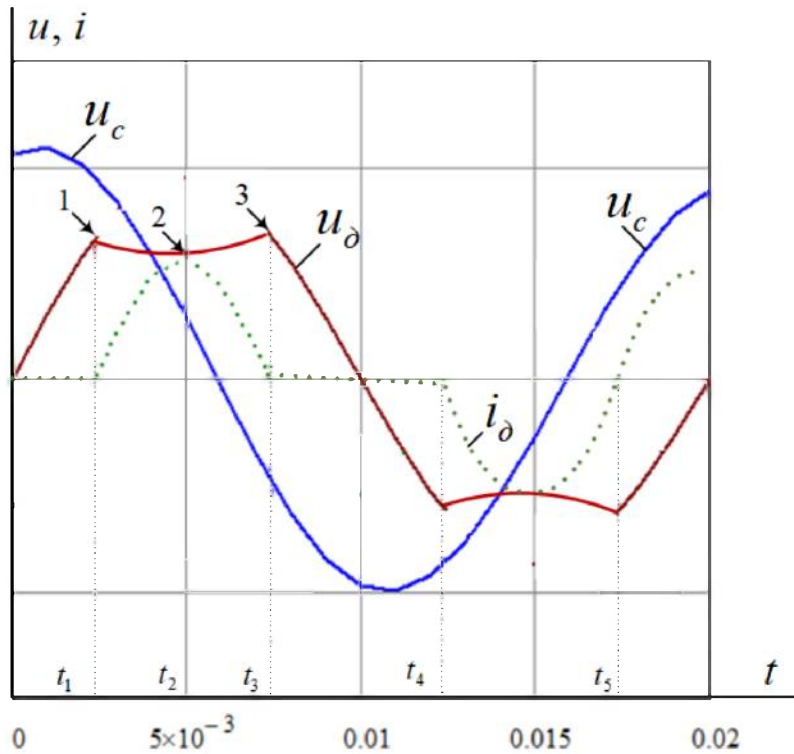


Рисунок 1.8 – Для дуги змінного струму

Струм i_d змінюється не за законом синусоїди $i_d = I_m \cdot \sin(\omega t - \varphi)$. Він знижується до нуля раніше природного переходу через нуль, а потім знову

починає збільшуватися, із запізненням, і досягає відповідного значення. Це явище називається безструмова пауза. На рис. 1.8 це проміжок часу $t_3 - t_4$. Вона характеризується явищем інтенсивної деіонізації. Так як енергія (1.12), яка запасена в індуктивності, буде практично рівною нулю.

Тривалість безструмової паузи залежить від результуючої індуктивності мережі. При значній індуктивності її тривалість зменшується до можливих 0,1 мкс.

Інтенсивна деіонізації має наслідком зменшення провідності дугового проміжку. А це в свою чергу – до збільшення напруги, яка потрібна для пробою й повторного виникнення дуги.

Умова гасіння дуги змінного струму (рис. 1.9): пробивна напруга U_{np} (крива 1), яка залежить від опору дугового проміжку, більше робочої напруги дугового проміжку U (крива 2). За цієї умови при переході через нуль дуга гасне.

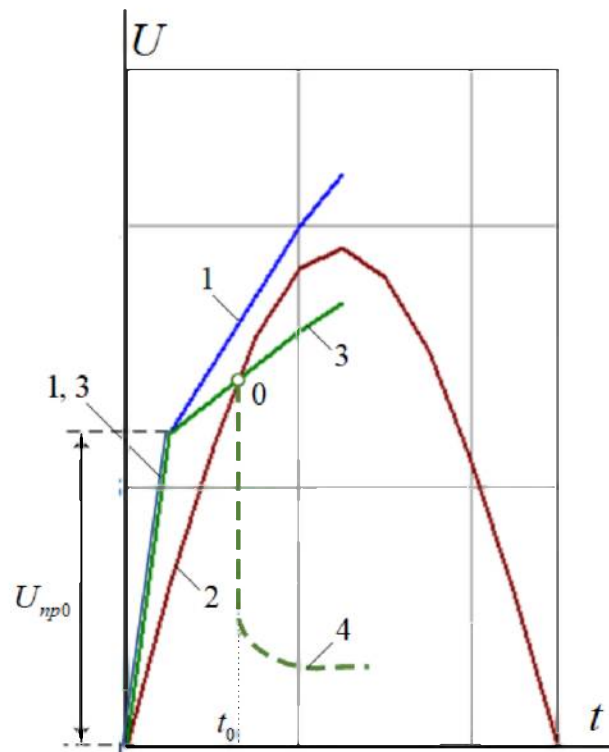


Рисунок 1.9 – Гасіння дуги змінного струму

У випадку ж, коли опір дугового проміжку зростає настільки повільно, що пробивна напруга U_{np} стане менше робочої напруги дугового проміжку U (крива 3), то для часу, коли $U_{np} = U$ (точка 1), виникне повторне загорання дуги, в колі з'явиться струм i_o і відповідне йому падіння напруги на дугі u_o (крива 4).

Спочатку вважалося, що в низьковольтних мережах з напругою $U < 1000B$, при переході струму через нуль пробивна напруга у катодній області миттєво зменшується до значення $U_{np0} = 150$ В (у випадку незначних струмів і холодного катоду) або до значення $U_{np0} = 250$ В (у випадку значних струмів і гарячого катоду). Тому дугогасні пристрої розміщували біля катоду. Досвід експлуатації показав, що це можливо лише для контактів, які швидко охолоджуються. В інших випадках цей захід не є ефективним, так як електрони з катоду переміщаються в між контактний проміжок. Це призводить до зниження електричної міцності проміжку у катода.

Процес відновлення напруги на дуговому проміжку U_e – це процес, коли напруга на цьому проміжку зростає від напруги згасання дуги U_z до відповідного миттєвого значення напруги мережі U_m або ЕРС джерела живлення E_m .

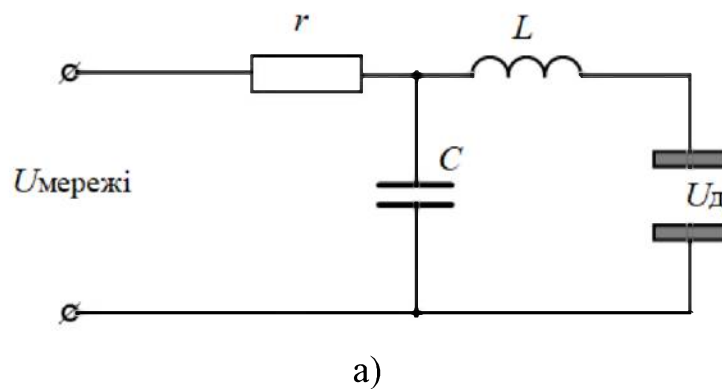
Відновлення напруги на дуговому проміжку відбувається за двома можливими законами:

- 1) аперіодичним законом. Напруга U_e в цьому випадку не перевищує E_m .
- 2) коливальним законом. Напруга U_e в цьому випадку не перевищує $2 \cdot E_m$. Частота й амплітуда коливань визначається співвідношенням між параметрами джерела (генератора) й мережі. Більш детально це питання буде розглянуто в наступному пункті.

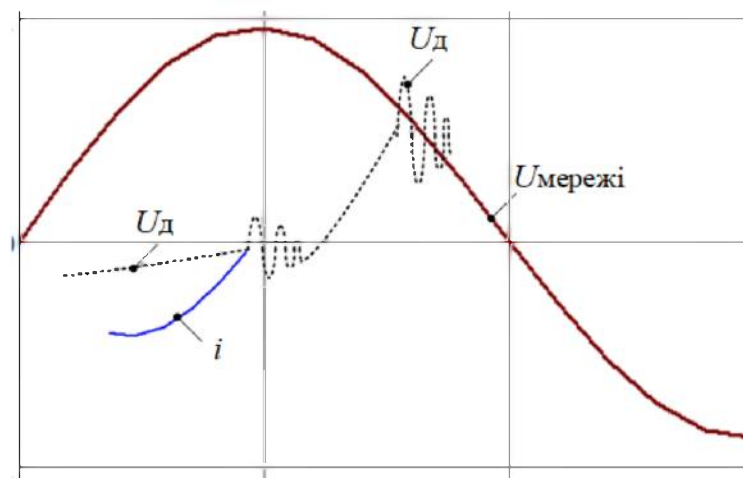
1.3 Аналіз коливальних процесів при відключенні мережі

Як відомо, успішність відключення КЗ і гасіння дуги – це два протилежні й одночасні процеси – відновлення електричної міцності дугового проміжку й відновлення напруги на контактах вимикача.

Відновлення електричної міцності показано на рис. 1.10.



a)



б)

Рисунок 1.10 – Найпростіший коливальний контур після відключення

Кутова частота контуру, як відомо:

$$\omega_0 = \frac{1}{\sqrt{L \cdot C}}$$

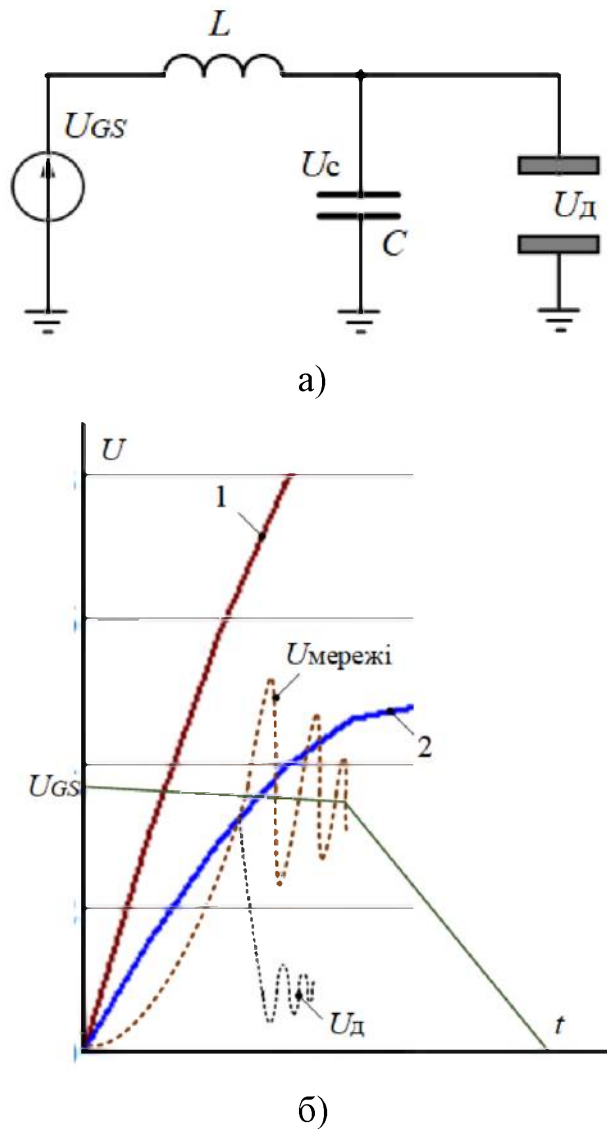


Рисунок 1.11 – Коливальний контур після відключення

Таким чином, закон зміни напруги:

- для системи

$$U_{GS} = U_m \cdot \sin(\omega_0 t)$$

- для ємності мережі

$$U_C = U_{GS} \cdot [1 - \cos(\omega_0 t)]$$

$$U_C^{\max} = 2 \cdot U_{GS}$$

$$U_{\text{відн}} = U_C^{\max} \approx (1,6 \div 1,8) \cdot U_{GS}$$

Середня швидкість відновлення напруги визначається наступним чином:

$$\operatorname{tg}\alpha = \frac{dU_{\text{відн}}}{dt}$$

Середня швидкість, таким чином:

$$\operatorname{tg}\alpha_{cep} = \left(\frac{dU_{\text{відн}}}{dt} \right)_{cep} = \frac{U_{GS}}{\tau}$$

$$\text{де } \tau = \frac{T}{4}$$

$$T = \frac{1}{f_0}$$

$$f_0 = \frac{\omega_0}{2\pi} = \frac{1}{2\pi \cdot \sqrt{L \cdot C}}$$

Таким чином:

$$\operatorname{tg}\alpha_{cep} = \left(\frac{dU_{\text{відн}}}{dt} \right)_{cep} = \frac{U_0}{T/4} = \frac{4 \cdot U_0}{T} = \frac{4 \cdot U_0}{1/f_0} = 4 \cdot U_0 \cdot f_0 = \frac{2 \cdot U_0}{\pi \cdot \sqrt{L \cdot C}}$$

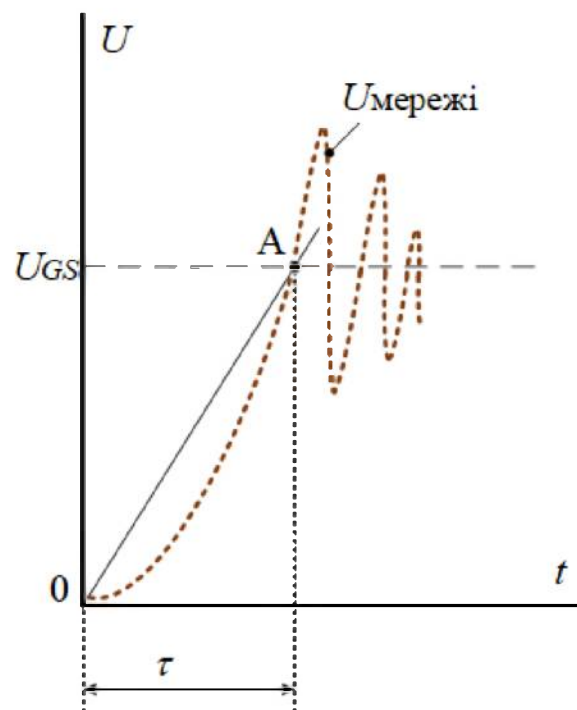


Рисунок 1.12 – Графічна інтерпретація

Шунтування дугового проміжку активним опором:

$$f_0 = \frac{1}{2\pi} \cdot \sqrt{\frac{1}{L \cdot C} - \left(\frac{1}{2 \cdot r \cdot C} \right)^2}$$

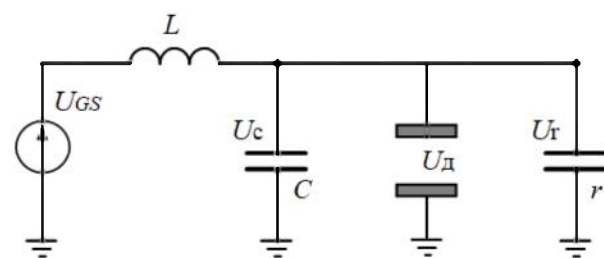


Рисунок 1.13 – Шунтування дугового проміжку

Умова аперіодичного характеру процесу в r, L, C колі:

$$\frac{1}{L \cdot C} - \left(\frac{1}{2 \cdot r \cdot C} \right)^2 \geq 0$$

$$r_{\text{кпн}} \leq \frac{1}{2} \cdot \sqrt{\frac{L}{C}}$$

Таким чином

$$U_{GS} = U_0 \cdot \left[1 - e^{-\frac{t}{T}} \right]$$

$$T = \frac{L}{r}$$

$$\left(\frac{dU}{dt} \right)_{\max} = \left(\frac{dU}{dt} \right)_{t=0} = U_{GS} \cdot \frac{1}{T} = U_{GS} \cdot \frac{r}{L} = \frac{U_{GS}}{2 \cdot \sqrt{L \cdot C}}$$

$$\frac{\left(\frac{dU}{dt} \right)_{\text{коул}}}{\left(\frac{dU}{dt} \right)_{\text{анеп}}} = \frac{\frac{2 \cdot U_{GS}}{\pi \cdot \sqrt{L \cdot C}}}{\frac{U_{GS} \cdot r}{U_{GS} \cdot \frac{r}{L}}} = \frac{\frac{2 \cdot U_{GS}}{\pi \cdot \sqrt{L \cdot C}}}{\frac{U_{GS}}{2 \cdot \sqrt{L \cdot C}}} = \frac{4}{\pi} > 1$$

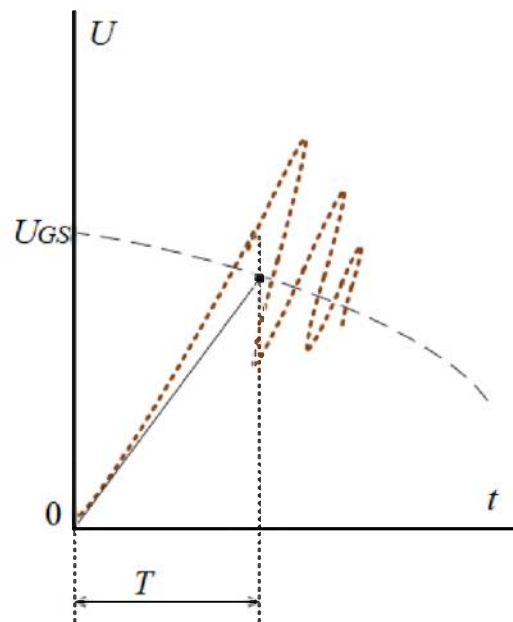


Рисунок 1.14 – Графічна інтерпретація

При $R \neq 0, L = 0, C = 0, t_0 = 0$

$$U_{GS} = U_m \cdot \sin(\omega t) = 0$$

$$\operatorname{tg} \alpha = U_m \cdot \omega \cdot \cos(\omega t_0)$$

$$\frac{dU}{dt} = \omega \cdot U_m$$

1.4 Висновки за першим розділом

Детально розглянуті фізичні процеси, які виникають в електричних мережах при комутаціях аварійних струмів.

Наведені умови горіння дуги в мережах постійного та змінного струму; умови стійкого та нестійкого горіння дуги змінного струму.

Визначені показники, які впливають на успішність процесу гасіння дуги. Ці показники враховуються в комутаційних апаратах, вимикачах, рубильниках, та інших, якими оснащена електрична мережа. Їх роботу більш детально розглянута в наступному розділі.

РОЗДІЛ 2 АНАЛІЗ КОМУТАЦІЙНИХ АПАРАТІВ

2.1 Основні вимоги до комутаційних апаратів

Розрізняють: перше, гасіння відкритої електричної дуги і, друге, гасіння дуги в дугогасильних пристроях.

Перший варіант застосовують при відносно невеликій напрузі і струмах. Важливо: він забезпечується лише тоді, коли довжина дуги буде не меншою від деякого критичного значення. Для цього контакти розміщують так, щоб електродинамічні сили і рухомі потоки нагрітого повітря розтягували дугу.

При $U > 1000$ В, навіть при порівняно невеликих струмах, використовують другий варіант, - спеціальні дугогасильні пристрої різних типів.

У високовольтних вимикачах (> 1 кВ) переривання струму здійснюється охолодженням дуги.

Автоматичні вимикачі, як відомо, класифікуються відповідно до середовища гасіння, в якому гаситься дуга.

Основні фактори при виборі автоматичного вимикача:

- задана напруга системи;
- струм, який він здатний витримувати безперервно без перегріву (номінальний нормальний струм);
- максимальний струм, який він може переривати в умовах несправності (номінальний струм короткого замикання).

Дослідження окремої ділянки енергетичної системи дають кількісні оцінки цим значенням. Вони будуть розглянуті у третьому розділі роботи.

Вибір автоматичного вимикача розглядається у тісному зв'язку з робочою напругою системи, її структурою та природою компонентів системи.

Робоча напруга визначає тип обраного автоматичного вимикача, а елементи та структура енергосистеми визначають перенапруги, що утворюються в процесі поточної експлуатації.

Крім того, в стандартах визначаються перенапруги, які повинні витримувати вимикачі. Так як, автоматичний вимикач повинен забезпечити достатню ізоляційну відстань, щоб була можлива безпечна робота в на тій частині системи, яка відключена.

Основні вимоги до вимикачів представлені у нормативних документах України [4-5], стандартах Міжнародної електротехнічної комісії (МЕК), національного інституту стандартів (ANSI) й Інституту інженерів-електриків (IEEE) [2-3].

В [5-6] визначені вимоги до комутаційних апаратів:

- термін експлуатації - не менше 30 років до першого капітального ремонту протягом усього терміну служби або до закінчення встановленого комутаційного ресурсу;
- гарантійний термін обслуговування – не менше 5 років з дати введення в експлуатацію.

2.2 Конструкція вимикачів

Тип комутаційних апаратів визначається напругою.

Широке застосування отримали наступні типи вимикачів:

- оливні;
- повітряні;
- елегазові;
- вакуумні

Останні два типи мають найефективніші способи гасіння дуги, кращі експлуатаційні показники, пожежа та вибухонебезпечні.

Елегазові вимикачі (рис.2.1) широко використовують через властивості елегазу:

- хімічно неактивний;
- не горить;
- не підтримує горіння;
- підвищена теплопровідність;
- підвищені ізоляційні властивості;
- підвищені дугогасні властивості;
- не вимагає догляду, на відміну від електротехнічного масла.

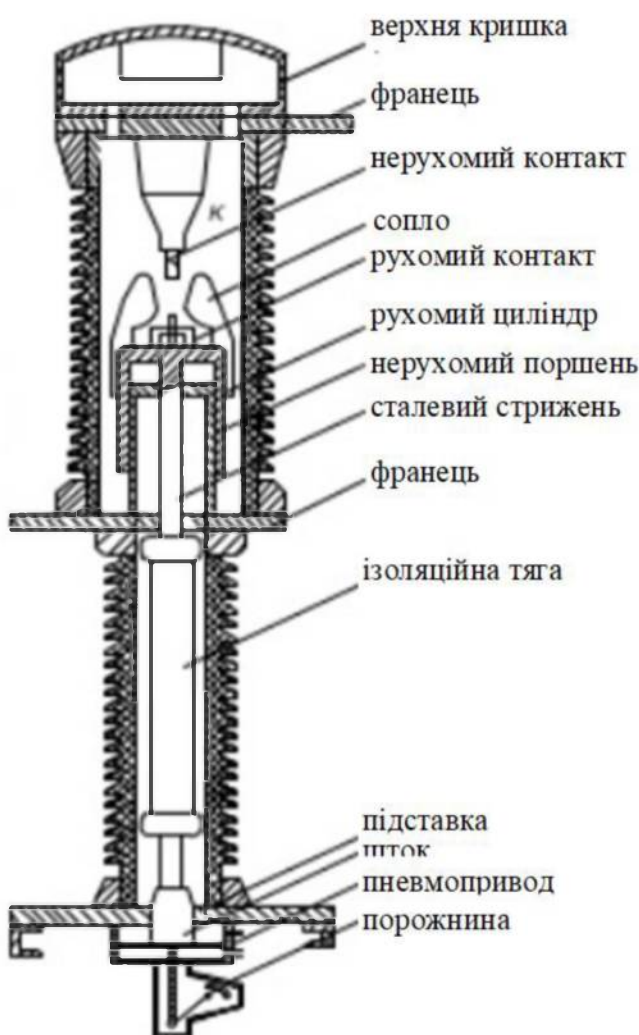


Рисунок 2.1 – Елегазові вимикачі

Але в свою чергу, елегазові вимикачі мають й недоліки.

Вони екологічно небезпечні, через що в резервуар вбудовуються фільтри.

При зниженні температури нижче 40 С елегаз конденсується, погіршується здатність гасіння дуги.

З причини екологічної безпеки розширяють область застосування вакуумних вимикачів (рис. 2.2).

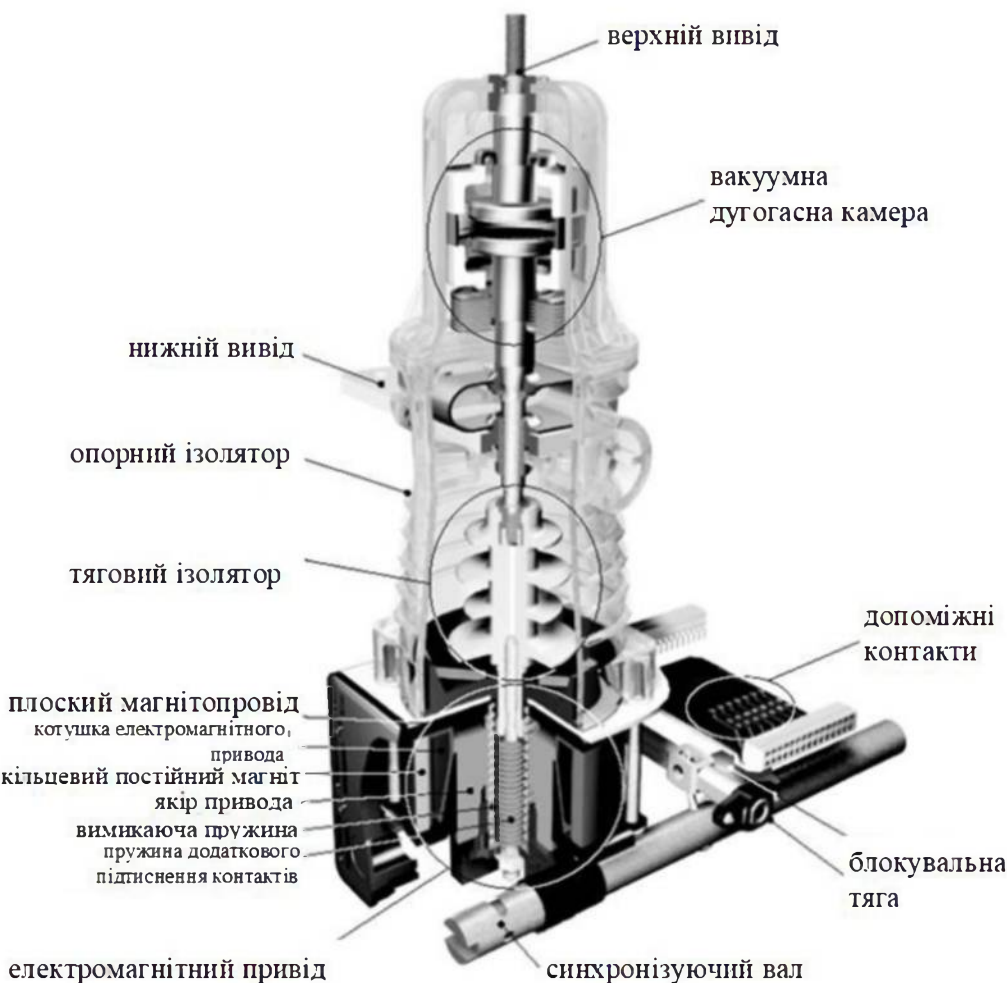


Рисунок 2.2 – Вакуумні вимикачі

Вони широко застосовуються через наступні властивості:

- найекономічніший принцип гасіння дуги;
- простота та зручність експлуатації.

Але вони потребують захисту від перенапруги, яка виникає при відключені малих індуктивних струмів.

Отже в наступному розділі при розгляді й обґрунтуванні заміни вимикачів перевагу надають елегазовим для напруги 330 і 110 кВ, і вакуумним – для напруги 35 кВ.

2.3 Висновки за другим розділом

Розглянутий принцип вибору типу комутаційних апаратів, які використовуються в електричних мережах напругою 330, 110 і 35 кВ.

Приведені їх конструктивні схеми. Визначені переваги та недоліки використання.

Отримані теоретичні дані використовуються в наступному розділі при реконструкції ділянки мережі.

РОЗДІЛ 3. ДОСЛІДЖЕННЯ МЕРЕЖІ 330/110 КВ

Підстанція Центральна-330 – це підстанція Бахмутських міських електричних мереж Донбаської енергосистеми НЕК "Укренерго".

Станом на поточний момент розгляду підстанції Центральна-330 запропоновані наступні етапи модернізації:

- заміна існуючих повітряних вимикачів на елегазові;
- заміна існуючого обладнання (роз'єднувачів, вимірювальних трансформаторів струму й напруги), яке відпрацювало свій ресурс на нове.

Підстава для виконання реконструкції – розрахунок режимів як сталіх, так і перехідних. Це дозволить як визначити заходи покращення режимів з метою їх оптимізації, так і підвищити такий важливий показник, як надійність роботи при нормальнích чи аварійних режимах.

3.1 Моделювання ділянки електричної мережі двох рівнів номінальної напруги

ПС Центральна для 330 кВ має п'ять приєднань ЛЕП і два приєднання автотрансформатора. Приєднання рівномірно розподілені між системами шин. Два автотрансформатора – перший і другий – включені паралельно за стороною високої і низької напруги (330 кВ і 35 кВ), за стороною середньої напруги (110 кВ) вони працюють окремо. Третій АТ працює окремо.

Для 110 кВ 5 приєднань від автотрансформатора (два у нормальному відключенному стані). Для 1 системи шин 110 кВ – 7 приєднань ЛЕП, і для 2 системи шин 110 кВ – 6 приєднань ЛЕП. З них п'ять приєднань відключено, чотири – на неконтрольовану територію.

На рис. 3.1 – схема підстанції Центральна -330/110/35.

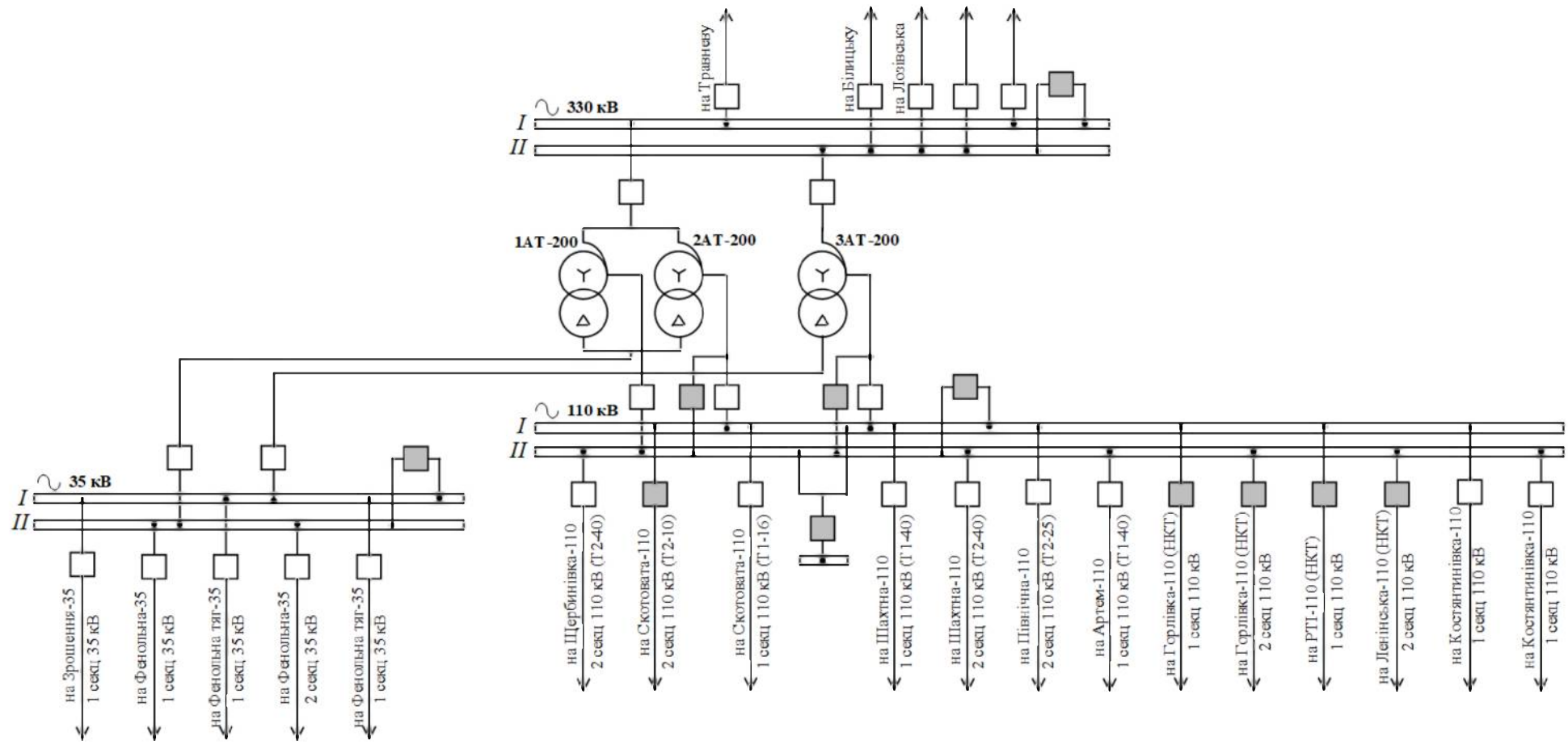


Рисунок 3.1 – Схема підстанції Центральна -330 (330/110/35 кВ)

Схема мережі 35 кВ – це рис. 3.2. Вона є схемою з двобічним живленням. Тому одним з заходів підвищення економічності роботи є розмикання мережі, аби не виникала зрівнювальна потужність. Схема мережі 110 кВ – це рис. 3.3.

Повна математична модель принципової схеми ПС Центральна і ділянки мережі 110-35 кВ, яка пов’язана з нею, показана на рис. 3.4.

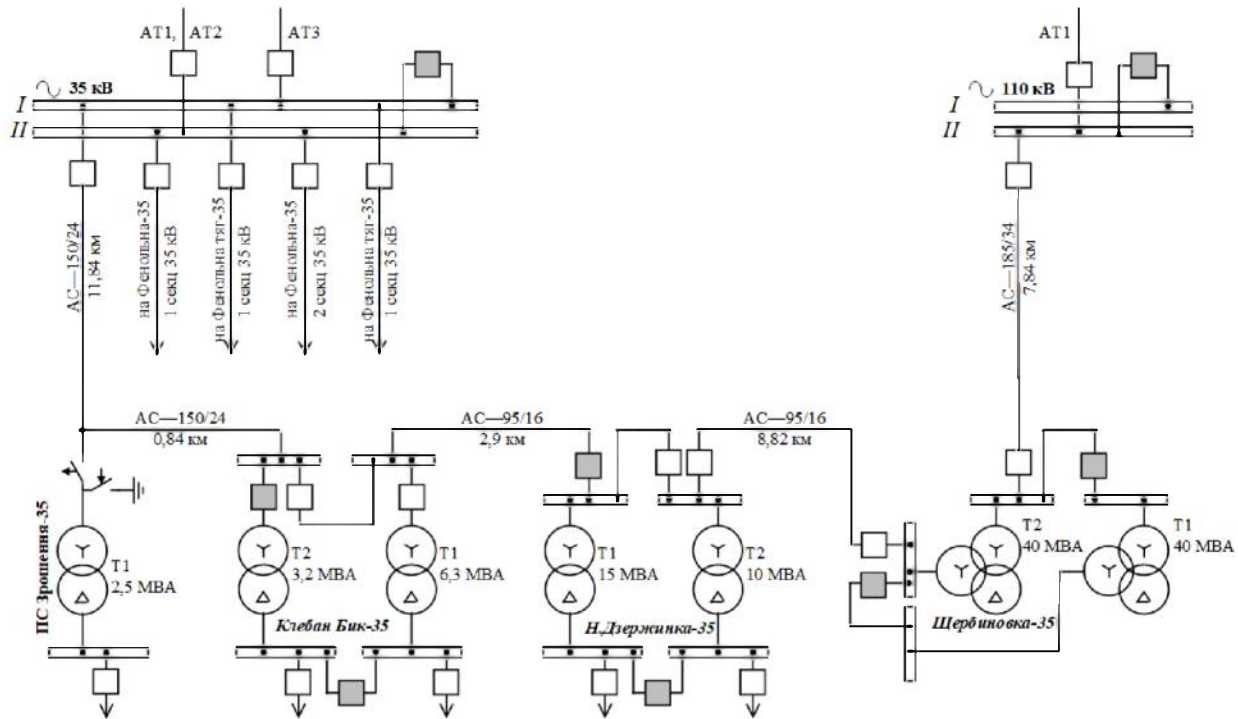


Рисунок 3.2 – Викопіювання ділянки мережі 35 кВ

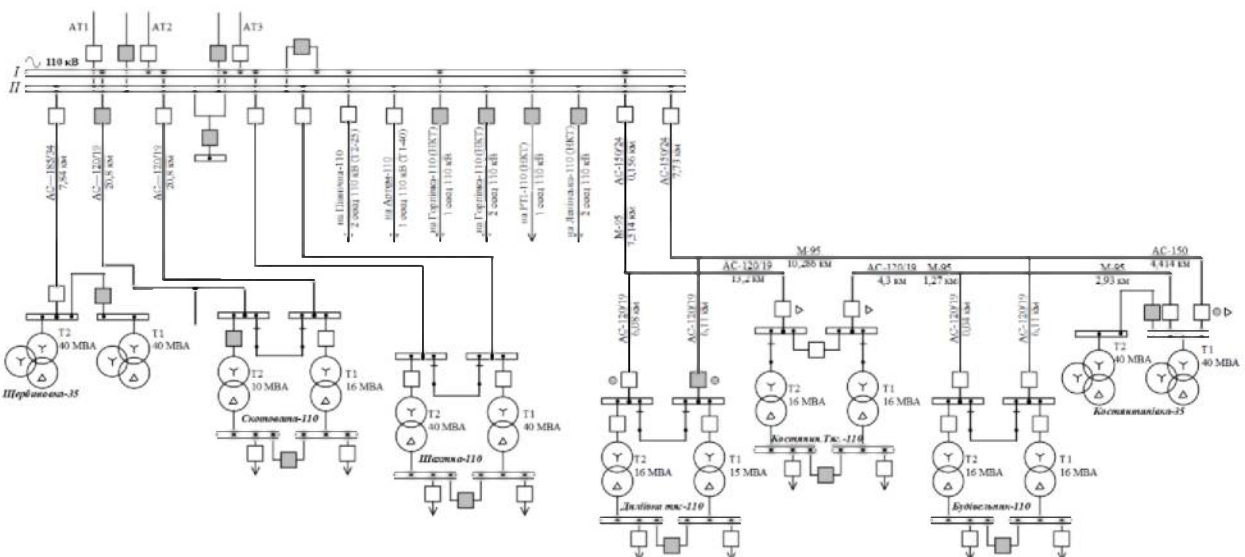


Рисунок 3.3 – Викопіювання ділянки мережі 110 кВ

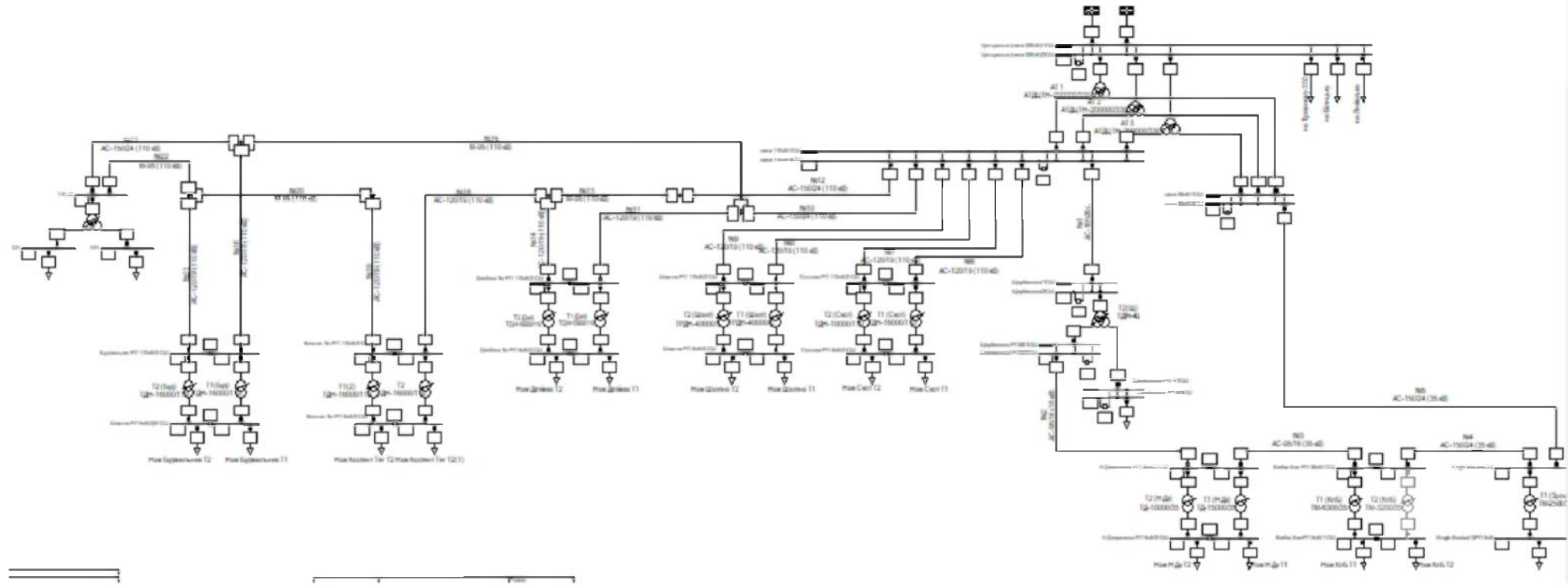


Рисунок 3.4 – Математична модель мережі 330/110/35 кВ

Для можливості задання незалежного джерела живлення використовується блок *External Grid*. Він показаний на рис. 3.5

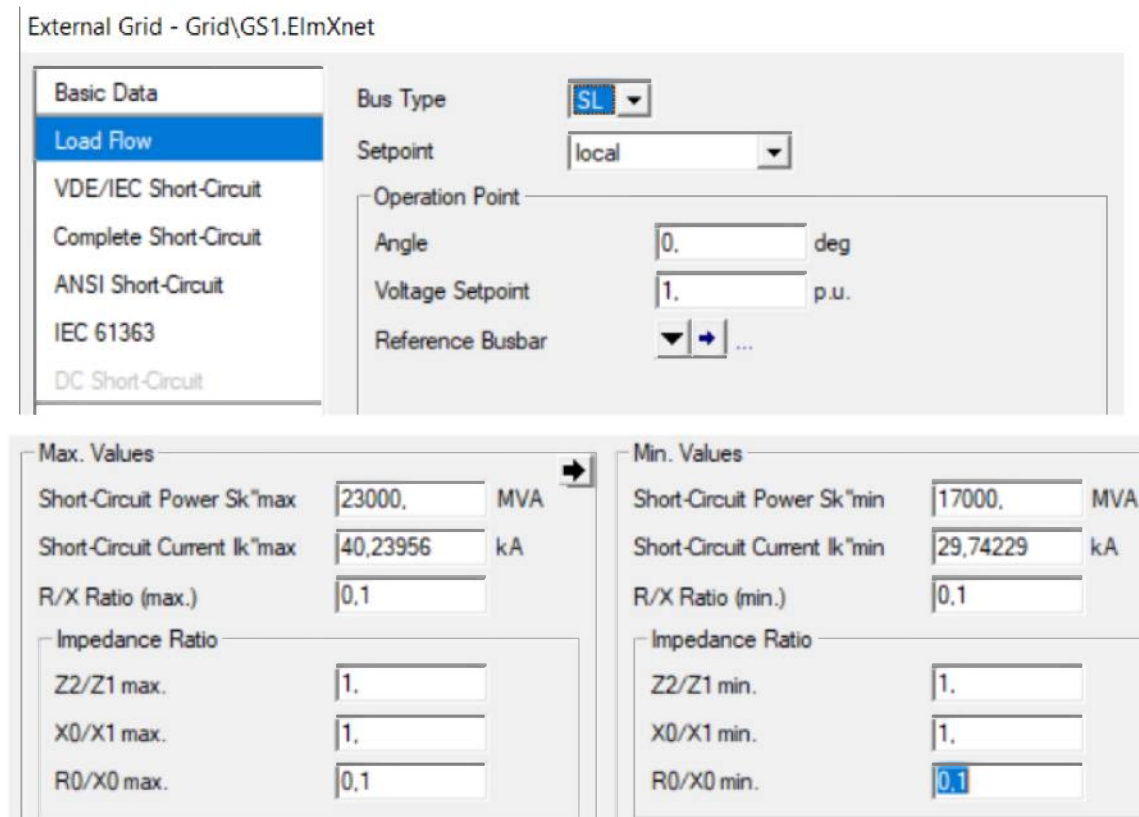


Рисунок 3.5 – Визначення напруги і потужності КЗ для ДЖ

Розподільчий устрій 330 кВ (рис. 3.6, а). Приєднання 1 системи шин: система 1 (*CB1*), автотрансформатор перший (*CB3*) і другий (*CB4*), на ПС Травневу (*CB6*). Приєднання 2 системи шин: система 2 (*CB2*), автотрансформатор третій (*CB5*), на ПС Білицьку (*CB7*), на ПС Лозівську (*CB8*).

Розподільчий устрій 110 кВ (рис. 3.6, б). Приєднання 1 системи шин: автотрансформатор другий (*CB2*) і третій (*CB3*), ЛЕП № 6 на ПС Скотовата-110 (*CB5*), ЛЕП № 7 на ПС Скотовата-110 (*CB6*, що у нормальному режимі відключений), ЛЕП № 8 на ПС Шахтина-110 (*CB7*), ЛЕП № 12 на ПС Діліївка-110 T2 і ПС Костянтинівка Тягова-110 T2 (*CB10*). Приєднання 2 системи шин: автотрансформатор перший (*CB1*), ЛЕП № 1 на ПС Щербинівка-110 T2

(CB4), ЛЕП № 9 на ПС Шахтна-110 Т2 (CB8), ЛЕП № 10 на ПС Діліївка-110 Т1 (CB9).

Розподільчий устрій 35 кВ (рис. 3.6, в). Приєднання 1 системи шин: автотрансформатор третій (CB3), ЛЕП № 5 на ПС Зрошення-35 (CB4). Приєднання 2 системи шин: автотрансформатор перший (CB1) і третій (CB2).

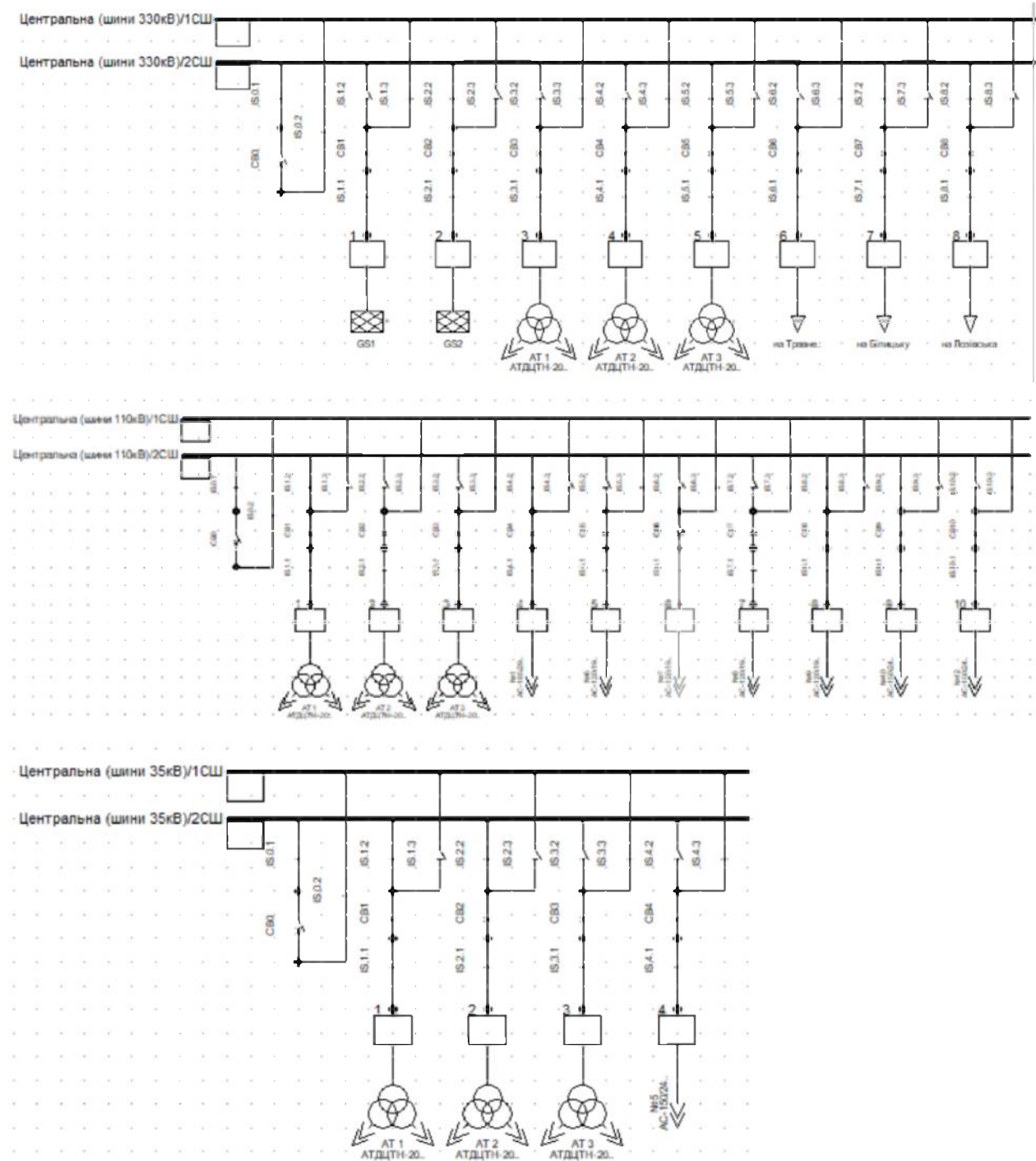


Рисунок 3.6 – РУ 330, 110 і 35 кВ

Автотрансформатори використовуються саме з метою зменшення витрат на передачу електроенергії в порівнянні з триобмотковими трансформаторами такої ж потужності. В процесі експлуатації, звичайно ж, їх реальні дані (табл. 3.1) відрізняються від заводських. Оскільки термін їх експлуатації, не дивлячись на те, що повинен не перевищувати 30 років без капремонту, фактично значно його перевищує.

Таблиця 3.1 – Дані АТ ПС Центральна-330

Name		ATD11TH-200000/330			
Rated Power		Rated Voltage			
HV-Side	200.	MVA	HV-Side	330.	kV
MV-Side	200.	MVA	MV-Side	115.	kV
LV-Side	100.	MVA	LV-Side	38.5	kV
Vector Group					
HV-Side	YN	Phase Shift	11.	*30deg	
MV-Side	YN	Phase Shift	11.	*30deg	
LV-Side	D	Phase Shift	0.	*30deg	
Name	YN11yn11d0				
<small>Hint: The short-circuit voltages refer to the corresponding min. rated Powers e.g. uk(HV-MV) is referred to the minimum of Sr(HV) and Sr(MV)</small>					
Positive Sequence Impedance			Copper Losses		
Short-Circuit Voltage uk			Copper Losses		
HV-MV	10.5	%	HV-MV	560.	kW
MV-LV	25.	%	MV-LV	840.	kW
LV-HV	38.	%	LV-HV	840.	kW
Tap HV-Side			Magnetizing Impedance		
Add. Voltage per Tap	0.	%	Position	HV-Side	
Phase of du	0.	deg	No Load Current	0.45	%
Neutral Position	0		No Load Losses	155.	kW
Min. Position	0		Zero Sequence Magnetizing Impedance		
Max. Position	0		Position	HV-Side	
Tap MV-Side			No Load Current	0.45	%
Add. Voltage per Tap	2.	%	Mag. R/X	155.	
Phase of du	0.	deg			
Neutral Position	0				
Min. Position	-6				
Max. Position	6				

Продовження табл. 3.1 – Дані АТ ПС Центральна-330

<input checked="" type="checkbox"/> Automatic Tap Changing					
Tap Changer	discrete				
Controlled Node is at	MV	Phase	a		
Control Mode	V	Setpoint	local		
<input type="checkbox"/> Remote Control					
Voltage Setpoint	1.05	p.u.	Controller Time Constant	0.5	s
Lower Voltage Bound	1.04	p.u.	Line Drop Compensation (LDC)	none	
Upper Voltage Bound	1.06	p.u.			

У випадку розрахунку режиму без регулювання напруги, тобто без використання РПН автотрансформаторів, значення напруги показані на рис. 3.7.

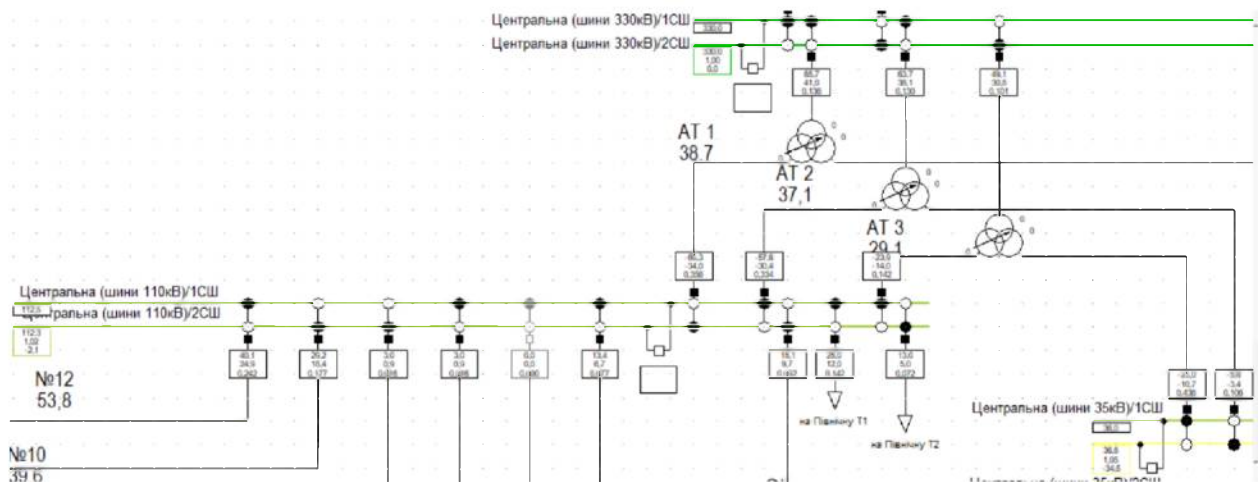


Рисунок 3.7 - Результати розрахунку режиму без РПН

За допомогою створеної моделі виконаємо розрахунок режиму з метою оцінки способів регулювання напруги.

Якщо змінюється напруга джерела живлення у допустимому діапазоні $\pm 10\% U_{nom}$, то є можливість регулювання напруги за допомогою РПН. Як добре відомо, є два варіанти РПН автотрансформатора. Перший, коли регулювання напруги виконується лише на стороні середньої обмотки автотрансформатора, так як РПН встановлено на лінійному виводі СН.

Результати розрахунків з шагом дискретності регулювання 0,05 в.о. зведені у табл. 3.2. Фактичні коефіцієнти трансформації:

$$k_{sc} = \frac{U_{e,nom}}{U_{c,nom} \cdot (1 \pm n_{sc AT})} = \text{var}$$

$$k_{sh} = \frac{U_{e,nom}}{U_{h,nom}} = \text{const}$$

Таблиця 3.2 – Результати розрахунків напруги для ПС Центральна (1 варіант)

	$U_{\partial sc}$ в.о.	$U_{1CIII\ 110kB}$ кВ	$U_{2CIII\ 110kB}$ кВ	$n_{sc AT}$ кВ	$U_{1CIII\ 35kB}$ кВ	$U_{2CIII\ 35kB}$ кВ
1,10	363,0	114,5	114,4	-3	40,2	40,8
1,05	346,5	116,0	115,9	-1	38,1	38,8
1,00	330,0	117,0	116,8	1	36,0	36,8
0,95	313,5	114,9	114,7	5	33,8	34,8
0,90	297,0	112,4	112,2	6	31,7	32,7

Другий технічний варіант виконання РПН автотрансформатора – це спільна нейтраль обмотки високої напруги. Регулюється, як напруга середньої, так і низької напруги. Але при протилежних вимогах щодо регулювання напруги немає можливості їх одночасно забезпечувати. Розрахунки зведені у табл. 3.3. Фактичні коефіцієнти трансформації:

$$k_{sc} = \frac{U_{e,nom} \cdot (1 \pm n_{sc AT})}{U_{c,nom}} = \text{var}$$

$$k_{sh} = \frac{U_{e,nom} \cdot (1 \pm n_{sh AT})}{U_{h,nom}} = \text{var}$$

Таблиця 3.3 – Результати розрахунків напруги для ПС Центральна (2 варіант)

$U_{\partial \omega}$	$U_{1CIII\ 110\text{ }kV}$	$U_{2CIII\ 110\text{ }kV}$	$n_{\text{эл}\partial\omega\ AT}$	$U_{1CIII\ 35\text{ }kV}$	$U_{2CIII\ 35\text{ }kV}$	
B.O.	kB	kB	kB	kB	kB	
1,10	363,0	115,3	115,2	4	37,0	37,8
1,05	346,5	114,0	113,9	1	36,5	37,3
1,00	330,0	117,2	117,0	1	37,6	38,4
0,95	313,5	115,8	115,5	4	37,1	37,9
0,90	297,0	114,2	113,9	6	36,6	37,4

Висновок: РПН в нейтралі ВН автотрансформатора є для даної схеми і даного навантаження більш доцільним. Але фактично на сучасних автотрансформаторах РПН встановлено на лінійному виводі обмотки СН. Ось цей варіант й буде остаточно розглянутися в наступних дослідженнях.

Згідно табл. 3.2 при напрузі на шинах 330 кВ рівній номінальній, РПН АТ буде на 1 відгалуженні. Більш детальні розрахунки показані на рис. 3.7.

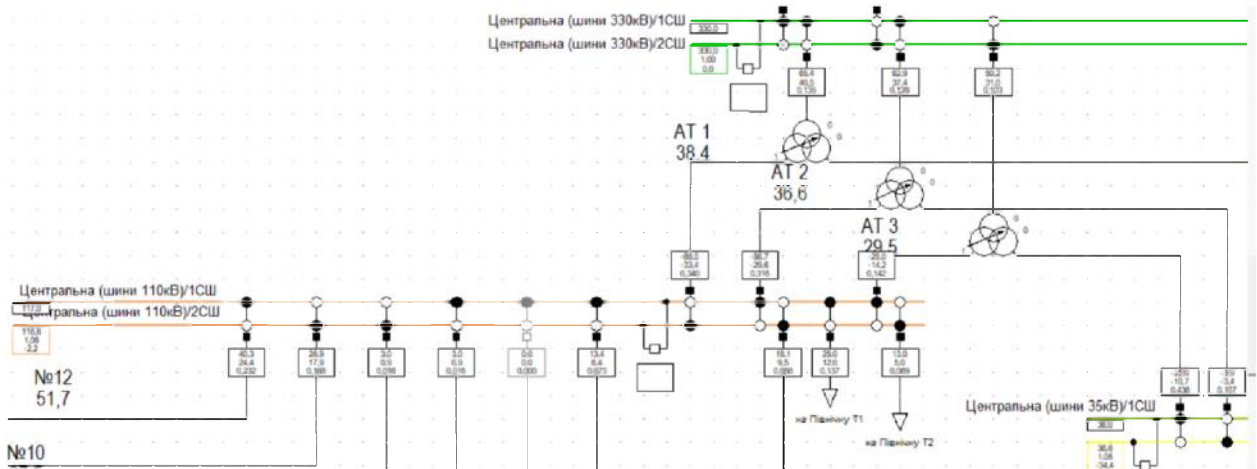


Рисунок 3.7 - Результати розрахунку режиму з РПН

Для мережі, яка розглядалася у роботі, з метою оптимізації роботи в програмі була створена база даних. Вона показана на рис. 3.8.

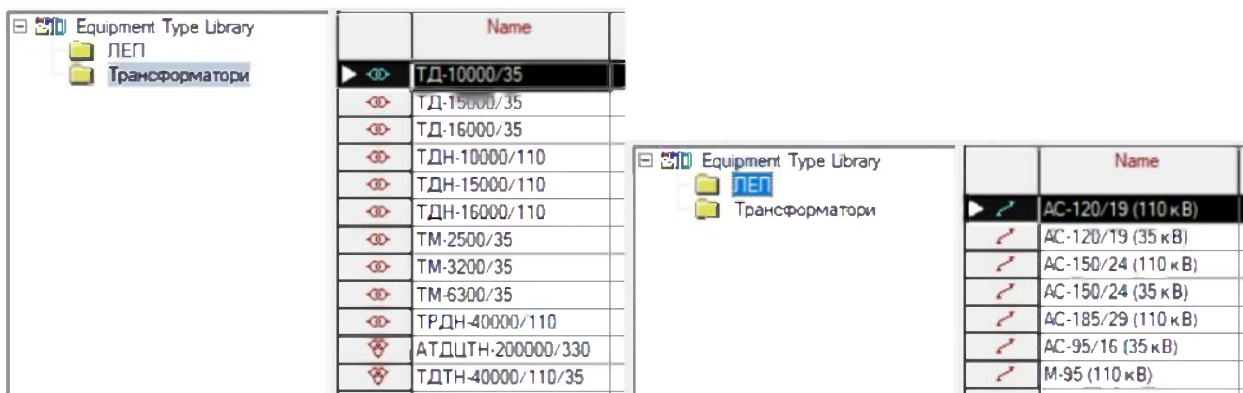


Рисунок 3.8 – Каталог обладнання мережі 330/110/35

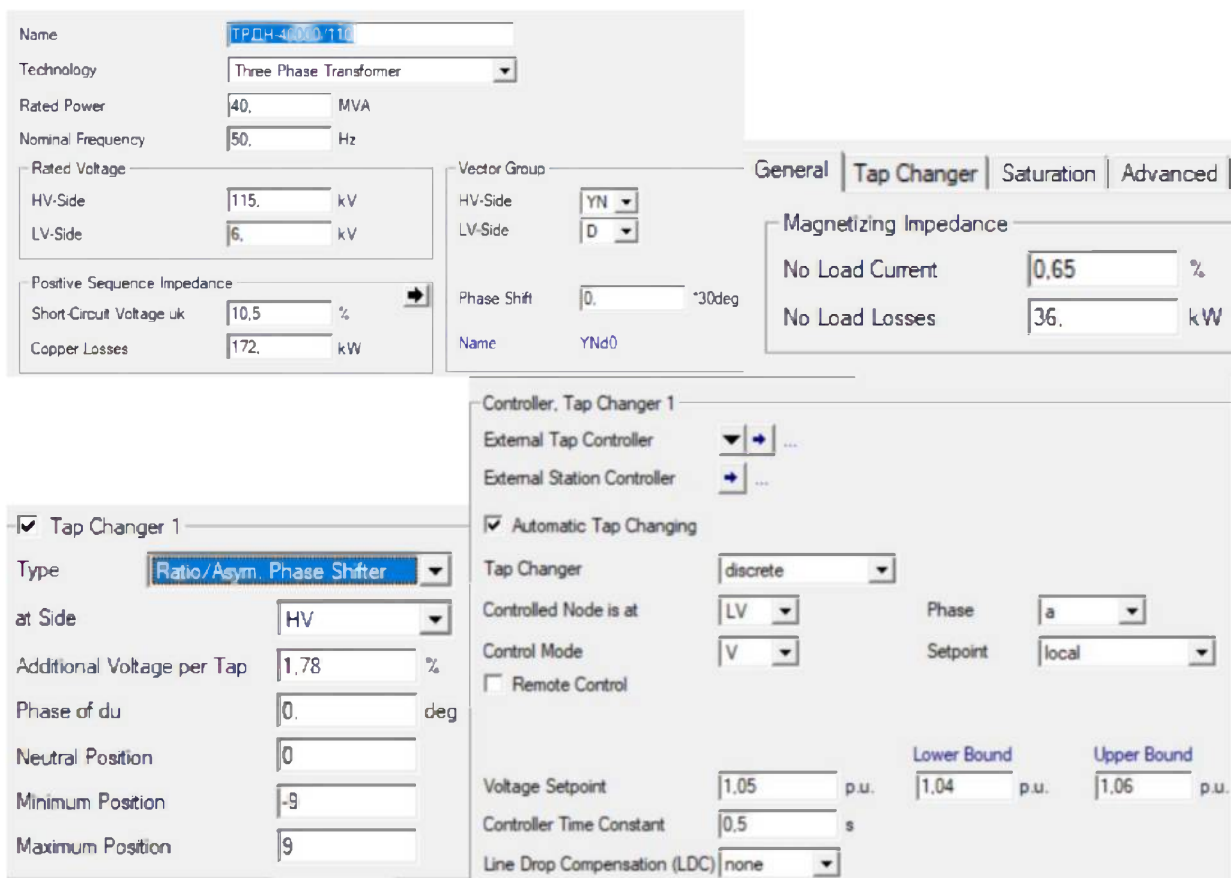


Рисунок 3.9 – Для ПС Шахтна-110 (Т1, Т2)

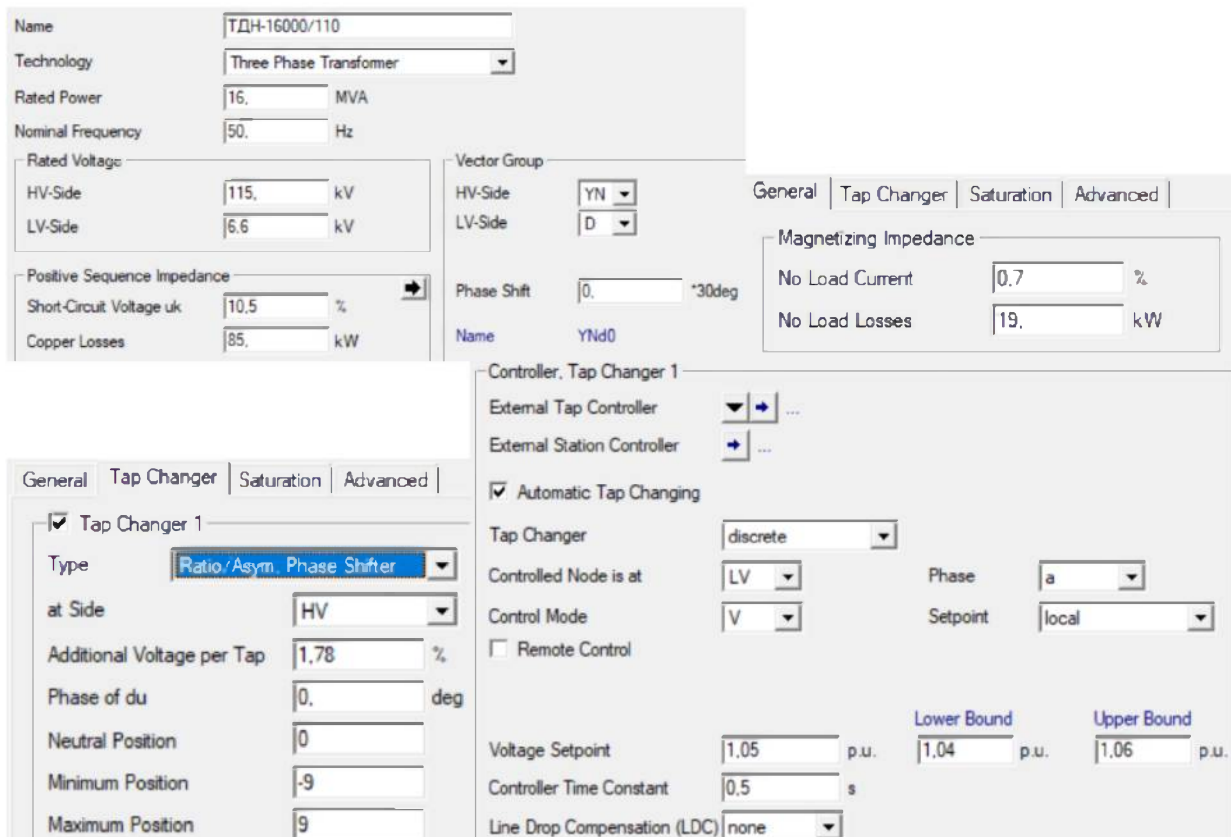


Рисунок 3.10 – Для ПС Скотовата-110 (Т1, Т2 - відключений)

Такі ж параметри, як Т1 ПС Скотовата-110, використовуються в моделі для силових трансформаторів ПС Костянтинівка Тягова-110 (Т1, Т2 – ТДН-16000/110), ПС Будівельник-110 (Т1, Т2 – ТДН-16000/110), ПС Діліївка Тягова-110 (Т2 – ТДН-16000/110).

Перший трансформатор ПС Діліївка Тягова-110 старого типу ТДН-15000/110, його параметри – рис. 3.15.

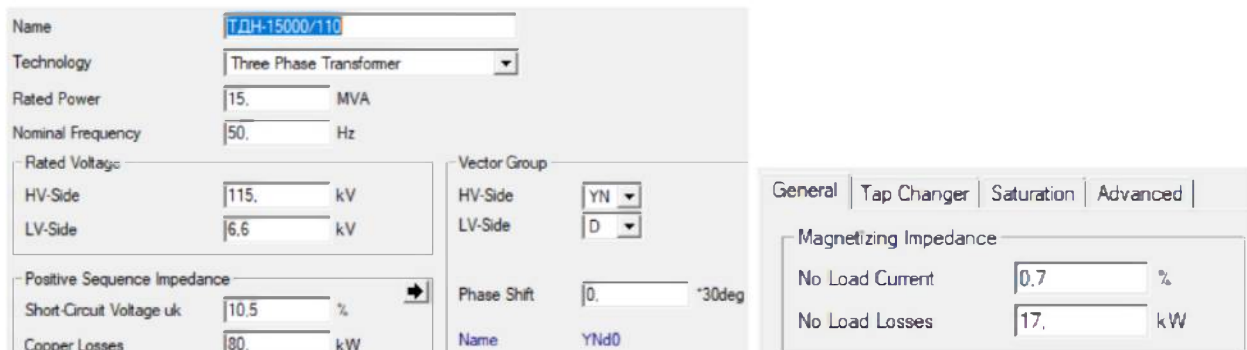
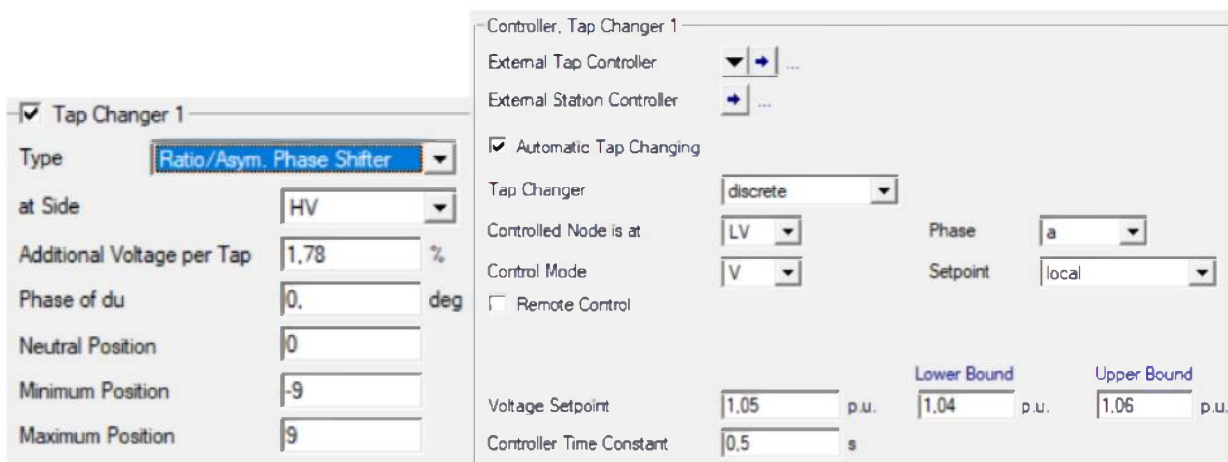


Рисунок 3.15 – Для ПС Діліївка Тягова-110 (Т1)



Продовження рисунку 3.15 – Для ПС ДіліївкаТягова-110 (Т1)

Мережа 35 кВ – з двобічним живленням. Перше джерело – шини 35 кВ ПС Центральна. Друге джерело – від шин 110 кВ ПС Центральна-330, спочатку до ПС Щербинівка-110, а потім через триобмотковий трансформатор (рис. 3.16) до шин 35 кВ.

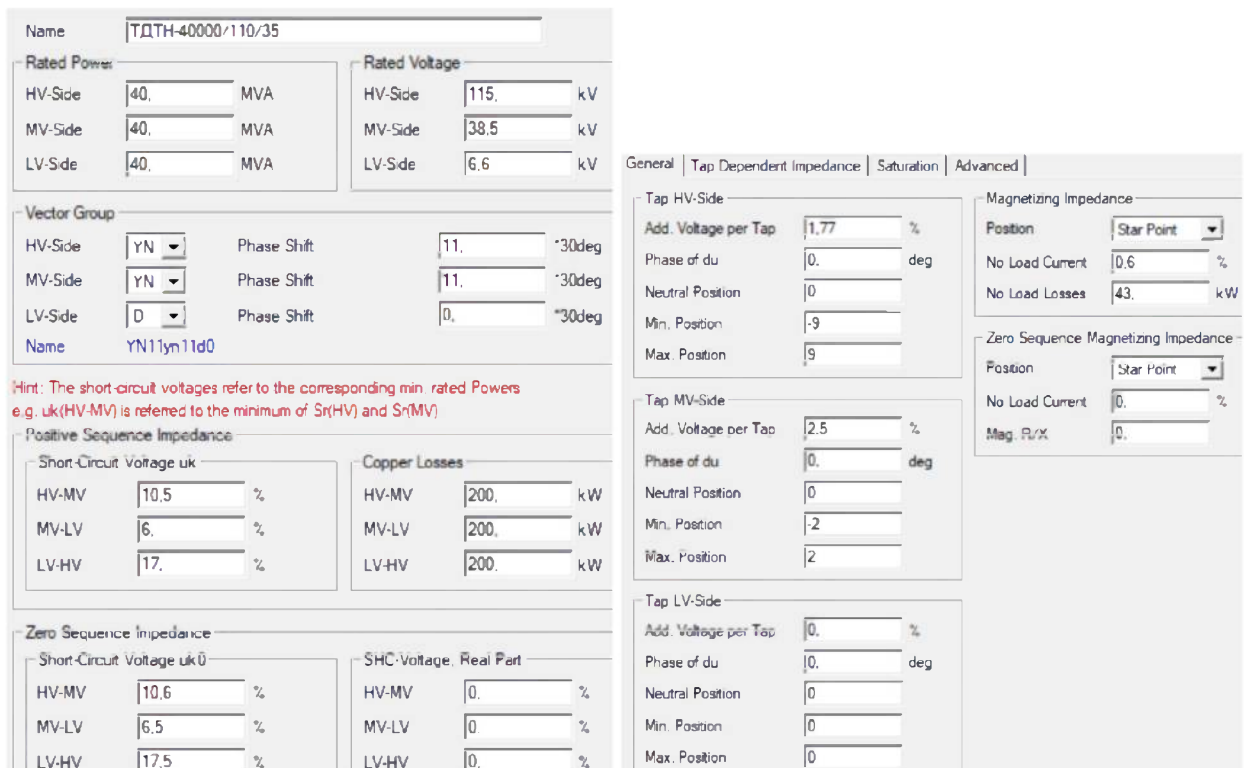
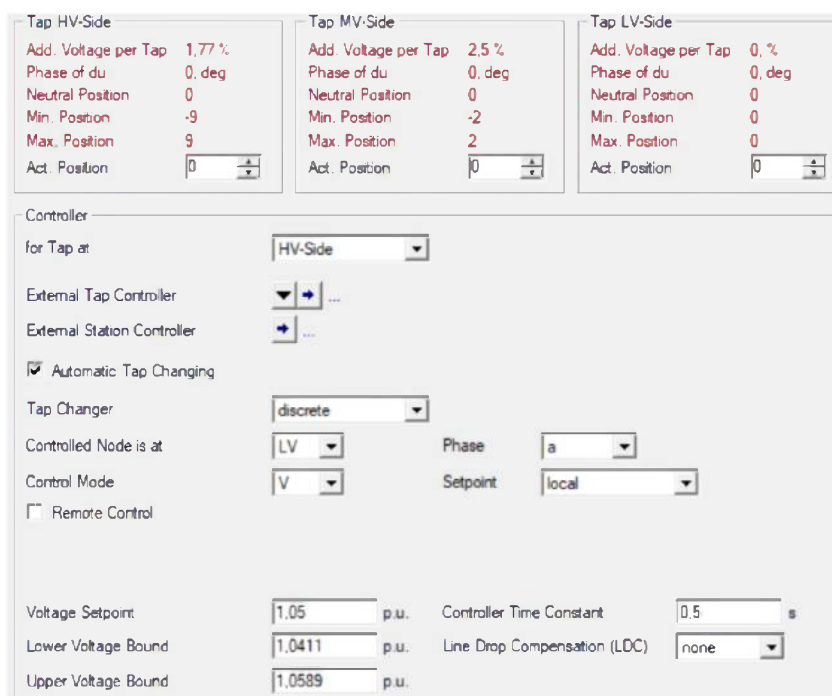


Рисунок 3.16 – Для ПС Щербинівка-110/35



Продовження рисунку 3.16 – Для ПС Щербинівка-110/35

На ПС Костянтинівка встановлені такі ж триобмоткові трансформатори типу ТДТН-40000/110/35.

В мережі 35 кВ три підстанції – ПС НовоДзержинка-35 (рис. 3.17 – 3.18), ПС КлебанБик-35(рис. 3.19 – 3.20), ПС Зрошення-35 (рис. 3.21).

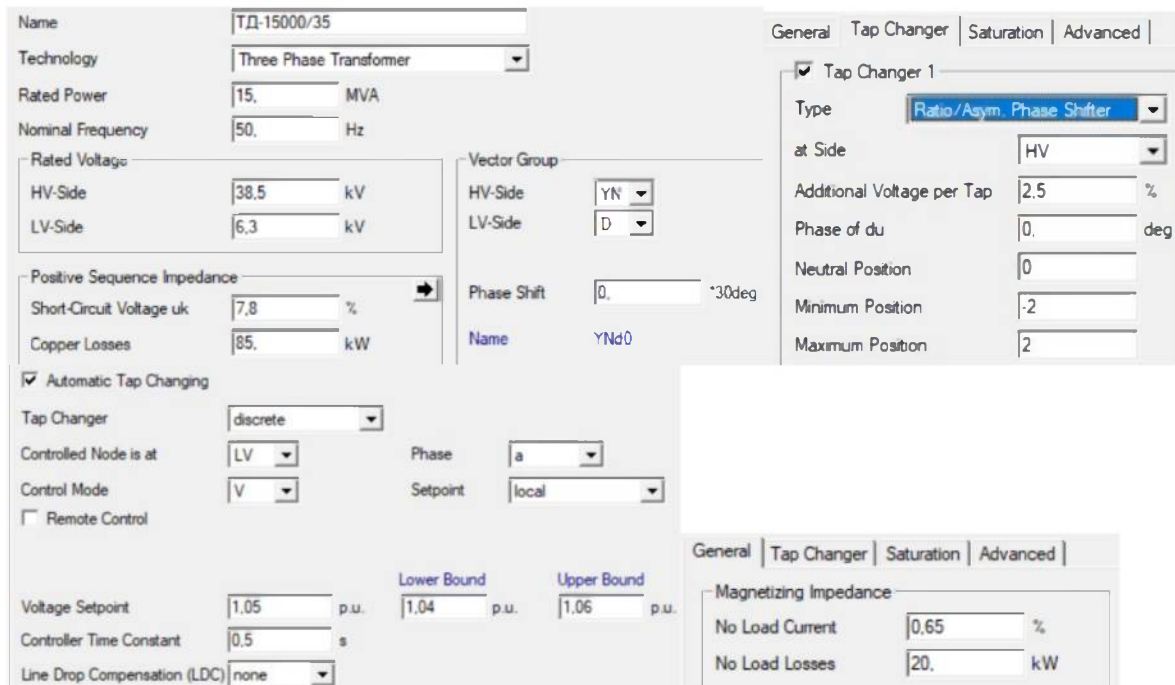


Рисунок 3.17 – Для ПС НовоДзержинка-35 (Т1)

Name	ТД-10000/35		
Technology	Three Phase Transformer		
Rated Power	10.	MVA	
Nominal Frequency	50.	Hz	
Rated Voltage			
HV-Side	38.5	kV	
LV-Side	6.3	kV	
Positive Sequence Impedance			
Short-Circuit Voltage uk	7.5	%	
Copper Losses	65.	kW	
Vector Group			
HV-Side	YN		
LV-Side	D		
Phase Shift	0.	*30deg	
Name	YNd0		
Tap Changer 1 <input checked="" type="checkbox"/> Tap Changer 1 Type: Ratio/Asym. Phase Shifter at Side: HV Additional Voltage per Tap: 2.5 % Phase of du: 0. deg Neutral Position: 0 Minimum Position: -2 Maximum Position: 2			
Controller, Tap Changer 1 External Tap Controller: <input type="button" value="..."/> External Station Controller: <input type="button" value="..."/> <input checked="" type="checkbox"/> Automatic Tap Changing Tap Changer: discrete Controlled Node is at: LV Control Mode: V <input type="checkbox"/> Remote Control Phase: a Setpoint: local Lower Bound: 1.04 p.u. Upper Bound: 1.06 p.u. Voltage Setpoint: 1.05 p.u. Controller Time Constant: 0.5 s Line Drop Compensation (LDC): none			
Magnetizing Impedance No Load Current: 0.8 % No Load Losses: 14.5 kW			

Рисунок 3.18 – Для ПС НовоДзержинка-35 (Т2)

Name	TM-6300/35		
Technology	Three Phase Transformer		
Rated Power	6.3	MVA	
Nominal Frequency	50.	Hz	
Rated Voltage			
HV-Side	35.	kV	
LV-Side	6.3	kV	
Positive Sequence Impedance			
Short-Circuit Voltage uk	7.5	%	
Copper Losses	46.5	kW	
Vector Group			
HV-Side	YN		
LV-Side	D		
Phase Shift	0.	*30deg	
Name	YNd0		
Tap Changer 1 <input checked="" type="checkbox"/> Tap Changer 1 Type: Ratio/Asym. Phase Shifter at Side: HV Additional Voltage per Tap: 1.5 % Phase of du: 0. deg Neutral Position: 0 Minimum Position: -6 Maximum Position: 6			
Controller, Tap Changer 1 External Tap Controller: <input type="button" value="..."/> External Station Controller: <input type="button" value="..."/> <input checked="" type="checkbox"/> Automatic Tap Changing Tap Changer: discrete Controlled Node is at: LV Control Mode: V <input type="checkbox"/> Remote Control Phase: a Setpoint: local Lower Bound: 1.04 p.u. Upper Bound: 1.06 p.u. Voltage Setpoint: 1.05 p.u. Controller Time Constant: 0.5 s Line Drop Compensation (LDC): none			
Magnetizing Impedance No Load Current: 0.9 % No Load Losses: 9.2 kW			
General Tap Changer Saturation Advanced 			

Рисунок 3.19 – Для ПС КлебанБик-35 (Т1)

Name	TM-3200/35		
Technology	Three Phase Transformer		
Rated Power	3.2 MVA		
Nominal Frequency	50. Hz		
Rated Voltage		Vector Group	
HV-Side	35. kV	HV-Side	YN
LV-Side	6.3 kV	LV-Side	D
Positive Sequence Impedance		Phase Shift	
Short-Circuit Voltage uk	7.5 %	Phase Shift	0. *30deg
Copper Losses	32. kW	Name	YNd0
Controller, Tap Changer 1			
External Tap Controller	<input type="button" value="..."/>		
External Station Controller	<input type="button" value="..."/>		
<input checked="" type="checkbox"/> Automatic Tap Changing			
Tap Changer	discrete		
Controlled Node is at	HV	Phase	a
Control Mode	V	Setpoint	local
<input type="checkbox"/> Remote Control			
General		Tap Changer	
Saturation		Advanced	
Magnetizing Impedance			
No Load Current	1.1 %		
No Load Losses	8.2 kW		
Voltage Setpoint	1.05 p.u.	Lower Bound	1.0425 p.u.
Controller Time Constant	0.5 s	Upper Bound	1.0575 p.u.
Line Drop Compensation (LDC)	none		

Рисунок 3.20 – Для ПС КлебанБик-35 (Т2)

Name	TM-2500/35		
Technology	Three Phase Transformer		
Rated Power	2.5 MVA		
Nominal Frequency	50. Hz		
Rated Voltage		Vector Group	
HV-Side	35. kV	HV-Side	YN
LV-Side	6.3 kV	LV-Side	D
Positive Sequence Impedance		Phase Shift	
Short-Circuit Voltage uk	6.5 %	Phase Shift	0. *30deg
Copper Losses	23.5 kW	Name	YNd0
<input checked="" type="checkbox"/> Automatic Tap Changing			
Tap Changer	discrete		
Controlled Node is at	LV	Phase	a
Control Mode	V	Setpoint	local
<input type="checkbox"/> Remote Control			
General		Tap Changer	
Saturation		Advanced	
Magnetizing Impedance			
No Load Current	1.1 %		
No Load Losses	5.1 kW		
Voltage Setpoint	1.05 p.u.	Lower Bound	1.0425 p.u.
Controller Time Constant	0.5 s	Upper Bound	1.0575 p.u.

Рисунок 3.21 – Для ПС Зрошення-35 (Т2)

Для ЛЕП номінальною напругою 110 кВ задаються наступні параметри – с, 35 кВ – рис. 3.23.

Name	AC-185/29 (110 кВ)
Rated Voltage	110. kV
Rated Current	0.51 kA
Nominal Frequency	50. Hz
Cable / OHL	Overhead Line
System Type	AC
Phases	3
Number of Neutrals	0
Parameters per Length 1,2-Sequence	
AC-Resistance R(20°C)	0.162 Ohm/km
Reactance X'	0.413 Ohm/km
Parameters per Length Zero Sequence	
AC-Resistance R0'	0.162 Ohm/km
Reactance X0'	1.239 Ohm/km
Parameters per Length 1,2-Sequence	
Max. Operational Temperature	80. degC
AC-Resistance R'(20°C)	0.162 Ohm/km
Conductor Material	Aluminium
Parameters per Length Zero Sequence	
Susceptance B'	2.75 uS/km
Ins. Factor	0.
Parameters per Length Zero Sequence	
Susceptance B0'	0. uS/km
Ins. Factor	0.

Рисунок 3.22 – Приклад визначення параметрів ЛЕП 110 кВ

Name	AC-150/24 (35 кВ)
Rated Voltage	35. kV
Rated Current	0.45 kA
Nominal Frequency	50. Hz
Cable / OHL	Overhead Line
System Type	AC
Phases	3
Number of Neutrals	0
Parameters per Length 1,2-Sequence	
AC-Resistance R(20°C)	0.198 Ohm/km
Reactance X'	0.405 Ohm/km
Parameters per Length Zero Sequence	
AC-Resistance R0'	0. Ohm/km
Reactance X0'	0. Ohm/km
Parameters per Length 1,2-Sequence	
Max. Operational Temperature	80. degC
AC-Resistance R'(20°C)	0.198 Ohm/km
Conductor Material	Aluminium
Parameters per Length Zero Sequence	
Susceptance B'	0. uS/km
Ins. Factor	0.
Parameters per Length Zero Sequence	
Susceptance B0'	0. uS/km
Ins. Factor	0.

Рисунок 3.23 – Приклад визначення параметрів ЛЕП 35 кВ

Далі виконую аналіз режимних параметрів (табл. 3.4): струмів – для оцінки нагріву проводів (табл. 3.5), напруги – для оцінки відхилення напруги (табл. 3.6).

Таблиця 3.4 – Режимні параметри для мережі 330/110/35 кВ

Load Flow Calculation								Complete System Report: Substations, Voltage Profiles, Grid Interchange									
AC Load Flow, balanced, positive sequence Automatic Tap Adjust of Transformers Consider Reactive Power Limits				Yes No				Automatic Model Adaptation for Convergence Max. Acceptable Load Flow Error for Nodes Model Equations				No 1,00 kVA 0,10 %					
rated Voltage [kV]		Bus-voltage [kV] [p.u.]		Active Power [MW]		Reactive Power [Mvar]		Power Factor [-]		Current [kA]		Loading [%]		Additional Data			
Single Busbar(1)																	
PН 6кВ	6,00	1,05	6,33	-40,30													
Cub_1 /Lod	Нав Зромн				0,80	0,30	0,94	0,08		IP10:	0,80	MW	Q10:	0,30	Mvar		
Cub_1 /Tx2	T1 (Зромн)				-0,80	-0,30	-0,94	0,08	35,70	ITap:	-2,00		Min:	-6	Max:	6	
Single Busbar																	
CМ 35,00	0,99	34,48	-39,21														
Cub_1 /Line	№4				10,85	4,72	0,92	0,20	44,03	IPv:	19,55	kW	cLod:	0,00	Mvar L:	0,84	kvar
Cub_1 /Line	№5				-11,66	-5,06	-0,92	0,21	47,30	IPv:	318,69	kW	cLod:	0,00	Mvar L:	11,84	kvar
Cub_1 /Tx2	T1 (Зромн)				0,81	0,35	0,92	0,01	35,70	ITap:	-2,00		Min:	-6	Max:	6	
Будівельний РН 110кВ																	
2 СМ 110,00	1,04	114,30	-2,93														
Cubicle/Coup	CBS																
Cub_1 /Line	№21				-9,36	-6,54	-0,82	0,06	14,79	IPv:	0,10	kW	cLod:	0,00	Mvar L:	0,04	kvar
Cub_1 /Tx2	T2 (Буд)				9,36	6,54	0,82	0,06	71,80	ITap:	0,00		Min:	-9	Max:	9	
1 СМ 110,00	1,04	114,57	-2,93														
Cubicle/Coup	CBS																
Cub_1 /Line	№16				-7,44	-3,45	-0,91	0,04	10,60	IPv:	7,71	kW	cLod:	0,21	Mvar L:	6,11	kvar
Cub_1 /Tx2	T1 (Буд)				7,44	3,45	0,91	0,04	51,44	ITap:	1,00		Min:	-9	Max:	9	
Димітровка Тар РН 110кВ																	
2 СМ 110,00	1,05	115,33	-2,65														
Cubicle/Coup	CBS																
Cub_1 /Line	№14				-16,00	-10,50	-0,83	0,10	24,85	IPv:	42,39	kW	cLod:	0,22	Mvar L:	6,08	kvar
Cub_1 /Tx2	T2 (Дим)				9,26	7,61	0,77	0,06	74,70	ITap:	0,00		Min:	-9	Max:	9	
1 СМ 110,00	1,05	115,33	-2,65														
Cubicle/Coup	CBS																
Cub_1 /Line	№11				-6,74	-3,29	-0,90	0,04	0,00	IPv:	0,00	kW	cLod:	0,22	Mvar L:	6,11	kvar
Cub_1 /Tx2	T1 (Дим)				6,74	3,29	0,90	0,04	49,83	ITap:	1,00		Min:	-9	Max:	9	
Димітровка Тар РН 6кВ																	
2 СМ 6,00	1,07	6,41	-6,01														
Cub_1 /Lod	Нав Димітровка T2				9,20	6,60	0,81	1,02		IP10:	9,20	MW	Q10:	6,60	Mvar		
Cubicle/Coup	CBS																
Cub_1 /Tx2	T2 (Дим)				-9,20	-6,60	-0,81	1,02	74,70	ITap:	0,00		Min:	-9	Max:	9	
1 СМ 6,00	1,08	6,46	-5,33														
Cub_1 /Lod	Нав Димітровка T1				6,70	2,80	0,82	0,65		IP10:	6,70	MW	Q10:	2,80	Mvar		
Cubicle/Coup	CBS																
Cub_1 /Tx2	T1 (Дим)				-6,70	-2,80	-0,82	0,65	49,83	ITap:	1,00		Min:	-9	Max:	9	
Київські Енк РН 35кВ																	
1 СМ 35,00	0,98	34,38	-39,35														
Cubicle/Coup	CBS																
Cub_1 /Line	№3				-10,83	-4,68	-0,92	0,20	0,00	IPv:	61,63	kW	cLod:	0,00	Mvar L:	2,90	kvar
Cub_1 /Tx2	T1 (Київ)				8,12	4,03	0,90	0,15	46,11	ITap:	-2,00		Min:	-6	Max:	6	
2 СМ 35,00	0,98	34,38	-39,35														
Cubicle/Coup	CBS																
Cub_1 /Line	№4				-10,83	-4,68	-0,92	0,20	44,03	IPv:	19,55	kW	cLod:	0,00	Mvar L:	0,84	kvar
Cub_1 /Tx2	T2 (Київ)				0,00	0,00	1,00	0,00	0,00	ITap:	0,00		Min:	-6	Max:	6	
Київські Енк РН 6кВ																	
1 СМ 6,00	1,05	6,32	-41,12														
Cub_1 /Lod	Нав Київ T1				1,20	0,30	0,97	0,11		IP10:	1,20	MW	Q10:	0,30	Mvar		
Cubicle/Coup	CBS																
Cub_1 /Tx2	T1 (Київ)				1,50	0,20	0,99	0,14	0,00	ITap:	-2,00		Min:	-6	Max:	6	
2 СМ 6,00	1,05	6,32	-41,12														
Cub_1 /Lod	Нав Київ T2				-2,70	-0,50	-0,98	0,25	45,15	ITap:	0,00		Min:	-6	Max:	6	
Cubicle/Coup	CBS																
Cub_1 /Tx2	T2 (Київ)				1,50	0,20	0,99	0,14		IP10:	1,50	MW	Q10:	0,20	Mvar		
Костянтинівка Тар РН 110кВ																	
2 СМ 110,00	1,04	114,44	-2,93														
Cubicle/Coup	CBS																
Cub_1 /Line	№19				-15,41	-8,67	-0,88	0,09	0,00	IPv:	4,72	kW	cLod:	0,15	Mvar L:	4,30	kvar
Cub_1 /Tx2	T1 (2)				5,95	2,99	0,92	0,04	9,96	ITap:	0,00		Min:	-9	Max:	9	
1 СМ 110,00	1,04	114,44	-2,93														
Cubicle/Coup	CBS																
Cub_1 /Line	№18				16,41	8,67	0,98	0,09	0,00	IPv:	186,82	kW	cLod:	0,47	Mvar L:	13,20	kvar
Cub_1 /Tx2	T2 (2)				-23,80	-13,57	-0,87	0,14	35,44	ITap:	0,00		Min:	-9	Max:	9	
Костянтинівка Тар РН 6кВ																	
1 СМ 6,00	1,07	6,44	-6,42														
Cub_1 /Lod	Нав Костянтинівка T2				9,40	4,80	0,89	0,55		IP10:	9,40	MW	Q10:	4,80	Mvar		
Cubicle/Coup	CBS																
Cub_1 /Tx2	T1 (2)				-9,40	-4,80	-0,89	0,55	69,29	ITap:	0,00		Min:	-9	Max:	9	
1 СМ 6,00	1,08	6,47	-5,63														
Cub_1 /Lod	Нав Костянтинівка T2				7,35	4,29	0,86	0,76		IP10:	7,35	MW	Q10:	4,29	Mvar		
Cubicle/Coup	CBS																
Cub_1 /Tx2	T2				-7,35	-4,29	-0,86	0,76	55,70	ITap:	0,00		Min:	-9	Max:	9	
Н.Дзвиржинська РН 35кВ																	
1 СМ 35,00	0,97	34,03	-39,66														
Cubicle/Coup	CBS																
Cub_1 /Line	№3				4,23	2,06	0,90	0,08	0,00	IPv:	61,63	kW	cLod:	0,00	Mvar L:	2,90	kvar
Cub_1 /Tx2	T1 (Н.Дз)				-8,05	-3,55	-0,90	0,15	46,11	ITap:	-2,00		Min:	-2	Max:	2	
2 СМ 35,00	0,97	34,03	-39,66														
Cubicle/Coup	CBS																
Cub_1 /Line	№2				-4,23	-2,06	-0,90	0,08	0,00	IPv:	0,00	kW	cLod:	0,00	Mvar L:	8,82	kvar
Cub_1 /Tx2	T2 (Н.Дз)				-0,00	-1,00	0,00	0,00	0,00	ITap:	-2,00		Min:	-2	Max:	2	
Н.Дзвиржинська РН 6кВ																	
1 СМ 6,00	0,96	5,79	-40,94														
Cub_1 /Lod	Нав Н.Дз T1				3,80	1,70	0,91	0,42		IP10:	3,80	MW	Q10:	1,70	Mvar		
Cubicle/Coup	CBS																
Cub_1 /Tx2	T1 (Н.Дз)				-3,80	-1,70	-0,91	0,42	32,18	ITap:	-2,00		Min:	-2	Max:	2	

Продовження табл. 3.4 – Режимні параметри для мережі 330/110/35 кВ

Продовження табл. 3.4 – Режимні параметри для мережі 330/110/35 кВ

Таблиця 3.5 – Рівень напруги для мережі 330/110/35 кВ

Продовження табл. 3.5 – Рівень напруги для мережі 330/110/35 кВ

Підстанція Р035											
1СІІ	35,00	0,000	0,00	0,00		<=====					>>>>>>>>>>>>
2СІІ	35,00	1,085	37,96	-4,64							
Підстанція											
1СІІ	110,00	0,000	0,00	0,00		<=====					>>>>>>>>>
2СІІ	110,00	1,058	116,40	-2,35							
110 кВ											
НН	110,00	1,040	114,35	-2,98							>>>>>>
СН	6,00	1,074	6,44	-36,41							>>>>>>>>>>>
	35,00	1,078	37,72	-5,86							>>>>>>>>>>>

Таблиця 3.6 – Сумарні втрати потужності для мережі 330/110/35 кВ

Volt. Level [kV]	Generation [MW] / [Mvar]	Motor Load [MW] / [Mvar]	Load [MW] / [Mvar]	Compen- sation [MW] / [Mvar]	External Infeed [MW] / [Mvar]	Interchange to 35,00 kV	Power Interchange [MW] / [Mvar]	Load Losses [MW] / [Mvar]		No load Losses [MW] / [Mvar]
								Interchange to 110,00 kV	Total Losses [MW] / [Mvar]	
6,00	0,00 0,00	0,00 0,00	100,15 45,13	0,00 0,00	0,00 0,00			0,00 0,00 0,14 -34,56 -13,53	0,00 0,00 1,22 0,41	0,00 0,00 0,76 0,25
								110,00 35,00 kV	-65,52 -35,66	1,57
35,00	0,00 0,00	0,00 0,00	37,48 18,51	0,00 0,00	0,00 0,00			0,40 0,78 0,14 14,75 1,22	0,40 0,78 0,06 0,76	0,00 0,00 0,09 0,46
								110,00 330,00 kV	-161,73 -69,20 91,65 35,23	0,27 10,66 0,23 1,33
110,00	0,00 0,00	0,00 0,00	38,00 17,00	0,00 0,00	0,00 0,00			0,95 -2,37 0,67 65,81 42,13 35,00 330,00 kV	0,95 -2,37 1,94 0,41 0,25 6,77 5,19 0,86 0,59 0,27 12,21 10,66 0,41 0,23	-0,00 -4,32 0,25 1,57 1,56 1,33
								35,00 110,00 330,00 kV	-92,68 -46,49 281,31 158,15	0,00 0,00 11,26 9,93 1,33
330,00	0,00 0,00	0,00 0,00	0,00 0,00	0,00 0,00	178,42 108,86			0,00 0,00 1,03 0,79 0,23 11,26 9,93 1,33	0,00 0,00 0,79 0,41 0,23 12,64	0,00 0,00 0,23 0,23 1,33
Total:	0,00 0,00	0,00 0,00	175,63 85,10	0,00 0,00	178,42 108,86			0,00 0,00 2,79 0,64 0,41 13,97	2,79 0,64 1,98 0,41 0,23 23,38	0,80 0,23 0,38

Густота струму (табл. 3.7), як відомо, – це відношення струму до перетину проводів з урахуванням кількості ланцюгів:

$$j_{pozr} = \frac{I_{pozr}}{F_{cm} \cdot n_{kit}}$$

Вимоги до неізольованих проводів, які застосовуються й експлуатуються в мережі, наведені у п. 1.3.15-1.3.39.

Таблиця 3.7 – Перевірка щільності струму

Назва ділянки	Розрахунковий струм кА	Стандартний перетин мм ²	Кількість кіл ЛЕП -	Розрахункова щільність А/мм ²	Рекомендована щільність А/мм ²
110 кВ					
ПС Центральна – Щербинівка	0,139	185	1	0,75	0,8
ПС Центральна – Скотовата-Т1	0,066	120	1	0,55	0,8
ПС Центральна – Скотовата-Т2	-	120	1	0	0,8
ПС Центральна – Шахтна-Т1	0,084	120	1	0,7	0,8
ПС Центральна – Шахтна-Т2	0,052	120	1	0,43	0,8
ПС Центральна – Диліївка Тяг-Т2	0,234	150	1	1,56	0,8
	0,234	95	1	2,46	1,9
	0,097	120	1	0,81	0,8
ПС Центральна – Диліївка Тяг-Т1	0,168	150	1	1,12	0,8
	-	120	1	0	0,8
Відг.1 – Костянтинівка Тяг Т2	0,138	120	1	1,15	0,8
Костянтинівка Тяг Т1 – відг.2 (М)	0,039	120	1	0,33	0,8
	0,039	95	1	0,41	1,9
Відг.2 – Будівельник Т2	0,058	120	1	0,48	0,8
Відг.2 – Костянтинівка 110 (М)	0,020	95	1	0,21	1,9
Диліївка Тяг-Т1 – відг. 3 (М)	0,169	95	1	1,78	0,8
Відг. 3 – Костянтинівка 110	0,130	150	1	0,87	0,8
Відг. 3 – Будівельник Т2	0,041	120	1	0,34	0,8

Назва ділянки	Розрахунковий струм кА	Стандартний перетин мм ²	Кількість кіл ЛЕП -	Розрахункова щільність А/мм ²	Рекомендована щільність А/мм ²
35 кВ					
ПС Щербинівка – Н.Дзержика-Т2	0	95	1	0	0,8
ПС Центральна – Зрошення	0,214	150	1	1,43	0,8
Зрошення – КлебанБик-Т2	0,199	150	1	1,33	0,8
КлебанБик-Т1 – Н.Дзержика-Т1	0,153	150	1	1,02	0,8

Густина струмів неізольованих проводів повітряних ЛЕП напругою 6-220 кВ не повинні, як відомо, перевищувати значень, які визначаються табл. 1.3.50 діючим стандартом [4].

$$j_{rozr} \leq j_{don}$$

Допустиме значення визначається як часом максимального навантаження (у роботі мною приймається більшим 5000 годин), так і матеріалом струмопровідної частини (якщо алюміній, то 0,8 А/мм², у випадку міді 1,9 А/мм²).

Підвищення пропускної здатності ЛЕП можна двома шляхами: або реконструкція шляхом заміни проводів на більший перетин, або оперативні переключення шляхом зміни потоків потужності.

Перший шлях є більш затратний, другий – здатний досягти мети без значних витрат. Він розглянутий буде наступним.

3.2 Аналіз отриманих результатів

Аналізуючи дані розділу 3.1 в математичній моделі, побудованій на підставі рис. 3.2-3.3, виконуються наступні переключення:

- 1) ПС Скотовата-110, вимикач 110 кВ в колі Т2 включається, перемичка 110кВ у нормальному режимі розімкнена;
 - 2) ПС ДиліївкаТяг-110, вимикач 110 кВ в колі ЛЕП до 1с.ш. включається, перемичка 110кВ у нормальному режимі розімкнена.

Розрахунки повторюються – рис. 3.24, її аналізуються – табл. 3.8-3.9.

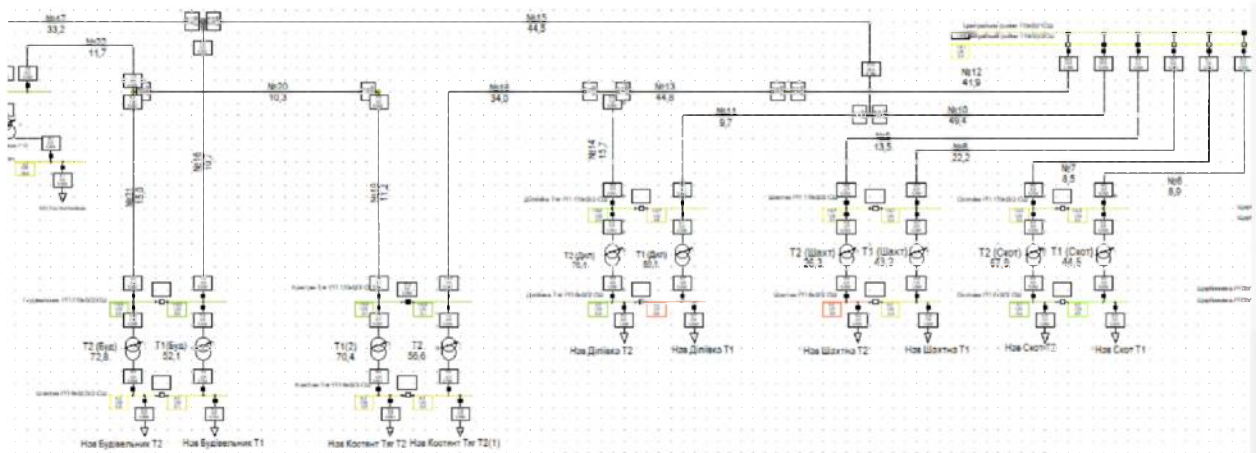


Рисунок 3.24 - Зміни оперативної схеми

Таблиця 3.8 – Розрахунок струмів ЛЕП

Продовження табл. 3.8 – Розрахунок струмів ЛЕП

Шахтна РН 6кВ									
2 СМ 6,00	1,02	6,09	-9,15						
Cub_1 /Lod	Нас. Н.Дз Т2		4,20	1,80	0,92	0,43			
Cubicle/Coupl	CBS								
Cub_1 /Tr2	T2 (Н.Дз)		-4,20	-1,80	-0,52	0,43	50,22		
1 СМ 6,00	1,02	6,13	-3,47						
Cub_1 /Lod	Нас. Н.Дз Т1		3,80	1,70	0,51	0,35			
Cubicle/Coupl	CBS								
Cub_1 /Tr2	T1 (Н.Дз)		-3,80	-1,70	-0,91	0,39	30,42		
Шахтна РН 110кВ									
2 СМ 110,00	1,04	114,60	-2,25						
Cubicle/Coupl	CBS								
Cub_1 /Line	P1		-6,04	-2,53	-0,52	0,03	8,46		
Cub_1 /Tr2	T2 (Скот)		6,04	2,53	0,92	0,03	66,52		
1 СМ 110,00	1,04	114,56	-2,25						
Cubicle/Coupl	CBS								
Cub_1 /Line	P6		-6,23	-2,93	-0,91	0,02	8,90		
Cub_1 /Tr2	T1 (Скот)		6,23	2,93	0,91	0,03	43,60		
Шахтна РН 6кВ									
2 СМ 6,00	1,05	6,27	-6,06						
Cub_1 /Lod	Нас Скот Т2		6,00	2,00	0,95	0,58			
Cubicle/Coupl	CBS								
Cub_1 /Tr2	T2 (Скот)		-6,00	-2,00	-0,91	0,58	66,52		
1 СМ 6,00	1,05	6,32	-4,69						
Cub_1 /Lod	Нас Скот Т1		6,20	2,50	0,93	0,61			
Cubicle/Coupl	CBS								
Cub_1 /Tr2	T1 (Скот)		-6,20	-2,50	-0,93	0,61	43,60		
Шахтна РН 110кВ									
2 СМ 110,00	1,05	115,99	-2,63						
Cub_1 /Lod	на Підніжну Т2		13,00	5,00	0,93	0,67			
Cubicle/Coupl	CBO								
Cub_1 /Line	P1		23,41	15,06	0,84	0,14	27,34		
Cub_1 /Line	P10		31,88	26,84	0,76	0,21	46,34		
Cub_1 /Line	P9		9,47	4,39	0,91	0,05	13,55		
Cub_1 /Tr3	AT 1		-77,76	-51,29	-0,83	0,46	49,19		
1 СМ 110,00	1,05	115,04	-2,07						
Cub_1 /Lod	на Підніжну Т1		25,00	12,00	0,90	0,14			
Cubicle/Coupl	CBO								
Cub_1 /Line	P12		37,32	15,83	0,82	0,20	45,22		
Cub_1 /Line	B6		6,25	2,23	0,94	0,03	8,90		
Cub_1 /Line	P9		6,06	1,83	0,16	0,03	8,46		
Cub_1 /Line	P3		14,73	8,57	0,06	0,09	22,10		
Cub_1 /Tr3	AT 2		-51,27	-26,23	-0,93	0,28	33,93		
Cub_1 /Tr3	AT 3		-39,09	-20,24	-0,88	0,22	31,51		
Шахтна РН 330кВ									
2 СМ 330,00	1,00	330,00	0,00						
Cub_1 /Lod	на Більшому		0,00	0,00	1,00	0,00			
Cub_1 /Lod	на Лозівському		0,00	0,00	1,00	0,00			
Cub_1 /Xnet	GS2		54,87	31,99	0,87	0,11			
Cubicle/Coupl	CBO								
Cub_1 /Tr3	AT 3		54,87	30,99	0,87	0,11	31,51		
1 СМ 330,00	1,00	330,00	0,00						
Cub_1 /Lod	на Травневу-330		0,00	0,00	1,00	0,00			
Cub_1 /Line	GS1		140,53	88,05	0,85	0,29			
Cubicle/Coupl	CBO								
Cub_1 /Tr3	AT 1		-2,13	0,58	-0,96	0,03	49,19		
Cub_1 /Tr3	AT 2		-8,87	-6,58	-0,80	0,17	33,93		
1 СМ 330,00	1,05	36,67	-35,85						
Cub_1 /Lod	на Фенольну Т2		12,00	5,00	0,93	0,22			
Cubicle/Coupl	CBO								
Cub_1 /Line	P5		3,55	1,04	0,56	0,06	12,55		
Cub_1 /Tr3	AT 3		-16,55	-6,04	-0,94	0,28	31,51		
Шахтна РН 110кВ									
2 СМ 110,00	1,05	115,49	-2,76						
Cubicle/Coupl	CBS								
Cub_1 /Lod	Нас. Н.Дз Т2		8,99	3,89	0,89	0,43			
Cub_1 /Tr2	T2 (Макт)		9,45	4,74	0,89	0,05	12,55		
1 СМ 110,00	1,04	114,33	-2,26						
Cubicle/Coupl	CBS								
Cub_1 /Line	P8		-14,67	-8,85	-0,86	0,05	22,18		
Cub_1 /Tr2	T1 (Макт)		14,67	8,85	0,86	0,05	43,08		
Шахтна РН 6кВ(3)									
2 СМ 6,00	1,05	6,30	-6,76						
Cub_1 /Lod	Нас Бусловичинськ T2		9,3C	5,6C	0,86	0,99			
Cubicle/Coupl	CBS								
Cub_1 /Tr2	T2 (Бун)		-9,30	-5,60	-0,86	0,99	22,53		
1 СМ 6,00	1,06	6,34	-6,12						
Cub_1 /Lod	Нас Бусловичинськ T1		7,40	2,90	0,93	0,72			
Cubicle/Coupl	CBS								
Cub_1 /Tr2	T1 (Бун)		-7,40	-2,90	-0,93	0,72	52,10		
Шахтна РН 6кВ									
2 СМ 6,00	1,05	6,29	-4,01						
Cub_1 /Lod	Нас Шахтна T2		9,40	4,20	0,91	0,94			
Cubicle/Coupl	CBS								
Cub_1 /Tr2	T2 (Шахт)		-9,40	-4,20	-0,91	0,94	26,22		
1 СМ 6,00	1,05	6,29	-4,18						
Cub_1 /Lod	Нас Шахтна T1		14,60	7,90	0,88	1,52			
Cubicle/Coupl	CBS								
Cub_1 /Tr2	T1 (Шахт)		-14,60	-7,90	-0,88	1,52	43,08		
Шербівка РН 6									
2 СМ 6,00	1,04	6,25	-37,98						
Cub_1 /Lod	Нас Єрб T2		15,00	8,20	0,88	1,50			
Cubicle/Coupl	CBO								
Cub_1 /Tr3	T2 (ІІ)		-15,00	-8,20	-0,88	1,58	69,43		
1 СМ 6,00	0,00	0,00	0,00						
Cubicle/Coupl	CBO								
Шербівка РН35									
2 СМ 35,00	1,06	37,02	-6,49						
Cubicle/Coupl	CBO								
Cub_1 /Line	N2		8,22	4,16	0,89	0,14	43,55		
Cub_1 /Tr3	T2 (ІІ)		-2,22	-4,16	-0,89	0,14	69,43		
1 СМ 35,00	0,00	0,00	0,00						
Cubicle/Coupl	CBO								
Шербівка									
2 СМ 110,00	1,05	115,21	-2,87						
Cubicle/Coupl	CBO								
Cub_1 /Line	P1		-23,34	-15,16	-0,84	0,14	27,34		
Cub_1 /Tr3	T2 (ІІ)		23,34	15,16	0,84	0,14	66,43		
1 СМ 110,00	0,00	0,00	0,00						
Cubicle/Coupl	CBO								
Шахтна РН 35кВ									
2 СМ 35,00	1,03	112,90	-3,24						
Cub_1 /Line	N17		-17,26	-20,33	-0,65	0,14	30,31		
Cub_2 /Line	M22		-3,41	8,61	-0,16	0,04	10,69		
Cub_3 /Tr3	Kостянтинівка-110		18,67	11,72	0,85	0,11	56,14		
1 СМ 35,00	1,06	37,21	-6,19						
Cub_2 /Lod	СН Костянтинівка-134		13,48	7,91	0,86	0,24			
Cub_1 /Tr3	Костянтинівка-110		-13,48	-7,91	-0,86	0,24	56,14		
1 СМ 6,00	1,06	6,36	-36,76						
Cub_2 /Lod	СН Костянтинівка-5,10		2,20	0,52	0,50	0,50			
Cub_1 /Tr3	Костянтинівка-5,10		-2,20	-0,52	0,50	0,50	56,14		
ПС Центральна – Шахтна-T1									
0,139		185		1	0,75		0,8		
ПС Центральна – Скотовата-T1									
0,033		120		1	0,28		0,8		
ПС Центральна – Скотовата-T2									
0,032		120		1	0,27		0,8		
ПС Центральна – Шахтна-T1									
0,086		120		1	0,72		0,8		
ПС Центральна – Шахтна-T2									
0,052		120		1	0,43		0,8		
ПС Центральна –									
0,203		150		1	1,35 (1,56)		0,8		

Таблиця 3.9 – Оцінка зміни густини струму

Назва ділянки	Розрахунковий струм kA	Стандартний перетин mm2	Кількість кіл ЛЕП -	Розрахункова щільність A/mm2	Рекомендована щільність A/mm2
ПС Центральна – Шахтна-T1	0,139	185	1	0,75	0,8
ПС Центральна – Скотовата-T1	0,033	120	1	0,28	0,8
ПС Центральна – Скотовата-T2	0,032	120	1	0,27	0,8
ПС Ц					

Назва ділянки	Розрахунковий струм кА	Стандартний перетин мм2	Кількість кіл ЛЕП -	Розрахункова щільність А/мм2	Рекомендована щільність А/мм2
ДилівкаТяг-T2	0,203	95	1	2,14 (2,46)	1,9
	0,060	120	1	0,5	0,8
ПС Центральна – ДилівкаТяг-T1	0,208	150	1	1,39 (1,12)	0,8
	0,037	120	1	0,31	0,8
Відг.1 – Костянтинівка Тяг T2	0,147	120	1	1,23 (1,12)	0,8
Костянтинівка Тяг T1 – відг.2 (М)	0,056	120	1	0,47	0,8
	0,056	95	1	0,59 (1,15)	1,9
Відг.2 – Будівельник T2	0,058	120	1	0,48	0,8
Відг.2 – Костянтинівка 110 (М)	0,045	95	1	0,47	1,9
ДилівкаТяг-T1 – відг. 3 (М)	0,173	95	1	1,82 (1,78)	0,8
Відг. 3 – Костянтинівка 110	0,136	150	1	0,91 (0,87)	0,8
Відг. 3 – Будівельник T2	0,041	120	1	0,34	0,8
35 кВ					
ПС Щербинівка – Н.Дзержика-T2	0,144	95	1	1,52	0,8
ПС Центральна – Зрошення	0,058	150	1	0,39	0,8
Зрошення – КлебанБик-T2	0,044	150	1	0,29	0,8
КлебанБик-T1 – Н.Дзержика-T1	0	150	1	0	0,8

Оперативні переключення дозволили знизити густину струму до доцільного значення, але не на всіх ділянках. Величини струмів не перевищують тривало допустимі.

Для ще більшого розвантаження ЛЕП наступним заходом є встановлення на шинах споживачів локальних джерел потужності реактивної. Обираються статичні регульовані батареї конденсаторів.

3.3 Генерації реактивної потужності в мережі

Джерелом активної потужності в ЕЕС, звичайно ж, є синхронні генератори, які встановлені на ЕС.

Активна потужність, яка виробляється генераторами $P_{\text{ген}\Sigma}$ електростанцій, у сталому режимі повинна дорівнювати:

- по-перше, активній потужності споживачів електроенергії ЕЕС $P_{\text{нав}\Sigma}$ (сумарне навантаження);
- по-друге, активній потужності власних потреб ЕС та ПС $P_{\text{в.н.}\Sigma}$;
- наступне, втратам активної потужності в силових трансформаторах ($\Delta P_{\text{мд}}$ і ΔP_{cm});
- далі, втратам активної потужності в ЛЕП (на нагрів ΔP_{TL} і на коронування $\Delta P_{\text{кор}}$);
- далі, втратам активної потужності в реакторах ΔP_{LR} , конденсаторах ΔP_C та інших елементах ЕЕС.

Таким чином, баланс має наступний вид:

$$P_{\text{ген}\Sigma} = P_{\text{спож}\Sigma} = P_{\text{нав}\Sigma} + \Delta P_{\Sigma} \quad (3.1)$$

$$\Delta P_{\Sigma} = P_{\text{в.н.}\Sigma} + \Delta P_{\text{мд}} + \Delta P_{\text{cm}} + \Delta P_{\text{TL}} + \Delta P_{\text{кор}} + \Delta P_{\text{LR}} + \Delta P_C \quad (3.2)$$

Джерелами реактивної потужності $Q_{\text{ген}\Sigma}$ (3.3) в ЕЕС є:

- синхронні генератори електростанцій Q_G ;
- звичайно ж, синхронні компенсатори Q_{CK} ;
- крім того, статичні тиристорні компенсатори Q_{CTK} ;
- також, батареї статичних конденсаторів Q_{BK} ;
- і додатково, зарядна потужність ліній $Q_{C_{TL}}$.

$$Q_{\text{зен}\Sigma} = Q_G + Q_{CK} + Q_{CTK} + Q_{BK} + Q_{C_{TL}} \quad (3.3)$$

Реактивна потужність генерації $Q_{\text{зен}\Sigma}$ повинна дорівнювати:

- по-перше, реактивній потужності споживачів $Q_{\text{нав}\Sigma}$ (сумарне навантаження);
- по-друге, реактивній потужності власних потреб електростанцій та підстанцій $Q_{\text{вн.}\Sigma}$;
- далі, втратам реактивної потужності в трансформаторах і автотрансформаторах (втрати в міді ΔQ_{md} і в сталі ΔQ_{cm});
- далі, втратам реактивної потужності в реактивному опорі ліній ΔQ_{TL} .

Звідси баланс реактивної потужності в ЕЕС має наступний вид:

$$Q_{\text{зен}\Sigma} = Q_{\text{спож}\Sigma} = Q_{\text{нав}\Sigma} + \Delta Q_{\Sigma} \quad (3.4)$$

$$\Delta Q_{\Sigma} = Q_{\text{вн.}\Sigma} + \Delta Q_{md} + \Delta Q_{cm} + \Delta Q_{TL} \quad (3.5)$$

Важливими характеристиками навантаження є значення їх активної і реактивної потужності у функції напруги і частоти. Статичні характеристики навантаження – це залежності $P_{\text{нав}}(f), Q_{\text{нав}}(f)$ (рис. 3.25, а) і $P_{\text{нав}}(U), Q_{\text{нав}}(U)$ (рис. 3.25, б)

Значення складових рівняння балансу активної (3.1) та реактивної (3.4) потужності загалом розраховуються за статичними характеристиками (рис. 3.25) і параметрами заступних схем елементів ЕЕС. Найточніше

статичні характеристики можна визначити на підставі натурних дослідів. Під час розрахунків прогнозу, якщо невідомі статичні характеристики, використовуються типові статичні характеристики навантаження ЕЕС, які відповідають усередненим умовам з погляду режимів роботи електричної системи.

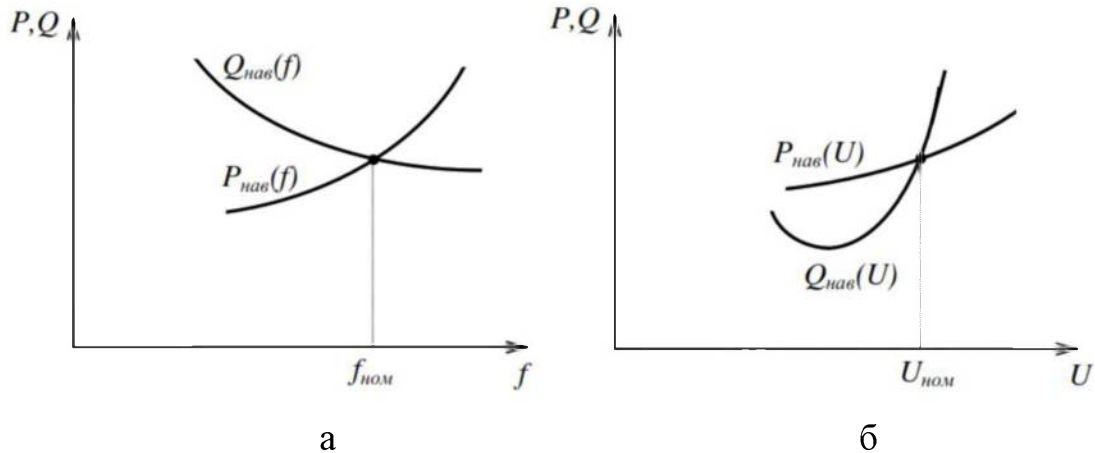


Рисунок 3.25 – Статичні характеристики навантаження

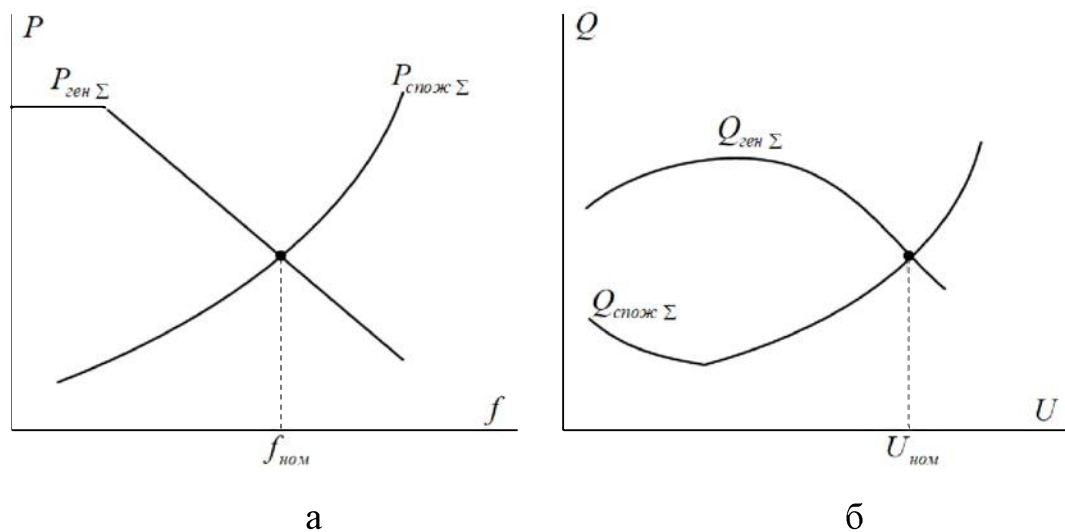


Рисунок 3.26 – Статичні характеристики $P(f)$ (а) і $Q(U)$ (б)

Загально відомо, що рівняння (3.1) приймає вигляд:

$$P_{зен \Sigma}(U, f) = P_{спож \Sigma}(U, f) \quad (3.6)$$

а рівняння (3.4)

$$Q_{\text{зен} \Sigma}(U, f) = Q_{\text{спож} \Sigma}(U, f) \quad (3.7)$$

При порушенні вихідного балансу активної потужності – рис. 3.27.

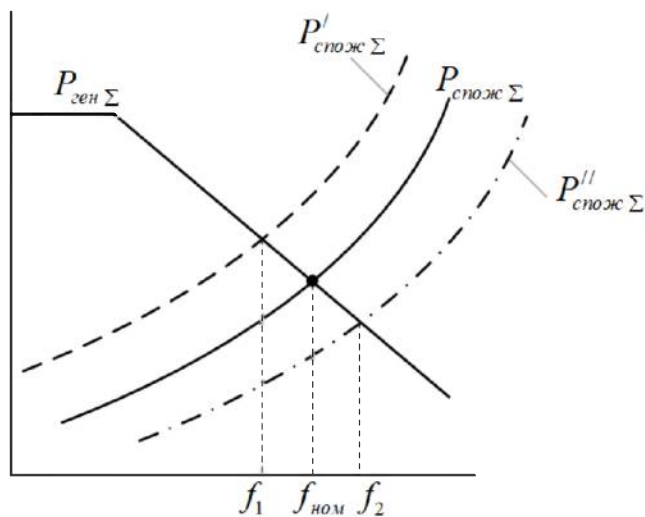


Рисунок 3.27 – Статичні характеристики $P(f)$

Якщо (рис. 3.27)

$$P_{\text{зен} \Sigma} < P'_{\text{спож} \Sigma}$$

то

$$f_1 < f_{\text{ном}}$$

Якщо (рис. 3.27)

$$P_{\text{зен} \Sigma} > P''_{\text{спож} \Sigma}$$

то

$$f_2 > f_{\text{ном}}$$

Якщо (рис. 3.28)

$$Q_{\text{зен} \Sigma} < Q'_{\text{спож} \Sigma}$$

то

$$U_1 < U_{\text{ном}}$$

Якщо (рис. 3.28)

$$Q_{\text{зен } \Sigma} > Q'^{\text{спож } \Sigma}$$

то

$$U_2 > U_{\text{ном}}$$

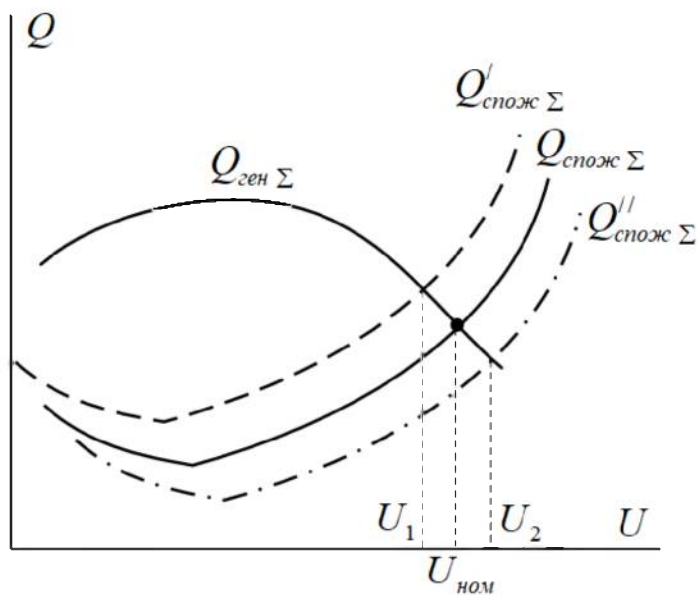


Рисунок 3.28 – Статичні характеристики $Q(U)$

Регулювальним ефектом навантаження називається ступінь зміни активної та реактивної потужності навантаження зі зміною напруги чи частоти. Чисельна характеристика регулювального ефекту визначається значеннями часткових похідних $\frac{\partial P_{\text{нав}}}{\partial U}$, $\frac{\partial Q_{\text{нав}}}{\partial U}$, $\frac{\partial P_{\text{нав}}}{\partial f}$, $\frac{\partial Q_{\text{нав}}}{\partial f}$, з яких завжди додатні $\frac{\partial P_{\text{нав}}}{\partial U}$, $\frac{\partial P_{\text{нав}}}{\partial f}$.

Роздивимося статичні характеристики за реактивною потужністю.

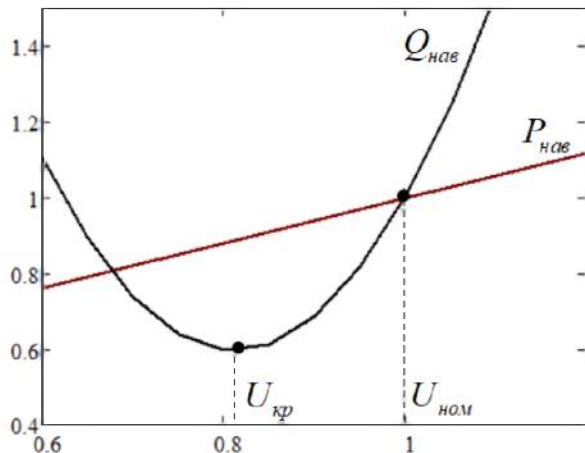


Рисунок 3.29 – Статичні характеристики $P(U)$ і $Q(U)$

Роздивимося на прикладі.

Напруга на шинах споживача U_2 знижується (внаслідок аварії чи з іншої причини), але напруга на шинах джерела живлення залишається незмінною U_1 .

Зв'язує джерело живлення і навантаження лінія електропередачі з параметрами r_{12} , x_{12} . Втрата напруги в лінії електропередачі визначається як:

$$\Delta U_{12} = U_1 - U_2 = \frac{P_{\text{нав}} \cdot r_{12} + Q_{\text{нав}} \cdot x_{12}}{U_2}$$

Як очевидно зі статичних характеристик (рис. 3.29), зниження напруги на шинах споживача U_2 призведе до зниження значень спожитої потужності, як активної $P_{\text{нав}}$, так і реактивної $Q_{\text{нав}}$. Внаслідок цього знизиться втрата напруги ΔU_{12} , і збільшиться напруга на шинах споживача U_2 :

$$U_2 = U_1 - \Delta U_{12}$$

У цьому полягає позитивний регулюючий ефект навантаження.

Але він є можливим лише за умови, що зниження напруги не досягне критичного значення:

$$U > U_{\varphi} = (0,7 \div 0,8) U_{\text{ном}} \quad (3.8)$$

У випадку порушення умови (3.8) зниження напруги викликає збільшення реактивної потужності навантаження $Q_{\text{нав}}$, внаслідок якого збільшується втрата напруги ΔU_{12} , і напруга на шинах споживача U_2 продовжує знижуватися. Це явище називають лавина напруги. При таких аваріях зупиняються асинхронні двигуни (опрокидуються). Зупинити зниження напруги при таких аваріях можна лише відключивши навантаження.

Наступною роздивимося діаграму повної потужності генератора.

Визначимо зони обмеження роботи турбогенератора в залежності від $\cos \varphi_{\text{ном}}$ на діаграмі повної потужності генератора.

Задані номінальні параметри генератора: $S_{\text{ном}}$, $U_{\text{ном}}$, $I_{\text{ном}}$, $\cos \varphi_{\text{ном}}$, синхронний індуктивний опір x_d .

1. Вектор номінальної напруги генератора $U_{\text{ном}}$ відкладається за віссю абсцис (на рис. 3.30 – це вектор «1-0»).

2. За значенням $\cos \varphi_{\text{ном}}$ визначається кут $\varphi_{\text{ном}}$, який залежить від характеру навантаження. Він визначає положення вектору струму $I_{\text{ном}}$ (вектор «1-2»).

3. Положення вектору падіння напруги $j I_{\text{ном}} x_d$ в синхронному індуктивному опорі x_d визначається перпендикулярно вектору струму (поворот вектору проти часової стрілки). Він відкладається від кінця вектору напруги генератора $U_{\text{ном}}$ (вектор «2-3»).

4. Сума вектору напруги генератора $U_{\text{ном}}$ і вектору падіння напруги $j I_{\text{ном}} x_d$ визначає ЕРС генератора E (вектор «1-3») і внутрішній кут машини δ .

5. Всі вектори помножаємо на складову $\frac{U_{\text{ном}}}{x_d} = \text{const}$. Векторна діаграма змінить масштаб – рис. 3.31.

Вектор 0-3 – вектор повної потужності $S_{\text{ном}} = U_{\text{ном}} \cdot I_{\text{ном}}$ електричної машини, проекції якого є величинами активної та реактивної потужності. Проекція 0-4 на горизонтальну лінію – це реактивна потужність $Q_{\text{ном}} = U_{\text{ном}} \cdot I_{\text{ном}} \cdot \sin(\varphi_{\text{ном}})$. Проекція 3-4 на вертикальну лінію – це активна потужність $P_{\text{ном}} = U_{\text{ном}} \cdot I_{\text{ном}} \cdot \cos(\varphi_{\text{ном}})$. Через точку 0 проводимо осі активної P та реактивної Q потужності.

Зона обмеження за нагрівом обмоток статора (рис. 3.31) синхронного генератора визначається окружністю з центром в точці 0 і радіусом величиною 0-3.

Окружність радіусом 0-3 (окружність червоного кольору) описує вектор повної потужності при зміні $\cos\varphi$ в діапазоні $0 \div 1$.

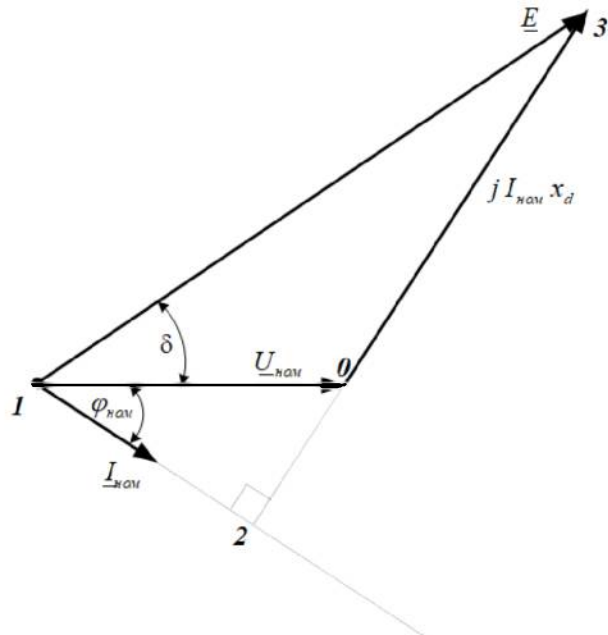


Рисунок 3.30 – Векторна діаграма ЕПС і напруги генератора

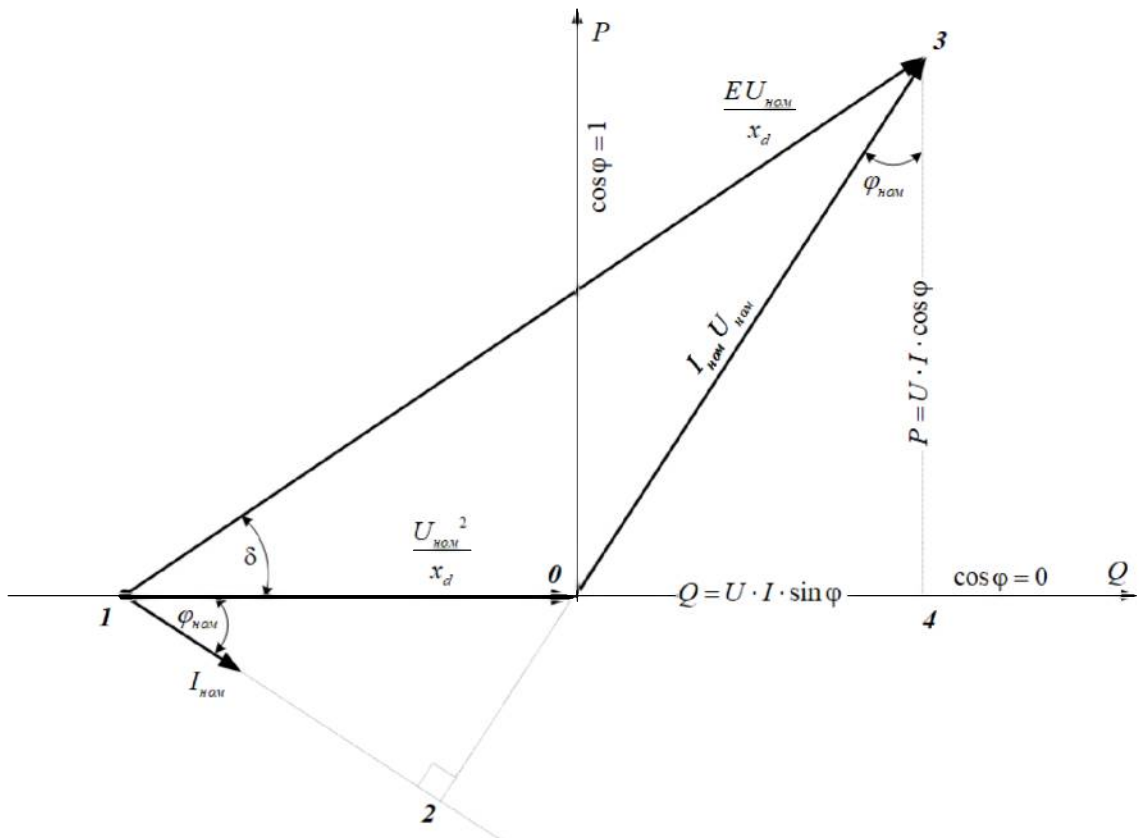


Рисунок 3.31 – Діаграма потужностей синхронного генератора

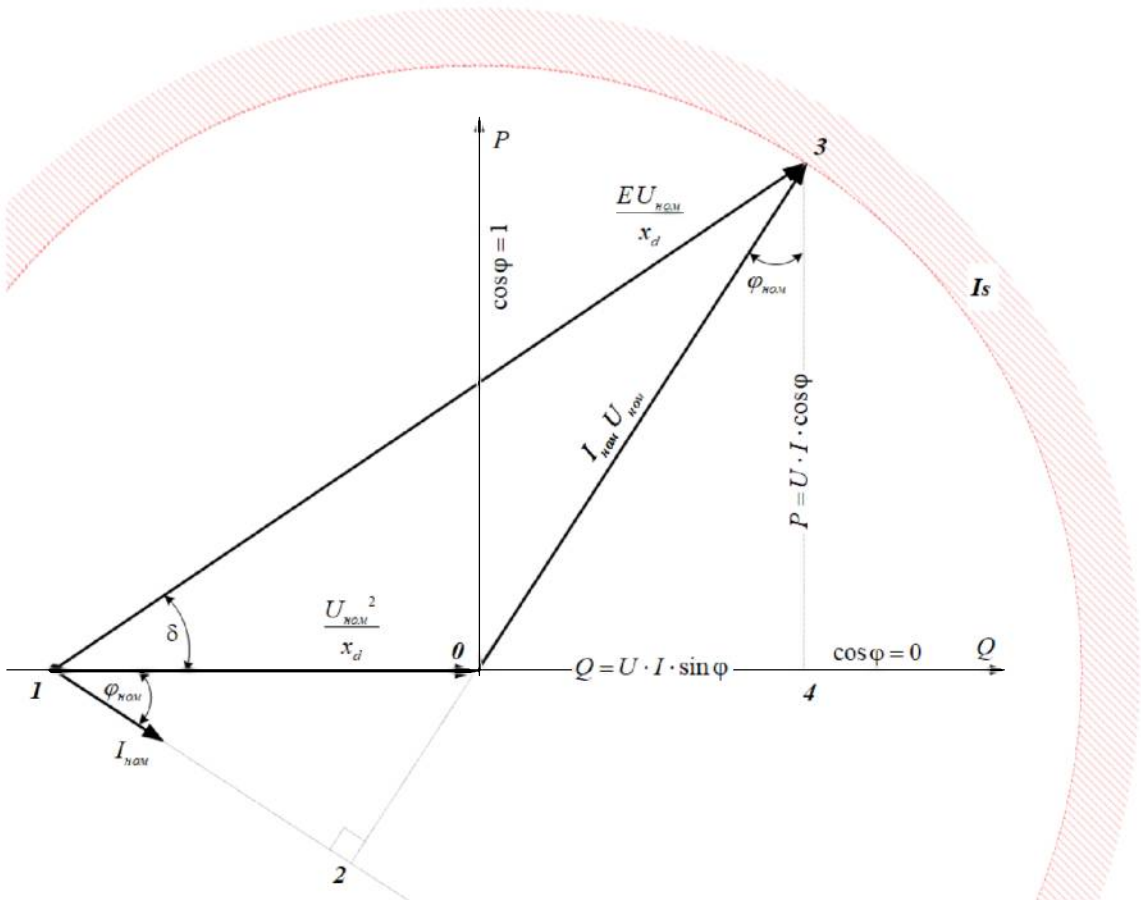


Рисунок 3.32 – Зона обмеження за нагрівом обмоток статора СГ

6. Вектор 1-3 – вектор потужності $P = \frac{E \cdot U_{nom}}{x_d}$. Ця потужність визначає номінальний струм обмотки збудження $i_{f_{nom}}$.

Зона обмеження за нагрівом обмотки ротора (рис. 3.33) синхронного генератора визначається окружністю з центром в точці 1 і радіусом величиною 1-3 (окружність синього кольору).

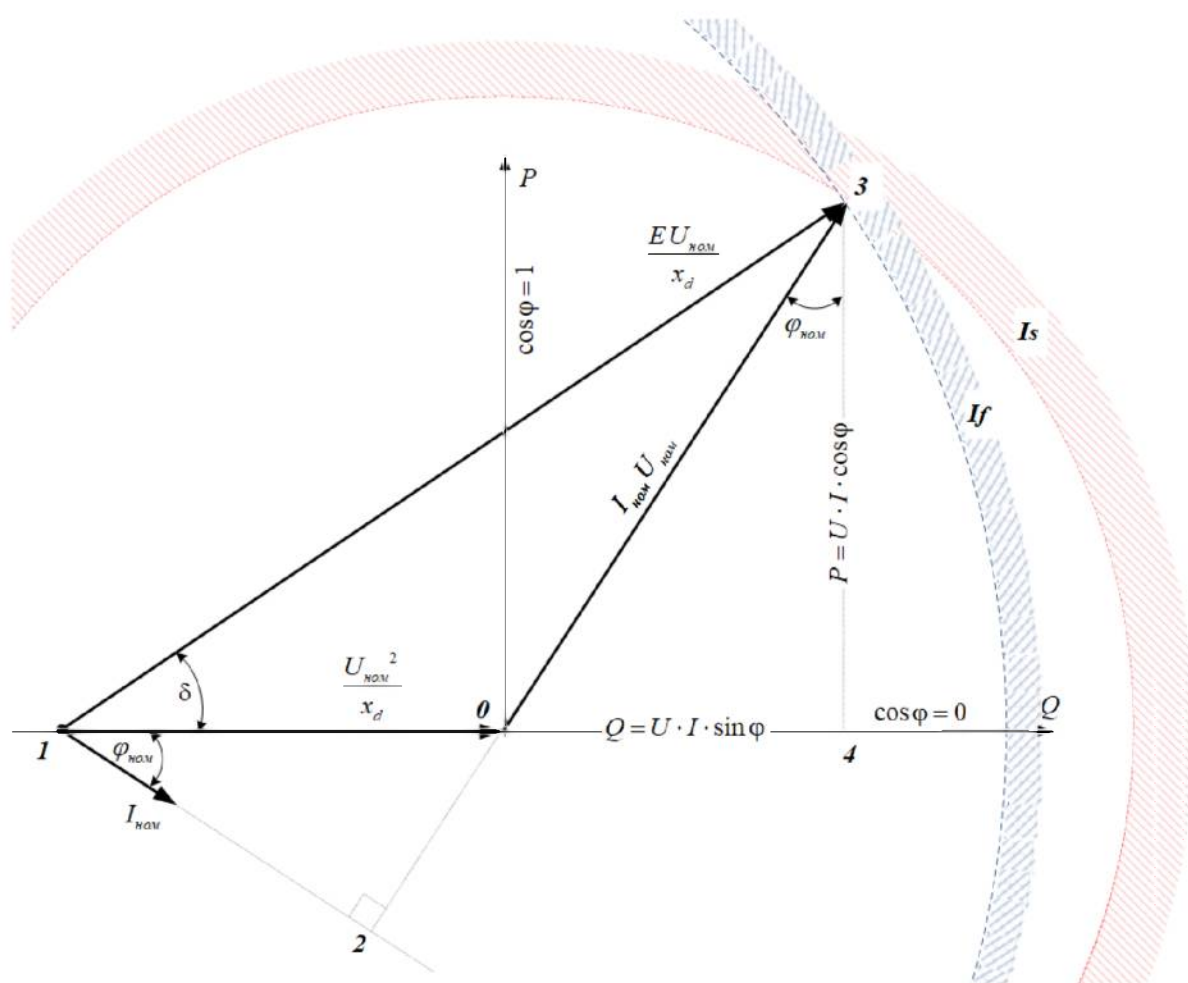


Рисунок 3.33 – Зона обмеження за нагрівом обмотки ротора СГ

При зменшенні $\cos\varphi$ електрична машина не може видавати номінальну повну потужність, так як вона обмежується струмом обмотки збудження.

Роздивимося аналітико-графічне пояснення цього твердження.

Нехай при активно-індуктивному навантаженні (так званий перший квадрант) знижується $\cos\varphi$. На рис. 3.34 – це точка 5. Справедливим є наступне твердження:

$$\varphi > \varphi_{\text{ном}}$$

$$\cos(\varphi) < \cos(\varphi_{\text{ном}})$$

Логічним було б вважати, що повна потужність буде визначатися активною P_5 і реактивною Q_5 потужністю в цій точці:

$$S_5 = P_5 + jQ_5$$

Але не можна забувати про обмотку збудження. Значне збільшення реактивної потужності $Q_5 \gg Q_{\text{ном}}$ можливе лише за умови значного зменшення активної потужності $P_5 \ll P_{\text{ном}}$. Для генерації значної реактивної потужності необхідно збільшувати струм обмотки збудження $i_f \gg i_{f_{\text{ном}}}$.

Перевищення номінального струму збудження – це перегрів обмотки ротора. Графічно – це означає перехід вектору активної потужності $P = \frac{E \cdot U_{\text{ном}}}{x_d}$ з точки 3 в точку 5, а це є недопустимим (вихід за окружність зони обмеження струму ротора).

Отже при фактичному значенні $\cos\varphi$, яке значне менше номінального значення $\cos\varphi_{\text{ном}}$, активна потужність буде визначатися точкою 6. Їй відповідає потужність генератора $S_6 < S_{\text{ном}}$, так як

$$Q_6 < Q_5, P_6 < P_5$$

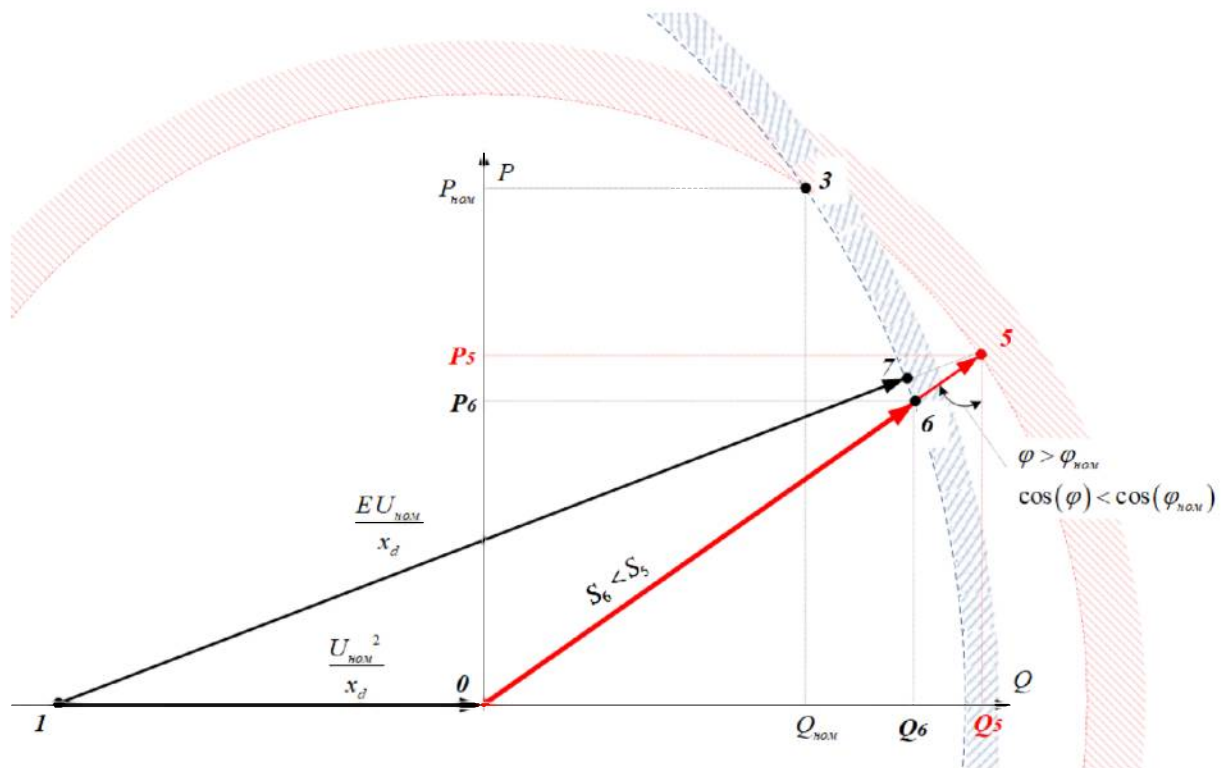


Рисунок 3.34 – Для умови $\cos\varphi < \cos\varphi_{nom}$

Таким чином, зниження $\cos\varphi$ має наслідком, по-перше, перегрів обмотки ротора, по-друге, зниження коефіцієнту корисної дії. В чисто компенсаторному режимі генератор може розвивати лише 70 % повної потужності.

Роздивимося процес при збільшенні $\cos\varphi$:

- $\varphi < \varphi_{nom}$, $\cos\varphi > \cos\varphi_{nom}$, положення вектору повної потужності відповідає точці 8.

- активна потужність збільшується $P_8 > P_{nom}$, а реактивна зменшується: $Q_8 < Q_{nom}$.

- збільшення активної потужності має обмеження – це потужність турбіни $P_{турбіни max}$. На рис. 3.35 – це горизонтальна лінія коричневого кольору.

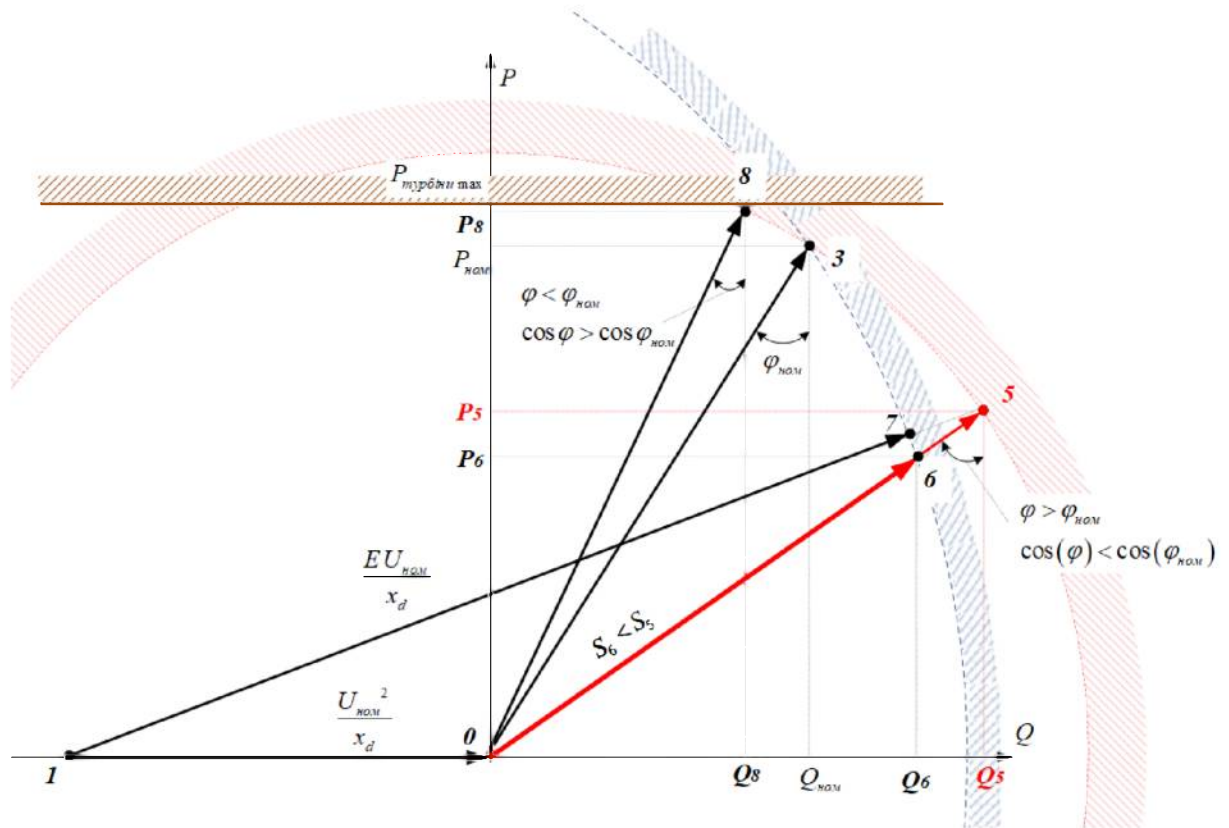


Рисунок 3.35 – Зона обмеження за максимальною потужністю турбіни

7. Квадрант обмежений позитивними значеннями активної та реактивної потужності відповідає режиму активно-індуктивного навантаження (режиму перезбудження). Так званий, індуктивний квадрант.

Квадрант обмежений позитивними значеннями активної потужності та негативним значенням реактивної потужності відповідає активно-емнісному навантаженню (режиму недозбудження). Так званий, ємнісний квадрант. Режим недозбудження використовується в години провалу навантаження через надлишок реактивної потужності і неможливості короткочасних зупинок потужних генераторів. Автоматичні регулятори збудження (АРЗ) працюють для забезпечення умови стійкості генератора при зменшенні активного навантаження.

8. Роздивимося його обмеження.

Від точки 1 відкладається угору ряд векторів довжиною в діапазоні від нуля до номінальної активної потужності генератора ($0 < P < P_{nom}$). Проводяться окружності радіусом цих векторів. На відстані 0,1 в.о. від кінця

кожного вектору відкладається перпендикуляр, знаходитьться точка перетину окружності і перпендикуляру. Отримана серія точок – це крива обмеження за стійкістю генератора (рис. 3.36, крива зеленого кольору).

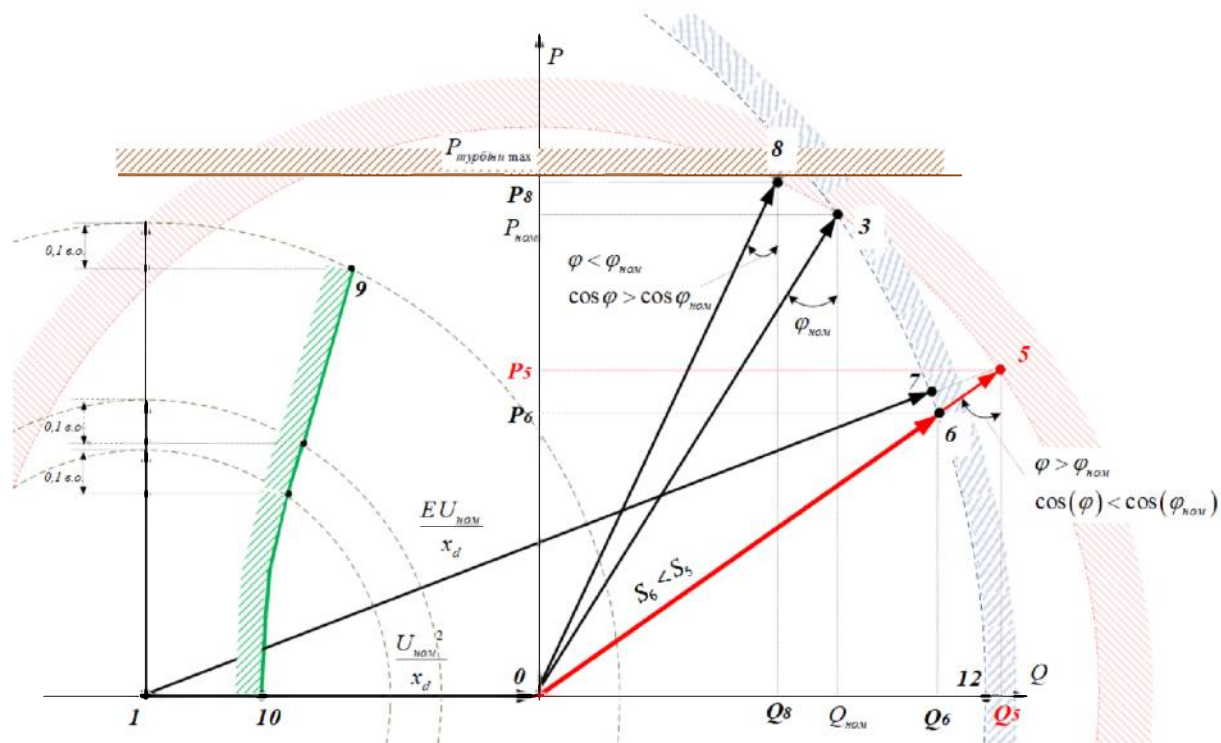


Рисунок 3.36 – Зона обмеження за стійкістю генератора

9. Зона обмеження за нагрівом торцевих частин і крайніх пакетів сталі статора визначається за паспортними даними генераторів, де вказується реактивна потужність споживання в режимі недозбудження при відповідному значенні активної потужності генерації. Це крива обмеження блакитного кольору (рис. 3.37).

Висновки щодо отриманої векторної діаграми повної потужності генераторів.

3) Діаграма потужності генератора має п'ять зон обмеження (рис. 3.38):

- зона обмеження за нагрівом обмоток статора I_s ;
 - зона обмеження за нагрівом обмотки ротора i_f ;
 - зона обмеження за максимальною потужністю турбіни (первинного двигуна $P_{турбіни\ max}$;

- зона обмеження за нагрівом торцевих частин і крайніх пакетів сталі статора;

- зона обмеження за стійкістю генераторів при паралельній роботі з ЕЕС.

2) У випадку надлишку активної потужності (режим мінімуму активного навантаження) частину генераторів, які несуть активне навантаження, можна переводити на роботу з пониженим $\cos\varphi$ для збільшення генерації реактивної потужності за рахунок зменшення генерації активної потужності. Це особливо важливо при аварійному зниженні напруги (лавина напруги). Пристрій АРЗ (автоматичне регулювання збудження), яким обладнанні всі генератори, при зниженні напруги на шинах генератора автоматично збільшує струм збудження і генерацію реактивної потужності. Але необхідно контролювати наявність резерву за струмом ротора (при $\varphi > \varphi_{nom}$, $\cos\varphi < \cos\varphi_{nom}$) і наявність резерву за струмом статора (при $\varphi < \varphi_{nom}$, $\cos\varphi > \cos\varphi_{nom}$).

3) У випадку, коли активної потужності в ЕЕС є недостатньо (режим максимуму активного навантаження), використовувати генератори для збільшення генерації реактивної потужності є технічно й економічно недоцільно. Доцільно замість зниження генерації активної потужності використовувати пристрой компенсації для генерації реактивної потужності.

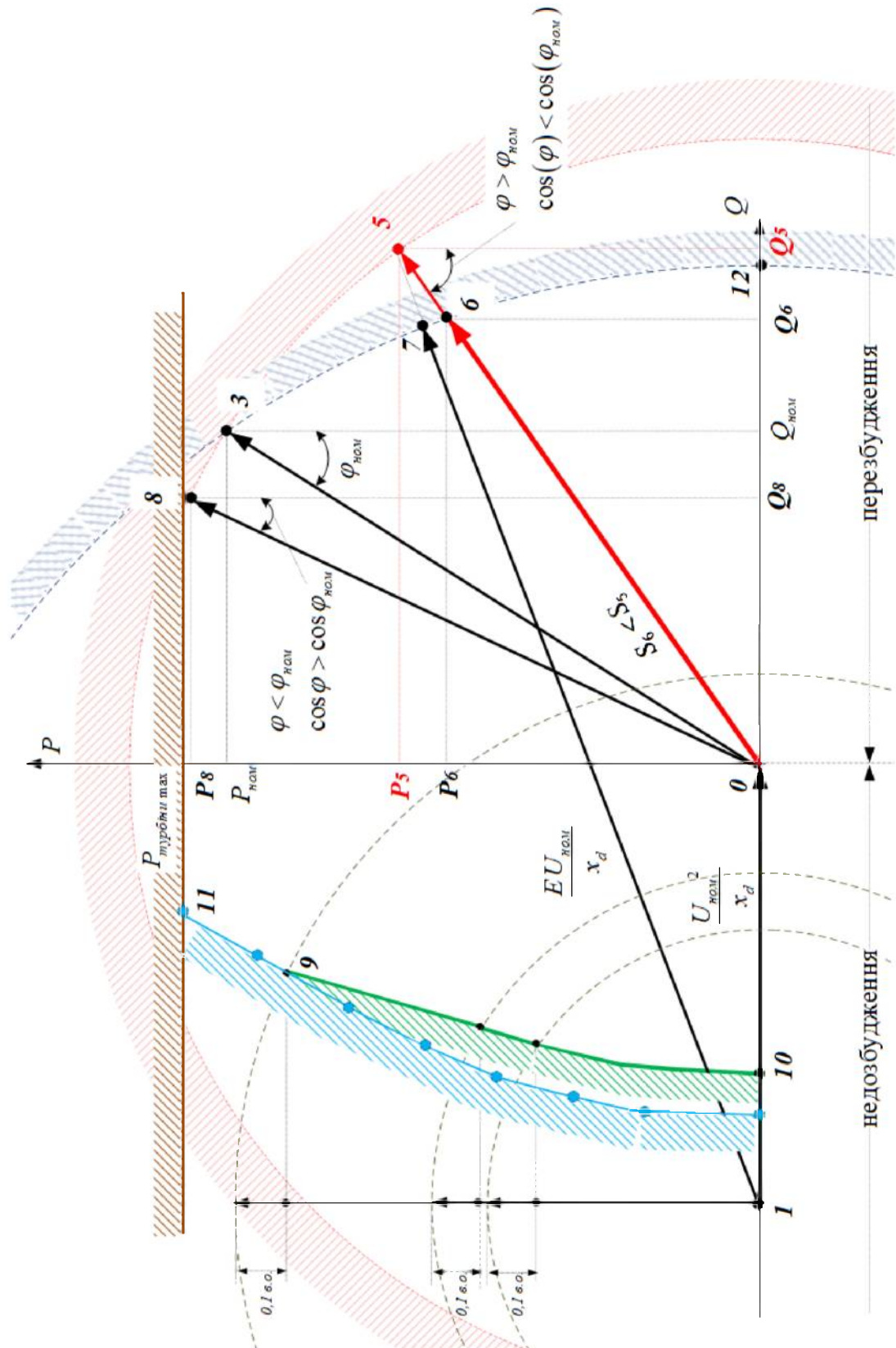


Рисунок 3.37 – Діаграма потужностей

Отже реактивна потужність має значний вплив на роботу ЕЕС, тому далі в роботі мною розглянутий вибір компенсувальних пристройів – батареї конденсаторів – табл. 3.10.

Таблиця 3.10 – Вибір КП на ПС

Назва ПС	Pm	Qm	tgφm	Qкп.м	Тип КП	Qкп.ном
	МВт	Мвар	-	Мвар		Мвар
Скотовата-110 (Т1)	6,2	2,5	0,403	0,95	УК-6-900	0,9
Скотовата-110 (Т2)	6,0	2,0	0,333	0,5	УК-6-450	0,45
Шахтна-110 (Т1)	14,6	7,9	0,541	4,25	УК-6-3600 УК-6-675	4,275
Шахтна-110 (Т2)	9,4	4,2	0,447	1,85	УК-6-1800	1,8
Диліївка Тяг-110 (Т1)	6,7	2,8	0,418	1,13	УК-6-1125	1,125
Диліївка тяг-110 (Т2)	9,2	6,6	0,717	4,3	УК-6-3600 УК-6-675	4,275
Костянт. тяг-110 (Т1)	9,4	4,8	0,511	2,45	УК-6-1800 УК-6-675	2,475
Костянт. тяг-110 (Т2)	7,35	4,29	0,584	2,45	УК-6-1800 УК-6-675	2,475
Будівельник-110 (Т1)	7,4	2,9	0,392	1,05	УК-6-900	0,9
Будівельник-110 (Т2)	9,3	5,6	0,602	3,27	УК-6-1800 УК-6-1350	3,15
Н.Дзержинка-35 (Т1)	3,8	1,7	0,447	0,75	УК-6-675	0,675
Н.Дзержинка-35 (Т2)	4,2	1,8	0,429	0,75	УК-6-675	0,675
Клебан Бик-35 (Т1)	1,2	0,3	0,25	0	-	-
Клебан Бик-35 (Т2)	1,5	0,2	0,133	0	-	-
Зрошення-35	0,8	0,3	0,375	0,1	-	-

Таблиця 3.11 – Вплив КП на режимні параметри

AC Load Flow, balanced, positive sequence Automatic Tap Adjust of Transformers Consider Reactive Power Limits							Automatic Model Adaptation for Convergence Max. Acceptable Load Flow Error for Nodes Model Equations				No
											1,00 kVA 0,10 %
	rated Voltage [kV]	Bus-voltage [p.u.]	Active Power [MW]	Reactive Power [Mvar]	Power Factor [-]	Current [kA]	Loading [%]	Additional Data			
Будівельна РН 110кВ											
2 СМ	110,00	1,03	112,91	-3,26				Pv:	0,00 kW	cLod:	0,00 Mvar L: 0,04 km
Cubicle/Coupl	CBS							Tap:	0,00	Min:	-9 Max: 9
Cub_1 /Line	Д21			-9,35	-2,95	-0,95	0,05	12,87	Pv:	0,00 kW	cLod: 0,21 Mvar L: 6,11 km
Cub_1 /Tr2	T2 (Буд)			9,35	2,95	0,95	0,05	63,31	Tap:	0,00	Min: -9 Max: 9
1 СМ	110,00	1,03	112,98	-3,26				Pv:	7,25 kW	cLod:	0,21 Mvar L: 6,11 km
Cubicle/Coupl	CBS							Tap:	0,00	Min: -9 Max: 9	
Cub_1 /Line	Д16			-7,44	-2,45	-0,95	0,04	10,26	Pv:	7,25 kW	cLod: 0,21 Mvar L: 6,11 km
Cub_1 /Tr2	T1 (Буд)			7,44	2,45	0,95	0,04	50,42	Tap:	0,00	Min: -9 Max: 9
Дріжда Таг РН 110кВ											
2 СМ	110,00	1,04	114,38	-2,65				Pv:	10,61 kW	cLod:	0,21 Mvar L: 6,05 km
Cubicle/Coupl	CBS							Tap:	2,00	Min:	-9 Max: 9
Cub_1 /Line	Д14			-9,25	-2,57	-0,95	0,05	12,43	Pv:	10,61 kW	cLod: 0,21 Mvar L: 6,05 km
Cub_1 /Tr2	T2 (Дріж)			9,25	2,57	0,95	0,05	61,14	Tap:	2,00	Min: -9 Max: 9
1 СМ	110,00	1,03	113,83	-2,90				Pv:	5,78 kW	cLod:	0,21 Mvar L: 6,11 km
Cubicle/Coupl	CBS							Tap:	1,00	Min: -9 Max: 9	
Cub_1 /Line	Д11			-6,73	-2,07	-0,95	0,04	9,16	Pv:	5,78 kW	cLod: 0,21 Mvar L: 6,11 km
Cub_1 /Tr2	T1 (Дріж)			6,73	2,07	0,95	0,04	48,86	Tap:	1,00	Min: -9 Max: 9
Дріжда Таг РН 6кВ											
2 СМ	6,00	1,06	6,33	-6,31				Pv:	9,20 MW	Q10:	6,60 Mvar
Cub_1 /Load	Нас Дріжда T2			9,20	6,60	0,91	1,03		Tap:		
Cub_1 /Shunt	ЕК2 Д			0,00	-4,76	0,00	0,43				
Cubicle/Coupl	CBS										
Cub_1 /Tr2	T2 (Дріж)			-9,20	-1,84	-0,95	0,86	61,14	Tap:	2,00	Min: -9 Max: 9
1 СМ	6,00	1,03	6,20	-5,86				Pv:	6,70 MW	Q10:	2,80 Mvar
Cub_1 /Load	Нас Дріжда T1			6,70	2,80	0,92	0,68		Tap:		
Cub_1 /Shunt	ЕК1 Д			-0,00	-1,20	-0,00	0,11				
Cubicle/Coupl	CBS										
Cub_1 /Tr2	T1 (Дріж)			-6,70	-1,60	-0,97	0,64	48,86	Tap:	1,00	Min: -9 Max: 9
Зрошення РН НН											
РН 6кВ	6,00	1,05	6,31	-37,55				Pv:	0,80 MW	Q10:	0,30 Mvar
Cub_1 /Load	Нас Зрошення			0,80	0,30	0,94	0,08		Tap:	2,00	Min: -6 Max: 6
Cub_1 /Tr2	T1 (Зрошен)			-0,80	-0,30	-0,94	0,08	34,10	Tap:		
Зрошення											
СМ	35,00	1,04	36,54	-36,46				Pv:	0,97 kW	cLod:	0,00 Mvar L: 0,84 km
Cub_1 /Line	Д4			2,72	0,65	0,97	0,04	9,82	Tap:		
Cub_1 /Line	Д5			-3,53	-0,59	-0,95	0,06	12,87	Pv:	23,58 kW	cLod: 0,00 Mvar L: 11,84 km
Cub_1 /Tr2	T1 (Зрош.)			0,81	0,35	0,92	0,01	34,10	Tap:	2,00	Min: -6 Max: 6
Клебан Бор РН 35кВ											
1 СМ	35,00	1,04	36,52	-36,45				Pv:	0,00 kW	cLod:	0,00 Mvar L: 2,90 km
Cubicle/Coupl	CBS			-2,72	-0,65	-0,97	0,04	0,00	Tap:		
Cub_1 /Line	Д3			0,00	0,00	1,00	0,00	0,00			
Cub_1 /Tr2	T1 (КлБ)			2,72	0,65	0,97	0,04	43,45	Tap:	2,00	Min: -6 Max: 6
2 СМ	35,00	1,04	36,52	-36,45				Pv:	0,97 kW	cLod:	0,00 Mvar L: 0,84 km
Cubicle/Coupl	CBS			2,72	0,65	0,97	0,04	0,00	Tap:		
Cub_1 /Line	Д4			-2,72	-0,65	-0,97	0,04	9,82	Pv:	0,97 kW	cLod: 0,00 Mvar L: 0,84 km
Cub_1 /Tr2	T2 (КлБ)			0,00	0,00	1,00	0,00	0,00	Tap:	0,00	Min: -6 Max: 6
Клебан Бор ЕКРЕ 6кВ											
1 СМ	6,00	1,05	6,32	-39,26				Pv:	1,20 MW	Q10:	0,30 Mvar
Cub_1 /Load	Нас КлБ T1			1,20	0,30	0,97	0,11		Tap:		
Cubicle/Coupl	CBS			1,50	0,20	0,99	0,14	0,00			
Cub_1 /Tr2	T1 (КлБ)			-2,70	-0,50	-0,98	0,25	43,45	Tap:	2,00	Min: -6 Max: 6
2 СМ	6,00	1,05	6,32	-38,26				Pv:	1,50 MW	Q10:	0,20 Mvar
Cub_1 /Load	Нас КлБ T2			1,50	0,20	0,99	0,14		Tap:		
Cubicle/Coupl	CBS			-1,50	-0,20	-0,99	0,14	0,00			
Cub_1 /Tr2	T2 (КлБ)			0,00	0,00	1,00	0,00	0,00	Tap:	0,00	Min: -6 Max: 6
Констрак Таг РН 110кВ											
2 СМ	110,00	1,03	113,18	-3,16				Pv:	16,38 kW	cLod:	0,15 Mvar L: 4,30 km
Cubicle/Coupl	CBS			-22,35	-8,27	-0,94	0,12	0,00	Tap:		
Cub_1 /Line	Д19			12,90	5,37	0,92	0,07	18,35	Pv:	0,00	Min: -9 Max: 9
Cub_1 /Tr2	T1			9,45	2,50	0,96	0,05	63,63	Tap:		
1 СМ	110,00	1,03	113,18	-3,16				Pv:	253,86 kW	cLod:	0,46 Mvar L: 13,20 km
Cubicle/Coupl	CBS			22,35	8,27	0,94	0,12	0,00	Tap:		
Cub_1 /Line	Д18			-28,74	-10,47	-0,94	0,16	41,24	Pv:	1,00	Min: -9 Max: 9
Cub_1 /Tr2	T2			7,39	2,20	0,96	0,04	50,43	Tap:		
Констрак Таг РН 6кВ											
2 СМ	6,00	1,04	6,25	-6,97				Pv:	9,40 MW	Q10:	4,80 Mvar
Cub_1 /Load	Нас Констрак Таг T1			9,40	4,80	0,89	0,98		Tap:		
Cub_1 /Shunt	ЕК1 Конст			0,00	-2,68	0,00	0,25				
Cubicle/Coupl	CBS										
Cub_1 /Tr2	T1			-9,40	-2,12	-0,98	0,89	63,63	Tap:	0,00	Min: -9 Max: 9
1 СМ	6,00	1,03	6,17	-6,23				Pv:	7,35 MW	Q10:	4,29 Mvar
Cub_1 /Load	Нас Констрак Таг T2			7,35	4,29	0,86	0,80		Tap:		
Cub_1 /Shunt	ЕК2 Конст			0,00	-2,61	0,00	0,24				
Cubicle/Coupl	CBS										
Cub_1 /Tr2	T2			-7,35	-1,68	-0,97	0,71	50,43	Tap:	1,00	Min: -9 Max: 9
Н.Дзверінська РН 35кВ											
2 СМ	35,00	1,03	35,91	-7,45				Pv:	149,15 kW	cLod:	0,00 Mvar L: 8,82 km
Cubicle/Coupl	CBS			3,82	1,21	0,95	0,06	0,00	Tap:		
Cub_1 /Line	Д2			-8,05	-2,53	-0,95	0,14	41,13	Pv:		
Cub_1 /Tr2	T2 (Н.Дз)			4,23	1,33	0,95	0,07	47,50	Tap:	-2,00	Min: -2 Max: 2
1 СМ	35,00	1,03	35,91	-7,45				Pv:	0,00 kW	cLod:	0,00 Mvar L: 2,90 km
Cubicle/Coupl	CBS			-3,82	-1,21	-0,95	0,06	0,00	Tap:		
Cub_1 /Line	Д3			-0,00	-0,00	-1,00	0,00	0,00			
Cub_1 /Tr2	T1 (Н.Дз)			3,82	1,21	0,95	0,06	28,67	Tap:	-2,00	Min: -2 Max: 2
Н.Дзверінська РН 6кВ											
2 СМ	6,00	1,02	6,11	-9,30				Pv:	4,20 MW	Q10:	1,80 Mvar
Cub_1 /Load	Н.Дз T2			4,20	1,80	0,92	0,43		Tap:		
Cub_1 /Shunt	ЕК2 Н.Дз			0,00	-0,70	0,00	0,07				
Cubicle/Coupl	CBS										
Cub_1 /Tr2	T2 (Н.Дз)			-4,20	-1,10	-0,97	0,41	47,50	Tap:	-2,00	Min: -2 Max: 2
1 СМ	6,00	1,00	5,98	-8,67				Pv:	3,80 MW	Q10:	1,70 Mvar
Cub_1 /Load	Н.Дз T1			3,80	1,70	0,91	0,40		Tap:		
Cub_1 /Shunt	ЕК1 Н.Дз			0,00	-0,67	0,00	0,06				
Cubicle/Coupl	CBS										
Cub_1 /Tr2	T1 (Н.Дз)			-3,80	-1,03	-0,97	0,38	28,67	Tap:	-2,00	Min: -2 Max: 2

Продовження табл. 3.11 – Вплив КП на режимні параметри

Таблиця 3.12 – Розрахунок густини струму при КП

Назва ділянки	Розрахунковий струм кА	Стандартний перетин мм ²	Кількість кіл ЛЕП -	Розрахункова щільність А/мм ²	Рекомендована щільність А/мм ²
110 кВ					
ПС Центральна – Щербинівка	0,136	185	1	0,75	0,8
ПС Центральна – Скотовата-Т1	0,032	120	1	0,28	0,8
ПС Центральна – Скотовата-Т2	0,031	120	1	0,27	0,8
ПС Центральна – Шахтна-Т1	0,076	120	1	0,72	0,8
ПС Центральна – Шахтна-Т2	0,049	120	1	0,43	0,8
ПС Центральна – Диліївка Тяг-Т2	0,208	150	1	1,35	0,8
	0,208	95	1	2,14	1,9
	0,048	120	1	0,5	0,8
ПС Центральна – Диліївка Тяг-Т1	0,162	150	1	1,39	0,8
	0,035	120	1	0,31	0,8
Відг.1 – Костянтинівка Тяг Т2	0,160	120	1	1,23	0,8
Костянтинівка Тяг Т1 – відг.2 (М)	0,071	120	1	0,47	0,8
	0,072	95	1	0,59	1,9
Відг.2 – Будівельник Т2	0,050	120	1	0,48	0,8
Відг.2 – Костянтинівка 110 (М)	0,022	95	1	0,47	1,9
Диліївка Тяг-Т1 – відг. 3 (М)	0,126	95	1	1,82	0,8
Відг. 3 – Костянтинівка 110	0,090	150	1	0,91	0,8
Відг. 3 – Будівельник Т2	0,040	120	1	0,34	0,8
35 кВ					
ПС Щербинівка – Н.Дзержика-Т2	0,136	95	1	1,43	0,8
ПС Центральна – Зрошення	0,058	150	1	0,39	0,8
Зрошення – КлебанБик-Т2	0,044	150	1	0,29	0,8
КлебанБик-Т1 – Н.Дзержика-Т1	0	150	1	0	0,8

Пристрої генерації реактивної потужності зменшили реактивні навантаження, але не дозволили забезпечити допустиму густину струму на шести ділянках.

Оцінюється зменшення втрат потужності:

$$\delta\Delta P_{total} = \frac{\Delta P_{total_КП} - \Delta P_{total}}{\Delta P_{total}} \cdot 100 = \frac{2,49 - 2,76}{2,76} \cdot 100 = -9,78\%$$

$$\delta\Delta Q_{total} = \frac{\Delta P_{total_КП} - \Delta P_{total}}{\Delta P_{total}} \cdot 100 = \frac{21,86 - 24,85}{24,85} \cdot 100 = -12,03\%$$

Як бачимо, втрати активної потужності зменшилися на 9,78 %, а реактивної потужності – на 12,03 %.

Таким чином, установка додаткових джерел реактивної потужності є одним із засобів енергозбереження. Їх установка, як бачимо з рис. 2.19, необхідно для забезпечення допустимих режимів синхронних генераторів електростанцій.

3.4 Розрахунок струмів КЗ

Звичайно ж перехідні процеси залежать від особливості технологічних процесів споживачів, наявності двигунів, дугових печей, пристройів випрямлення струму.

Розроблена у роботі модель дозволяє визначити струми КЗ в умовах нехтування багатьма факторами, але похибка розрахунків буде в допустимих межах відхилення $\pm 10\%$.

Результати розрахунку трифазного КЗ – табл. 3.13.

Таблиця 3.13 – Для трифазного КЗ

Fault Locations with Feeders Short-Circuit Calculation / Method : VDE 0102							3-Phase Short-Circuit / Max. Short-Circuit Currents				
	rtd.V. [kV]	Voltage [kV]	c- Factor	Sk" [MVA/MVA]	Ik" [kA/kA]	ip [deg]	Ip [kA/kA]	Is [kA]	Sb [MVA]	Ik [kA]	Ith [kA]
Будівельник РП 110кВ											
2 СІІ	110,00	0,00	0,00	1,10	1456,34	MVA	7,85	kA	-70,79	15,22	kA
Д21	5				1456,34	MVA	7,85	kA	105,21	15,22	kA
T2 (Буд)	Махтна РП				0,00	MVA	0,00	kA	0,00	0,00	kA
1 СІІ	110,00	0,00	0,00	1,10	1139,88	MVA	5,99	kA	-65,08	11,32	kA
М16	4				1139,88	MVA	5,99	kA	110,92	11,32	kA
T1 (Буд)	Махтна РП				0,00	MVA	0,00	kA	0,00	0,00	kA
Дрілівка Таг РП 110кВ											
2 СІІ	110,00	0,00	0,00	1,10	1524,18	MVA	8,00	kA	-70,33	15,37	kA
Д14	3				1524,18	MVA	8,00	kA	105,67	15,37	kA
T2 (Дил)	Дрілівка I				0,00	MVA	0,00	kA	0,00	0,00	kA
1 СІІ	110,00	0,00	0,00	1,10	1308,59	MVA	6,87	kA	-71,69	13,57	kA
М11	1				1308,59	MVA	6,87	kA	108,31	13,57	kA
T1 (Дил)	Дрілівка I				0,00	MVA	0,00	kA	0,00	0,00	kA
Дрілівка Таг РП 6кВ											
2 СІІ	6,00	0,00	0,00	1,10	128,28	MVA	12,34	kA	-85,56	31,36	kA
T2 (Дил)	Дрілівка I				128,28	MVA	12,34	kA	94,44	31,36	kA
1 СІІ	6,00	0,00	0,00	1,10	119,21	MVA	11,47	kA	-85,55	29,17	kA
T1 (Дил)	Дрілівка I				119,21	MVA	11,47	kA	94,45	29,17	kA
Броварська РП НК											
РП 6кВ	6,00	0,00	0,00	1,10	29,75	MVA	2,85	kA	-80,02	6,47	kA
T1 (Бров)	Броварський				29,75	MVA	2,85	kA	95,98	6,47	kA
СІІ	35,00	0,00	0,00	1,10	148,15	MVA	2,44	kA	-74,16	4,98	kA
М4	Клейбак Бик				0,00	MVA	0,00	kA	0,00	0,00	kA
М5	Центральна				148,15	MVA	2,44	kA	105,94	4,98	kA
T1 (Бров)	Броварський Р				0,00	MVA	0,00	kA	0,00	0,00	kA
Клейбак Бик РП 35кВ											
1 СІІ	35,00	0,00	0,00	1,10	142,30	MVA	2,35	kA	-73,76	4,75	kA
CBS	2 СІІ				142,30	MVA	2,35	kA	106,24	4,75	kA
М3	Е.Дверижник				0,00	MVA	0,00	kA	0,00	0,00	kA
T1 (КнБ)	Клейбак Бик				0,00	MVA	0,00	kA	0,00	0,00	kA
2 СІІ	35,00	0,00	0,00	1,10	142,30	MVA	2,35	kA	-73,76	4,75	kA
CBS	1 СІІ				0,00	MVA	2,35	kA	106,24	4,75	kA
М4	Броварський				142,30	MVA	0,00	kA	0,00	0,00	kA
T2 (КнБ)	Клейбак Бик				0,00	MVA	0,00	kA	0,00	0,00	kA
Клейбак Бик РП 6кВ											
1 СІІ	6,00	0,00	0,00	1,10	51,02	MVA	4,91	kA	-80,19	11,13	kA
CBS	2 СІІ				0,00	MVA	4,91	kA	95,91	11,13	kA
T1 (КнБ)	Клейбак Бик				51,02	MVA	4,91	kA	95,91	11,13	kA
2 СІІ	6,00	0,00	0,00	1,10	51,02	MVA	4,91	kA	-80,19	11,13	kA
CBS	1 СІІ				51,02	MVA	4,91	kA	95,91	11,13	kA
T2 (КнБ)	Клейбак Бик				0,00	MVA	0,00	kA	0,00	0,00	kA
Констак Таг РП 110кВ											
2 СІІ	110,00	0,00	0,00	1,10	1567,96	MVA	8,23	kA	-70,49	15,83	kA
CBS	1 СІІ				957,92	MVA	5,03	kA	110,91	9,67	kA
М19	6				610,77	MVA	3,21	kA	107,33	6,17	kA
T1(2)	Констак Тя				0,00	MVA	0,00	kA	0,00	0,00	kA
1 СІІ	110,00	0,00	0,00	1,10	1567,96	MVA	8,23	kA	-70,49	15,83	kA
CBS	2 СІІ				610,77	MVA	3,21	kA	107,33	6,17	kA
М18	3				957,92	MVA	5,03	kA	110,91	9,67	kA
T2	Констак Тя				0,00	MVA	0,00	kA	0,00	0,00	kA
Констак Таг РП 6кВ											
2 СІІ	6,00	0,00	0,00	1,10	128,60	MVA	12,37	kA	-85,61	31,49	kA
T1(2)	Констак Тя				128,60	MVA	12,37	kA	94,39	31,49	kA
1 СІІ	6,00	0,00	0,00	1,10	128,60	MVA	12,37	kA	-85,61	31,49	kA
T2	Констак Тя				128,60	MVA	12,37	kA	94,39	31,49	kA
Н.Дверижник РП 35кВ											
2 СІІ	35,00	0,00	0,00	1,10	149,19	MVA	2,46	kA	-70,08	4,71	kA
CBS	1 СІІ				0,00	MVA	0,00	kA	0,00	0,00	kA
М2	Пербиківка				149,19	MVA	2,46	kA	105,92	4,71	kA
T2 (Н.Дв)	Н.Дверижник				0,00	MVA	0,00	kA	0,00	0,00	kA
1 СІІ	35,00	0,00	0,00	1,10	149,19	MVA	2,46	kA	-70,08	4,71	kA
CBS	2 СІІ				149,19	MVA	2,46	kA	105,92	4,71	kA
М3	Клейбак Бик				0,00	MVA	0,00	kA	0,00	0,00	kA
T1 (Н.Дв)	Н.Дверижник				0,00	MVA	0,00	kA	0,00	0,00	kA
Н.Дверижник РП 6кВ											
2 СІІ	6,00	0,00	0,00	1,10	74,01	MVA	7,12	kA	-78,33	15,60	kA
T2 (Н.Дв)	Н.Дверижник				74,01	MVA	7,12	kA	101,67	15,60	kA
1 СІІ	6,00	0,00	0,00	1,10	89,25	MVA	8,59	kA	-77,32	18,47	kA
T1 (Н.Дв)	Н.Дверижник				89,25	MVA	8,59	kA	102,68	18,47	kA
Скотова РП 110кВ											
2 СІІ	110,00	0,00	0,00	1,10	1004,32	MVA	5,27	kA	-66,15	9,57	kA
М7	Центральна				1004,32	MVA	5,27	kA	113,95	9,57	kA
T2 (Скот)	Скотова РП				0,00	MVA	0,00	kA	0,00	0,00	kA
1 СІІ	110,00	0,00	0,00	1,10	1004,32	MVA	5,27	kA	-66,15	9,57	kA
М6	Центральна				1004,32	MVA	5,27	kA	113,95	9,57	kA
T1 (Скот)	Скотова РП				0,00	MVA	0,00	kA	0,00	0,00	kA
Скотова РП 6кВ											
2 СІІ	6,00	0,00	0,00	1,10	80,69	MVA	7,76	kA	-64,93	19,45	kA
T2 (Скот)	Скотова РП				80,69	MVA	7,76	kA	95,07	19,45	kA
1 СІІ	6,00	0,00	0,00	1,10	122,91	MVA	11,83	kA	-64,32	29,24	kA
T1 (Скот)	Скотова РП				122,91	MVA	11,83	kA	95,68	29,24	kA
Центральна (шахта 110кВ)											
2 СІІ	110,00	0,00	0,00	1,10	2457,64	MVA	13,11	kA	-84,92	33,65	kA
М1	Пербиківка				0,00	MVA	0,00	kA	0,00	0,00	kA
М10	1				404,93	MVA	2,13	kA	113,60	5,46	kA
М9	Махтна РП				0,00	MVA	0,00	kA	0,00	0,00	kA
AT 1	Центральна	Центральна			2117,32	MVA	11,11	kA	91,72	28,53	kA
1 СІІ	110,00	0,00	0,00	1,10	4102,88	MVA	21,53	kA	-86,91	56,90	kA
М12	2				319,09	MVA	1,67	kA	111,76	4,43	kA
М7	Скотова РП				0,00	MVA	0,00	kA	0,00	0,00	kA
М8	Скотова РП				0,00	MVA	0,00	kA	0,00	0,00	kA
М9	Махтна РП				0,00	MVA	0,00	kA	0,00	0,00	kA
AT 2	Центральна	Центральна			2016,81	MVA	10,59	kA	91,46	27,97	kA
AT 3	Центральна	Центральна			1784,98	MVA	9,37	kA	91,88	24,75	kA

Продовження табл. 3.13 – Для трифазного КЗ

Центральна (шини 35кВ)												
2СШ	35,00	0,00	0,00	1,10	610,01	MVA	10,06	kA	-88,33	27,32	kA	10,06
AT 1	Центральна	283,41	MVA	4,68	kA	91,94	12,69	kA				
AT 2	Центральна	326,61	MVA	5,39	kA	91,43	14,63	kA				
1СШ	35,00	0,00	0,00	1,10	341,51	MVA	5,63	kA	-88,00	15,19	kA	5,63
М5	Электрическая	0,00	MVA	0,00	kA	0,00	0,00	kA				
AT 3	Центральна	341,51	MVA	5,63	kA	92,00	15,19	kA				
Шахтна РЛ 110кВ												
2 СИ	110,00	0,00	0,00	1,10	1266,45	MVA	6,65	kA	-72,16	13,28	kA	6,65
Р9	Центральная	1266,45	MVA	6,65	kA	107,94	13,28	kA				
T2 (Шахт.)	Шахтна РЛ	0,00	MVA	0,00	kA	0,00	0,00	kA				
1 СИ	110,00	0,00	0,00	1,10	1574,03	MVA	8,26	kA	-69,80	15,78	kA	8,26
М8	Центральная	1574,03	MVA	8,26	kA	110,30	15,78	kA				
T1 (Шахт.)	Шахтна РЛ	0,00	MVA	0,00	kA	0,00	0,00	kA				
Шахтна РЛ 6кВ (3)												
2 СИ	6,00	0,00	0,00	1,10	128,04	MVA	12,32	kA	-85,58	31,32	kA	12,32
T2 (Буд.)	Будівельний	128,04	MVA	12,32	kA	94,42	31,32	kA				
1 СИ	6,00	0,00	0,00	1,10	124,59	MVA	11,99	kA	-84,96	30,06	kA	11,99
T1 (Буд.)	Будівельний	124,59	MVA	11,99	kA	95,04	30,06	kA				
Шахтна РЛ 6кВ												
2 СИ	6,00	0,00	0,00	1,10	328,04	MVA	31,57	kA	-84,02	77,75	kA	31,57
T2 (Шахт.)	Шахтна РЛ	328,04	MVA	31,57	kA	95,98	77,75	kA				
1 СИ	6,00	0,00	0,00	1,10	344,25	MVA	33,13	kA	-84,14	81,59	kA	33,13
T1 (Шахт.)	Шахтна РЛ	344,25	MVA	33,13	kA	95,98	81,59	kA				
Шербиновка РП 6												
2СИ	6,00	0,00	0,00	1,10	194,19	MVA	18,69	kA	-86,93	49,11	kA	18,69
T2 (III)	Шербиновка	194,19	MVA	18,69	kA	93,07	49,11	kA				
Шербиновка РПЗ6												
2СИ	35,00	0,00	0,00	1,10	281,10	MVA	4,64	kA	-85,47	11,80	kA	4,64
М2	Н.Дзержинск	0,00	MVA	0,00	kA	0,00	0,00	kA				
T2 (III)	Шербиновка	281,10	MVA	4,64	kA	94,53	11,80	kA				
Шербиновка												
2СИ	110,00	0,00	0,00	1,10	1525,89	MVA	8,01	kA	-78,42	17,86	kA	8,01
М1	Центральная	1525,89	MVA	8,01	kA	101,58	17,86	kA				
T2 (III)	Шербиновка	0,00	MVA	0,00	kA	0,00	0,00	kA				
110 кВ	110,00	0,00	0,00	1,10	1496,34	MVA	7,85	kA	-71,31	15,35	kA	7,85
М17	4				775,31	MVA	4,07	kA	105,46	7,96	kA	
М22	5				723,59	MVA	3,80	kA	112,16	7,43	kA	
Костянтинівка-1	СН	ХХ			0,00	MVA	0,00	kA	0,00	0,00	kA	
СК	35,00	0,00	0,00	1,10	281,22	MVA	4,64	kA	-83,99	11,39	kA	4,64
Костянтинівка-1	110 кВ	ХХ			281,22	MVA	4,64	kA	96,01	11,39	kA	
ЕНК	6,00	0,00	0,00	1,10	194,35	MVA	18,70	kA	-85,90	47,92	kA	18,70
Костянтинівка-1	110 кВ	СН			194,35	MVA	18,70	kA	94,10	47,92	kA	18,70

Отримані дані використані для ПС Зрошення – рис.3.38.

ПС Зрошення-35 отримує живлення від ПС Центральна-330, 1 секція шин 35 кВ. У випадку аварії на підстанції і необхідності відключення силового трансформатора, короткозамикач буде створювати штучне КЗ, а вимикач на приєднанні ЛЕП під дією релейного захисту, який відреагував на пошкодження, відключиться. Відокремлювач ПС Зрошення-35 в цей період повинен відключити трансформатор. Але в зимовий період його ножі дуже часто примерзають, тому ЛЕП залишається відключеною. Живлення втрачають також споживачі інших підстанцій, в даному випадку ПС Клебан Бик-35. Як наслідок, виникають збитки від перерви електропостачання.

Один зі способів підвищити надійність – це виконати заміну комутаційного обладнання на стороні високої напруги – встановити вимикачі, вакуумні, як зазначалося в розділі 2 дипломної роботи.

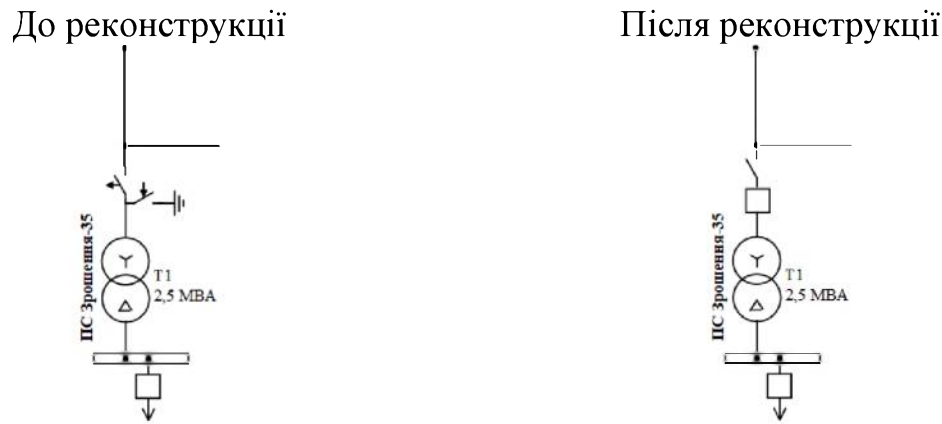


Рисунок 3.38 – Для ПС Зрошення

Таблиця 3.14 – Умови для вимикачів

Умова	Пояснення
Умови вибору	
$U_{ycm} \leq U_{nom}$	U_{ycm} - номінальна напруга устаткування U_{nom} - номінальна напруга вимикача
$I_{нб.розв} \leq I_{nom}$	$I_{нб.розв}$ - найбільший розрахунковий струм у колі вимикача I_{nom} - номінальний струм вимикача
$I_{nI} \leq I_{ном.вим}$	I_{nI} - періодична складова струму короткого замикання, який протікає через вимикач $I_{ном.вим}$ - номінальний струм вимикання
Умови перевірки	
$i_{aI} \leq i_{a,nom} = \frac{\sqrt{2} \cdot \beta_n \cdot I_{ном.вим}}{100}$	i_{aI} - аперіодична складова струму короткого замикання на момент t t - час від моменту виникнення короткого замикання до моменту розходження контактів вимикача $i_{a,nom}$ - номінальне значення аперіодичної складової струму короткого замикання вимикача β_n - нормоване значення вмісту аперіодичної складової у струмі короткого замикання

Умова	Пояснення
$I_{n_f} \leq I_{\text{ном.вимик}}$ $i_{\text{yo}} \leq i_{\text{емак}} = k_{\text{yo}} \cdot \sqrt{2} \cdot I_{\text{ном.вимик}}$	$I_{\text{ном.вимик}}$ - номінальний струм вимикання $i_{\text{емак}}$ - найбільше значення струму вимикання
$I_{n_f} \leq I_{\text{дин}}$ $i_{\text{yo}} \leq i_{\text{дин}}$	I_{n_f}, i_{yo} - розрахункові значення періодичної складової струму короткого замикання та його ударного струму в електричному колі, де обирається вимикач $I_{\text{дин}}$ - діюче значення періодичної складової граничного наскрізного струму короткого замикання $i_{\text{дин}}$ - найбільший пік струму електродинамічної стійкості
$B_k \leq I_T^2 \cdot t_T$	B_k - розрахунковий імпульс квадратичного струму I_T, t_T - струм термічної стійкості вимикача та час його протікання

Таким чином розрахунки мають наступний вигляд.

$$I_{n_T} = I_{n(t=0)} = 2,435 \text{ kA}$$

$$i_{a_T} = i_{a(t=0)} \cdot e^{-\frac{T}{T_a}} = \sqrt{2} \cdot I_{n(t=0)} \cdot e^{-\frac{T}{T_a}} = \sqrt{2} \cdot 2,435 \cdot e^{-\frac{0,06}{0,02}} = 0,171 \text{ kA}$$

$$i_{\text{yo}} = \sqrt{2} \cdot I_{n(t=0)} \cdot k_{\text{yo}} = \sqrt{2} \cdot I_{n(t=0)} \cdot \left(1 + e^{-\frac{0,01}{T_a}} \right) = \sqrt{2} \cdot 2,435 \cdot \left(1 + e^{-\frac{0,01}{0,02}} \right) = 5,532 \text{ kA}$$

$$U_{\text{ycm}} \leq U_{\text{ном}}$$

$$35 \text{ kB} \leq 35 \text{ kB}$$

$$I_{\text{ніж.позр}} \leq I_{\text{ном}}$$

$$I_{\kappa\delta, \text{позр}} = \frac{1,4 \cdot S_{\text{HOM IP}}}{\sqrt{3} \cdot U_{\text{HOM}}} = \frac{1,4 \cdot 2,5}{\sqrt{3} \cdot 35} = 0,058 \text{ } \kappa A \leq 1,25 \text{ } \kappa A$$

$$I_{n.t} \leq I_{\text{HOM, вмик}}$$

$$2,435 \text{ } \kappa A \leq 25 \text{ } \kappa A$$

$$i_{a.t} \leq i_{a.\text{HOM}} = \frac{\sqrt{2} \cdot \beta_h \cdot I_{\text{HOM, вимик}}}{100}$$

$$0,171 \text{ } \kappa A \leq i_{a.\text{HOM}} = \frac{\sqrt{2} \cdot 40\% \cdot 25}{100} = 14,1 \text{ } \kappa A$$

$$I_{n.t} \leq I_{\text{HOM, вмик}}$$

$$2,435 \text{ } \kappa A \leq 25 \text{ } \kappa A$$

$$i_{y\vartheta} \leq i_{\text{вмик}} = k_{y\vartheta} \cdot \sqrt{2} \cdot I_{\text{HOM, вмик}}$$

$$5,532 \text{ } \kappa A \leq 1,8 \cdot \sqrt{2} \cdot 25 \text{ } \kappa A = 64 \text{ } \kappa A$$

$$I_{n.t} \leq I_{\partial\text{иH}}$$

$$2,435 \text{ } \kappa A \leq 25 \text{ } \kappa A$$

$$i_{y\vartheta} \leq i_{\partial\text{иH}}$$

$$5,532 \text{ } \kappa A \leq 1,8 \cdot \sqrt{2} \cdot 25 \text{ } \kappa A = 64 \text{ } \kappa A$$

$$\begin{aligned} B_{k.\text{позр}} &= I_{n.t}^2 \cdot (t_{\text{сидк}} + T_a) = \\ &= I_{\text{ПО}}^2 \cdot (t_{\text{сидк.В}} + t_{\text{п.з.}} + T_a) \end{aligned} \leq I_T^2 \cdot t_T$$

$$\begin{aligned} B_{k.\text{позр}} &= 2,435^2 \cdot (0,03 + 0,1 + 0,02) = \\ &= 0,89 \text{ } \kappa A^2 \cdot c \end{aligned} \leq 25^2 \cdot 3 = 1875 \text{ } \kappa A^2 \cdot c$$

Вимикачі виконують функції комутації струмів як нормальніх, так і аварійних режимів. Функція роз'єднувачів – це забезпечення умов для безпечноого обслуговування вимикачів. Умови їх вибору показані в табл. 3.15.

Таблиця 3.15 – Умови для роз'єднувачів

Умова	Пояснення
Умови вибору	
$U_{\text{ном}} \leq U_{\text{норм}}$	$U_{\text{норм}}$ - номінальна напруга устаткування $U_{\text{ном}}$ - номінальна напруга роз'єднувача
$I_{\text{ноб.розв}} \leq I_{\text{ном}}$	$I_{\text{ноб.розв}}$ - найбільший розрахунковий струм у колі роз'єднувача $I_{\text{ном}}$ - номінальний струм роз'єднувача
Умови перевірки	
$I_{\text{нг}} \leq I_{\text{дин}}$ $i_{\text{нг}} \leq i_{\text{дин}}$	$I_{\text{нг}}, i_{\text{нг}}$ - розрахункові значення періодичної складової струму короткого замикання та його ударного струму в електричному колі, де обирається роз'єднувач $I_{\text{дин}}$ - діюче значення періодичної складової граничного наскрізного струму короткого замикання $i_{\text{дин}}$ - найбільший пік струму електродинамічної стійкості
$B_k \leq I_T^2 \cdot t_T$	B_k - розрахунковий імпульс квадратичного струму I_T, t_T - струм термічної стійкості роз'єднувача та час його протікання

Таким чином розрахунки мають наступний вигляд:

$$U_{\text{норм}} \leq U_{\text{ном}}$$

$$35 \text{ kV} \leq 35 \text{ kV}$$

$$I_{\text{ноб.розв}} \leq I_{\text{ном}}$$

$$I_{\text{ніж.позр}} = \frac{1,4 \cdot S_{\text{HOM IP}}}{\sqrt{3} \cdot U_{\text{HOM}}} = \frac{1,4 \cdot 2,5}{\sqrt{3} \cdot 35} = 0,058 \text{ kA} \leq 1,25 \text{ kA}$$

$$I_{n,t} \leq I_{\text{ділн}}$$

$$2,435 \text{ kA} \leq 25 \text{ kA}$$

$$i_{\text{від}} \leq i_{\text{ділн}}$$

$$5,532 \text{ kA} \leq 1,8 \cdot \sqrt{2} \cdot 25 \text{ kA} = 64 \text{ kA}$$

$$\begin{aligned} B_{k,\text{позр}} &= I_{n,t}^2 \cdot (t_{\text{відн}} + T_a) = \\ &= I_{\text{ПО}}^2 \cdot (t_{\text{відн.В}} + t_{\text{п.з.}} + T_a) \end{aligned} \leq I_T^2 \cdot t_T$$

$$\begin{aligned} B_{k,\text{позр}} &= 2,435^2 \cdot (0,03 + 0,1 + 0,02) = \\ &= 0,89 \text{ kA}^2 \cdot c \end{aligned} \leq 25^2 \cdot 3 = 1875 \text{ kA}^2 \cdot c$$

Остаточна схема після всіх запропонованих заходів реконструкції має наступний вигляд (рис. 3.39):

- 1) на ПС Скотовата-110 вимикач 110 кВ в колі Т2 включається;
- 2) на ПС ДиліївкаТяг-110 вимикач 110 кВ в колі ЛЕП до 1с.ш. включається;
- 3) на ПС Зрошення виконується заміна короткозамикачів і відокремлювачів на вакуумні вимикачі;
- 4) на ПС Скотовата-110, ПС Шахтна, ПС Диліївка Тягова-110, ПС Будівельник, ПС Дзержинська установлені БК.
- 5) для автотрансформаторів ПС Центральна-330 розглянутий вплив конструкції РПН на режимні параметри.

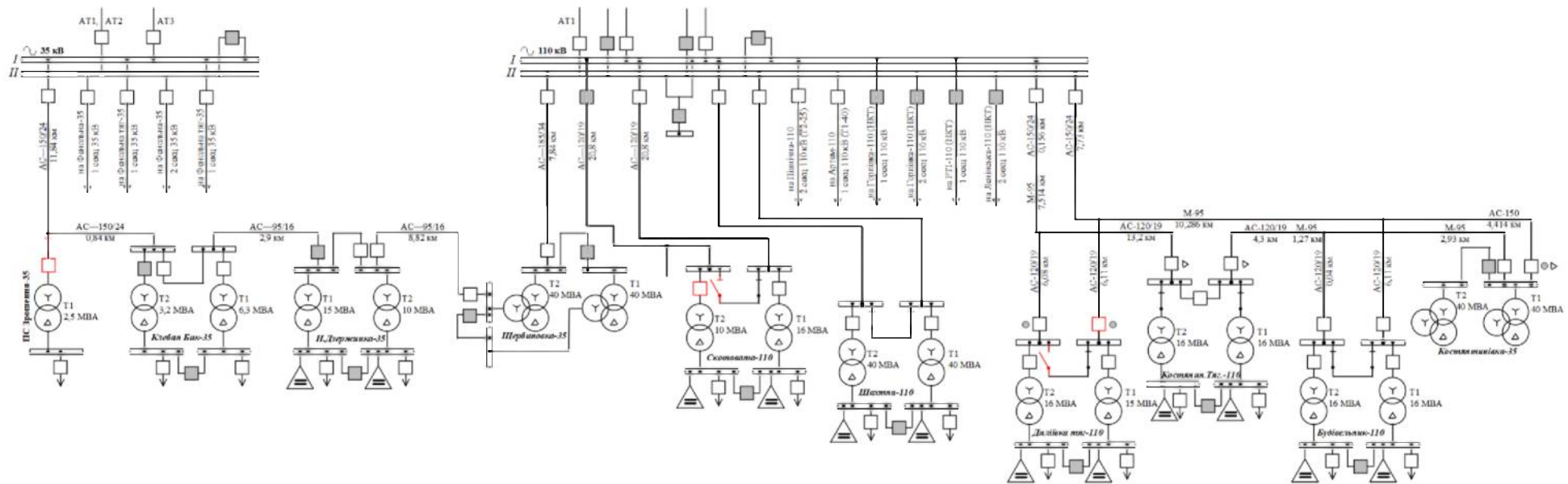


Рисунок 3.38 – Запропонована схема мереж

РОЗДІЛ 4 ОХОРОНА ПРАЦІ

Умови праці – сукупність усіх чинників, які необхідні для нормальної життєдіяльності працівників під час роботи. Вони характеризуються:

- загальними показниками: конструктивні особливості виробничого устаткування; особливості систем енергопостачання; зовнішні кліматичні умови та особливості розташування виробничого устаткування; наявність пристройів для створення мікроклімату, освітлення, опалення тощо;
- локальними показниками: рівень статичних і динамічних навантажень працівників; рівень напруженості праці; кількісні показники небезпечних і (або) шкідливих виробничих чинників (НШВЧ); санітарно гігієнічні умовами у виробничих приміщеннях та на робочих місцях тощо.

За своїм походженням та природою дії НШВЧ поділяють на п'ять груп: фізичні, хімічні, біологічні, психофізіологічні та соціальні.

До фізичних НШВЧ відносяться машини та механізми або їх елементи, а також вироби, матеріали, заготовки тощо, які рухаються або обертаються; конструкції, які руйнуються; системи, устаткування або елементи обладнання, які знаходяться під підвищеним тиском; підвищена запиленість та загазованість повітря; підвищена або понижена температура повітря, поверхонь приміщення, обладнання, матеріалів; підвищенні рівні шуму, вібрації, ультразвуку, інфразвуку; підвищений або понижений барометричний тиск та його різкі коливання; підвищена та понижена вологість; підвищена швидкість руху та підвищена іонізація повітря; підвищений рівень іонізуючих випромінювань; підвищене значення напруги в електричній мережі; підвищені рівні статичної електрики, електромагнітних випромінювань; підвищена напруженість електричного, магнітного полів; відсутність або нестача світла; недостатня освітленість робочої зони; підвищена яскравість світла; понижена контрастність; прямий та віддзеркальний блиск; підвищена пульсація світлового потоку; підвищенні

рівні ультрафіолетової та інфрачервоної радіації; гострі кромки, задирки, шершавість на поверхні заготовок, інструментів та обладнання; розташування робочого місця на значній висоті відносно землі (підлоги); слизька підлога; невагомість.

До хімічних НШВЧ відносяться хімічні речовини, які по характеру дії на організм людини поділяються на токсичні, задушливі, наркотичні, подразнюючі, сенсибілізуючі, канцерогенні, мутагенні та такі, що впливають на репродуктивну функцію. Основні способи потрапляння НШВЧ в організм – інгаляційний (органи дихання), пероральний (шлунково-кишковий тракт) і резорбційний (шкіряні покриви та слизисті оболонки).

До біологічних НШВЧ відносяться патогенні мікроорганізми (бактерії, віруси, рикетсії, спірохети, грибки, найпростіші) та продукти їхньої життєдіяльності, а також макроорганізми (тварини та рослини).

До психофізіологічних НШВЧ відносяться фізичні (статичні та динамічні) перевантаження і нервово-психічні перевантаження (розумове перенапруження, перенапруження аналізаторів, монотонність праці, емоційні перевантаження).

Соціальні НШВЧ – це неякісна організація роботи, понаднормова робота, необхідність роботи в колективі з поганими відносинами між його членами, соціальна ізольованість з відривом від сім'ї, зміна біоритмів, незадоволеність роботою, фізична та/або словесна образа та її ризик, насильство та його ризик.

На енергетичних об‘єктах фіксують усі види НШВЧ.

Основними НШВЧ під час експлуатації електроустановок є електричний струм, напруга прямого і непрямого дотику, напруга кроку, електростатичні та електромагнітні поля промислової частоти, електрична дуга, яка утворюється під час комутації енергетичного устаткування.

Робота в умовах перевищення гігієнічних нормативів (3 та 4 клас умов праці) може бути дозволена тільки при застосуванні засобів колективного та індивідуального захисту і скороченні часу дії шкідливих виробничих

факторів (захист часом). Робота в небезпечних (екстремальних) умовах праці (4 клас) не дозволяється, за винятком ліквідації аварій, проведення екстрених робіт для попередження аварійних ситуацій. Ця робота повинна виконуватись у відповідних засобах індивідуального захисту та регламентованих режимах виконання робіт.

Особливості електротравматизму

Електротравматизм порівняно з травматизмом від інших небезпечних чинників притаманні такі особливості:

По-перше, несподіваність отримання електротравми – пов‘язана з тим, що людина не має датчиків (рецепторів), за допомогою яких вона могла би дистанційно визначити наявність небезпеки (електричної напруги) на елементах обладнання (як, наприклад, інші небезпечні фактори – частини обладнання, що рухаються, нагріті деталі та інші). Не знаючи про небезпеку, людина сміливо доторкується до частини обладнання під напругою. Захисна реакція у цьому випадку виникає лише після включення людини під напругу, тобто після того, як через неї починає протікати електричний струм. Наслідки такого включення визначаються співвідношенням двох швидкостей: швидкості гальмівної дії електричного струму і швидкості захисної реакції організму. Якщо більше швидкість захисної реакції, людина самостійно відключається з ЕУ, а якщо більшою є швидкість гальмівної дії електричного струму, людина на певний час залишається включеною в електричне коло.

По-друге, можливість дистанційного отримання електротравм без безпосереднього контакту з установкою під напругою – це може бути ураження через електричну дугу, якщо людина наблизилася на критичну відстань до ЕУ напругою понад 1 кВ, або ураження напругою кроku, якщо людина знаходиться у зоні локальної землі у випадку замикання на землю в ЕУ.

Далі, можлива рефлекторність дії електричного струму – електричний струм, що протікає через тіло людини під час ураження, діє не тільки у

місцях контактів (точка входу і точка виходу), але ще спричиняє й рефлекторну дію, порушуючи роботу центрів, які координують роботу життєво важливих органів, найчастіше серцево-судинної системи та дихання.

Наступне, невідомість, прихованість більшості електротравм – розслідуванню, обліку та аналізу доступні лише електротравми з тяжкими та смертельними наслідками, а усі інші випадки включення людини в електричне коло залишаються невідомими, хоча причини цих електротравм, як правило, однакові; такий стан негативно впливає на профілактику електротравм.

Статистичні дані показують, що у загальному виробничому травматизмі електротравми становлять до 2% (в Україні до 3 %), тобто посідають останнє місце, а у травматизмі зі смертельним наслідком – висуваються на одне з перших місць, становлячи до 20 % (в Україні до 30 %). Особливо високий в Україні рівень побутового електротравматизму.

Чинники, які впливають на тяжкість ураження людини електричним струмом:

1) протікання струму через тіло людини супроводжується термічним, електролітичним та біологічними ефектами.

2) термічна дія струму полягає у нагріванні тканин і випаровуванні вологи, що викликає опіки, обвуглення тканин та їх розриви парою.

3) електролітична дія струму проявляється у розкладі органічної речовини (її електролізі), у тому числі і крові, що зумовлює зміну її фізико-хімічних і біохімічних властивостей.

4) біологічна дія струму проявляється у порушенні біологічних процесів, що протікають в організмі, і супроводжується руйнуванням і збудженням тканин та скороченням м'язів.

Усі ці чинники умовно розділені на три групи:

- фактори електричного характеру,
- фактори неелектричного характеру
- фактори довкілля.

Фактори електричного характеру. Головним небезпечним фактором у випадку електротравм вважається електричний струм, що протікає через людину. Від величини (сили) цього струму залежать наслідки ураження.

Виділяють такі порогові значення струму, тобто ті мінімальні значення, які викликають певні дії:

- пороговий відчутний струм – це мінімальне значення струму, який людина сприймає у вигляді ледь відчутних подразнень; її значення для змінного струму дорівнює 0,7…1,5 mA, для постійного – 5…7 mA;
- пороговий невідпускаючий струм – це мінімальна величина струму, яка викликає судомне скорочення м'язів, і людина не може самостійно звільнитися від струмовідніх частин; її значення для змінного струму дорівнює 10…15 mA, для постійного – 50…80 mA;
- пороговий фібриляційний струм – це мінімальна величина струму, що викликає фібриляцію серця; її значення для змінного струму дорівнює 100 mA, для постійного – 300 mA.

Залежність допустимих струмів, які можуть протікати через людину, і напруг дотику від тривалості дії наведено у табл. 4.1.

Таблиця 4.1 – Граничні значення струмів і напруг дотику від тривалості дії

Вид струму	Нормована величина	Гранично допустимі струми (mA), і напруги, В, у випадку включення в електричне коло, с											
		0,01-0,08	0,1	0,2	0,3	0,4	0,5	0,6	0,7	0,8	0,9	1	Понад 1
Змінний струм 50 Гц	I_ϕ	650	500	250	165	125	100	85	70	65	55	50	6
	U_ϕ	650	500	250	165	125	100	85	70	65	55	50	36
Постійний	I_ϕ	650	500	400	350	300	250	240	230	220	210	200	15
	U_ϕ	650	500	400	350	300	250	240	230	220	210	200	40

Допустимі значення струму у випадку тривалої дії: для змінного струму промислової частоти – 0,6 мА, для постійного – 1 мА.

Напруга на тілі людини впливає на тяжкість ураження. Допустима напруга на тілі людини у випадку тривалої дії складає для змінного струму 2 В, для постійного – 8 В.

ВИСНОВКИ

В роботі розглядалася задача дослідження експлуатаційних режимів ділянки електричної мережі 330/110/35 кВ.

Дипломна робота складається зі вступу, основної частини, яка включає чотири розділи, висновків та списку використаних джерел.

У першому розділі детально розглянуті фізичні процеси, які виникають в електричних мережах при комутаціях аварійних струмів.

Наведені умови горіння дуги в мережах постійного та змінного струму; умови стійкого та нестійкого горіння дуги змінного струму.

Визначені показники, які впливають на успішність процесу гасіння дуги. Ці показники враховуються в комутаційних апаратах, вимикачах, рубильниках, та інших, якими оснащена електрична мережа. Їх роботу більш детально розглянута в наступному розділі.

У другому розділі розглянутий принцип вибору типу комутаційних апаратів, які використовуються в електричних мережах напругою 330, 110 і 35 кВ. Приведені їх конструктивні схеми. Визначені переваги та недоліки використання. Отримані теоретичні дані використовуються в наступному розділі при реконструкції ділянки мережі.

У третьому розділі приведено моделювання і дослідження режимів ділянки електричної мережі 330/110/35 кВ.

У четвертому розділі розглянуті питання охорони праці.

СПИСОК ВИКОРИСТАНОЇ ЛІТЕРАТУРИ

1. L. van der Sluis, *Transients in Power Systems*, John Wiley & Sons, New York, 2001.
2. IEEE standard rating structure for AC high-voltage circuit breakers / IEEE Std C37.04-1999.
3. High-voltage circuit breakers rated on a symmetrical current basis-preferred ratings and related required capabilities / ANSI C37.06-2000.
4. Правила улаштування електроустановок. Міністерство енергетики та вугільної промисловості України. 2017. 617 с. <https://art-energetyka.com.ua/%D0%9F%D1%80%D0%B0%D0%B2%D0%B8%D0%BB%D0%B0-%D1%83%D0%BB%D0%B0%D1%88%D1%82%D1%83%D0%B2%D0%B0%D0%BD%D0%BD%D1%8F-%D0%B5%D0%BB%D0%B5%D0%BA%D1%82%D1%80%D0%BE%D1%83%D1%81%D1%82%D0%B0%D0%BD%D0%BE%D0%B2%D0%BA.pdf>
5. Стандарт підприємства. Технічна політика "Національна енергетична компанія "Укренерго" у сфері розвитку та експлуатації магістральних та міждержавних електричних мереж. Київ 2019. <https://ua.energy/wp-content/uploads/2019/10/Tehpolityka-redaktsiya-2019-dlya-rozmishhennya-na-sajti.pdf>
6. План розвитку системи передачі на 2019-2028 роки / Державне підприємство "Національна енергетична компанія "Укренерго" // <https://ua.energy/wp-content/uploads/2018/03/PROEKT-Planu-rozvyytku-systemy-peredachi-na-2019-2028-roky.pdf>.
7. Асоціація операторів розподільчих електричних мереж України // <http://adsoeukr.org/>
8. Еволюція інтелектуальних електричних мереж та їхні перспективи в Україні / Б.С. Стогній, О.В. Кириленко, А.В. Праховник, С.П. Денисюк // Технічна електродинаміка. – 2012. - №5. – С. 52–67.
9. Дослідження режимів роботи ділянки електричної мережі 110/35 кВ / Чижиков А.Ю, Тютюнник Н.Л., Шеїна Г.О// Тези студентської конференції форму «ТАК», м. Покровськ, 2020.
10. Дослідження пристройів регулювання напруги підстанції 330/110 кВ / Чижиков А.Ю, Шеїна Г.О// Тези студентської конференції форму «ТАК», м. Покровськ, 2020.